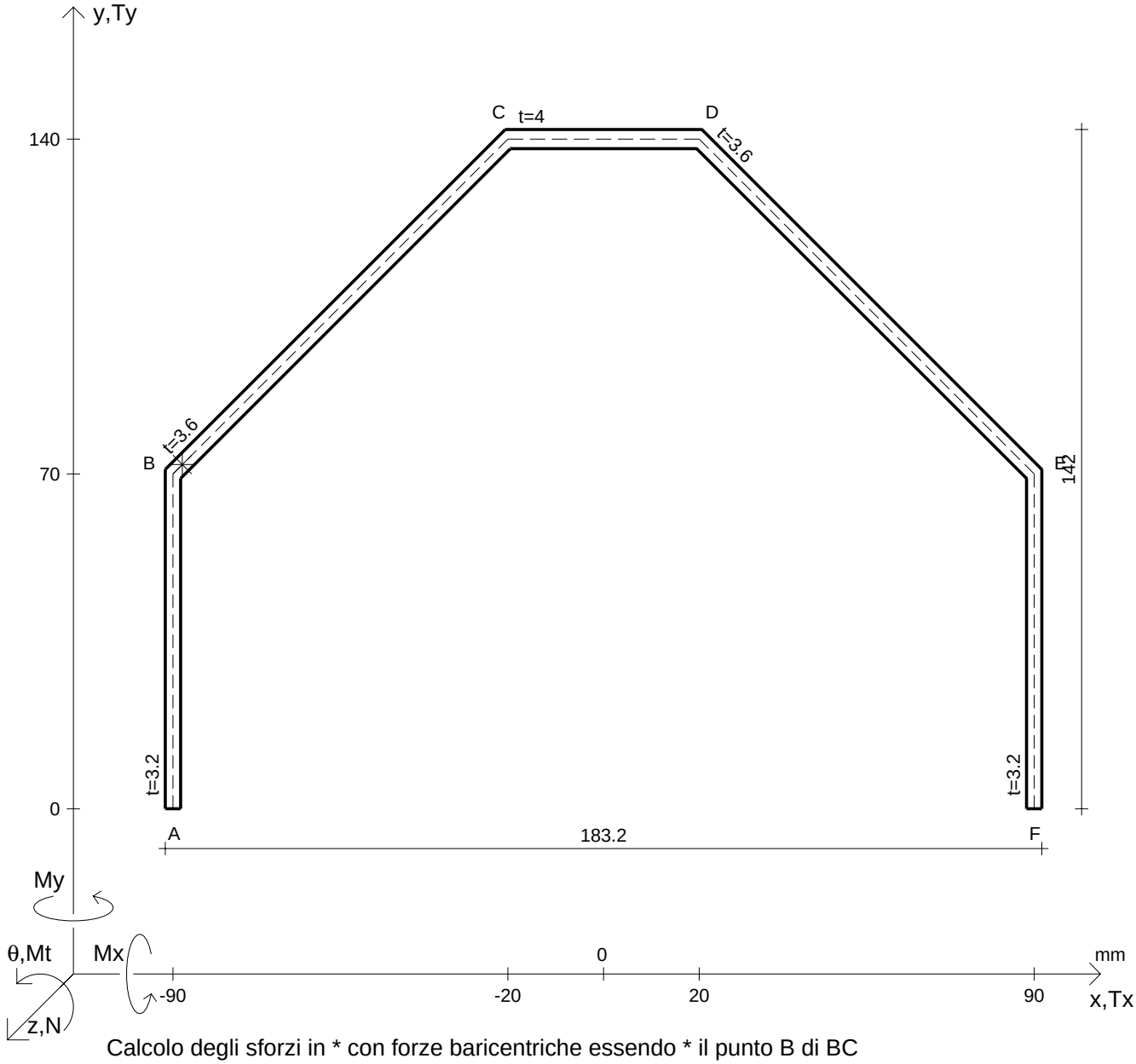


Calcolo degli sforzi in * con forze baricentriche essendo * il punto B di BC
Rappresentare sul foglio, in scala: G, assi u,v, ellisse d'inerzia, C.T.
Rappresentare i cerchi di Mohr
Operare le conclusioni sulla verifica di resistenza in *
Facoltativo: rappresentare l'asse neutro e l'andamento delle tens. normali.
Facoltativo: rappresentare l'andamento delle tens. tangenziali.

| | | | | | |
|---|---|---|---|---|---|
| N | = 65200 N | $M_x$ | = -1950000 Nmm | G | = 73000 N/mm$^2$ |
| $T_y$ | = 43700 N | $\sigma_a$ | = 220 N/mm$^2$ | | |
| $M_t$ | = 114000 Nmm | E | = 200000 N/mm$^2$ | | |
| $y_G$ | = | $\tau(M_t)_d$ | = | $\sigma_{IId}$ | = |
| $u_o$ | = | $\tau(T_{yc})$ | = | $\sigma_{tresca}$ | = |
| $v_o$ | = | $\tau(T_{yb})_d$ | = | $\sigma_{mises}$ | = |
| A | = | $\tau(T_y)_s$ | = | $\sigma_{st.ven}$ | = |
| $S_u^*$ | = | $\tau(T_y)_d$ | = | $\theta_t$ | = |
| $C_w$ | = | $\sigma$ | = | $r_u$ | = |
| $J_u$ | = | $\tau_s$ | = | $r_v$ | = |
| $J_v$ | = | $\tau_d$ | = | $r_o$ | = |
| $J_t$ | = | $\sigma_{Is}$ | = | $J_p$ | = |
| $\sigma(N)$ | = | $\sigma_{IIs}$ | = | | |
| $\sigma(M_x)$ | = | $\sigma_{Id}$ | = | | |

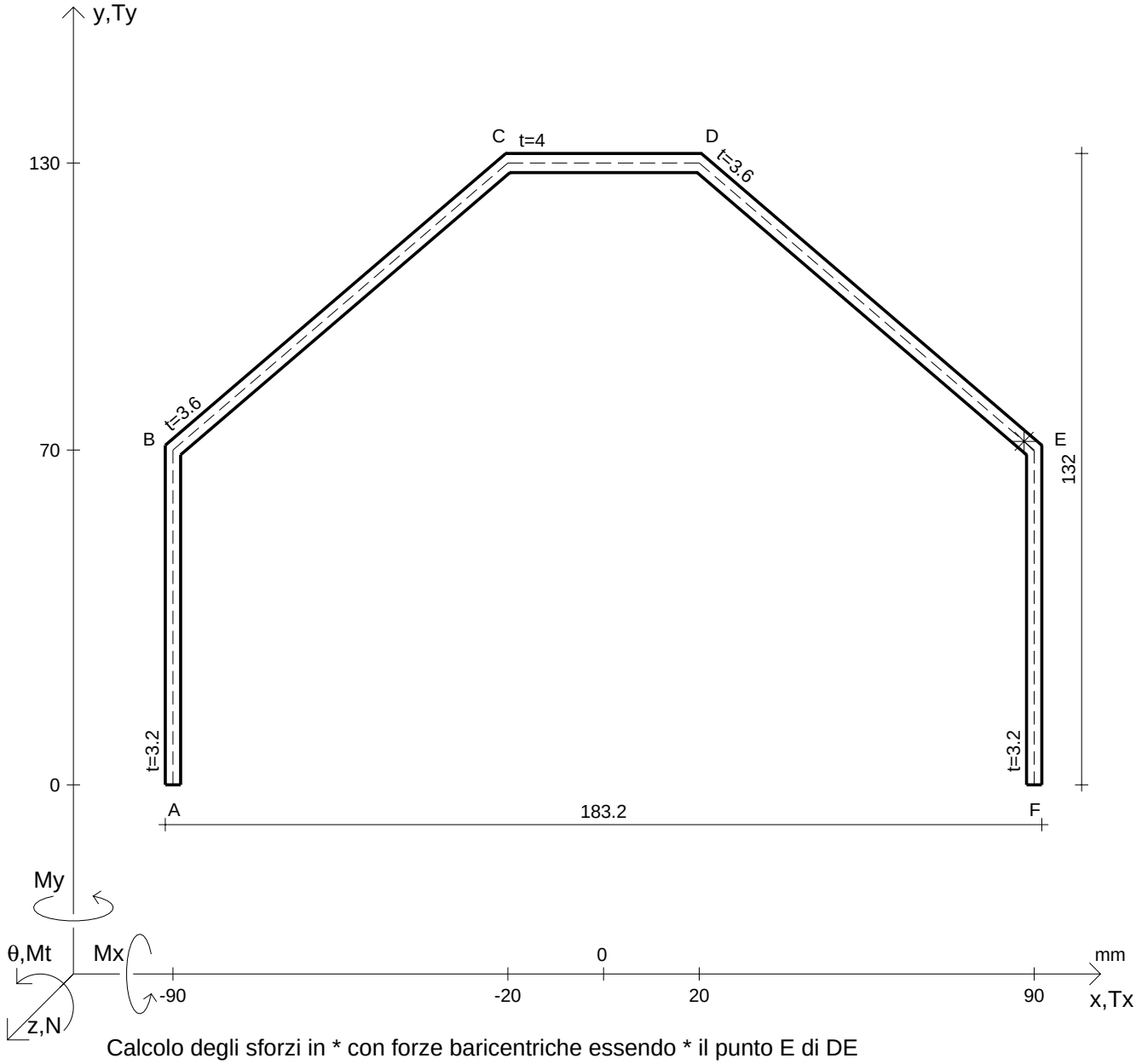


Calcolo degli sforzi in * con forze baricentriche essendo * il punto E di DE
Rappresentare sul foglio, in scala: G, assi u,v, ellisse d'inerzia, C.T.
Rappresentare i cerchi di Mohr
Operare le conclusioni sulla verifica di resistenza in *
Facoltativo: rappresentare l'asse neutro e l'andamento delle tens. normali.
Facoltativo: rappresentare l'andamento delle tens. tangenziali.

| | | | | | |
|---|---|---|---|---|---|
| N | = 69700 N | $M_x$ | = -1910000 Nmm | G | = 73000 N/mm$^2$ |
| $T_y$ | = 43800 N | $\sigma_a$ | = 220 N/mm$^2$ | | |
| $M_t$ | = 81600 Nmm | E | = 200000 N/mm$^2$ | | |
| $y_G$ | = | $\tau(M_t)_d$ | = | $\sigma_{IId}$ | = |
| $u_o$ | = | $\tau(T_{yc})$ | = | $\sigma_{tresca}$ | = |
| $v_o$ | = | $\tau(T_{yb})_d$ | = | $\sigma_{mises}$ | = |
| A | = | $\tau(T_y)_s$ | = | $\sigma_{st.ven}$ | = |
| $S_u^*$ | = | $\tau(T_y)_d$ | = | $\theta_t$ | = |
| $C_w$ | = | $\sigma$ | = | $r_u$ | = |
| $J_u$ | = | $\tau_s$ | = | $r_v$ | = |
| $J_v$ | = | $\tau_d$ | = | $r_o$ | = |
| $J_t$ | = | $\sigma_{Is}$ | = | $J_p$ | = |
| $\sigma(N)$ | = | $\sigma_{IIs}$ | = | | |
| $\sigma(M_x)$ | = | $\sigma_{Id}$ | = | | |

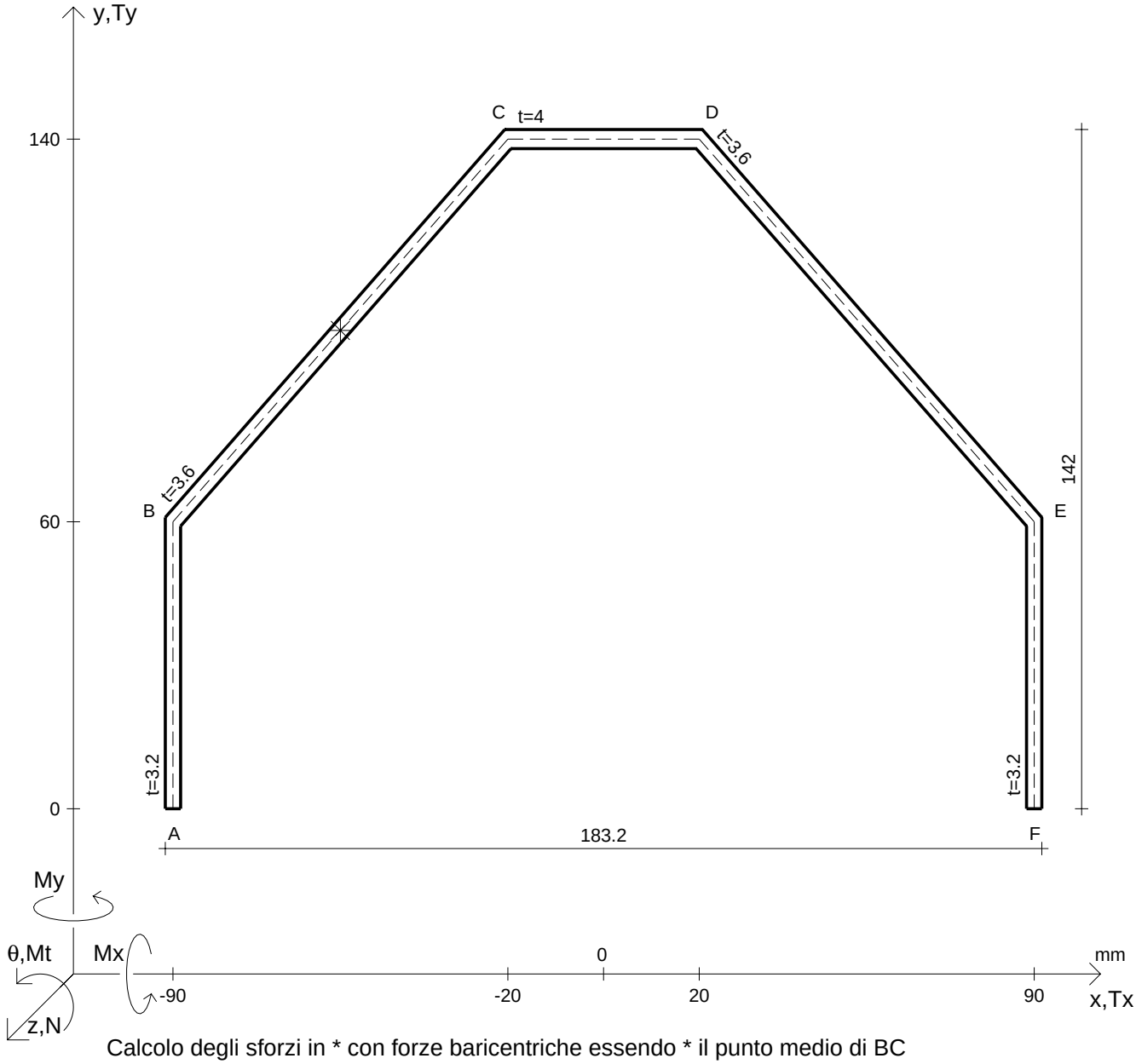


Calcolo degli sforzi in * con forze baricentriche essendo * il punto medio di BC
Rappresentare sul foglio, in scala: G, assi u,v, ellisse d'inerzia, C.T.
Rappresentare i cerchi di Mohr
Operare le conclusioni sulla verifica di resistenza in *
Facoltativo: rappresentare l'asse neutro e l'andamento delle tens. normali.
Facoltativo: rappresentare l'andamento delle tens. tangenziali.

| | | | | | |
|---|---|---|---|---|---|
| $N$ | = 75700 N | $M_x$ | = 2340000 Nmm | $G$ | = 73000 N/mm$^2$ |
| $T_y$ | = 36800 N | $\sigma_a$ | = 220 N/mm$^2$ | | |
| $M_t$ | = 91400 Nmm | $E$ | = 200000 N/mm$^2$ | | |
| $y_G$ | = | $\tau(M_t)_d$ | = | $\sigma_{IId}$ | = |
| $u_o$ | = | $\tau(T_{yc})$ | = | $\sigma_{tresca}$ | = |
| $v_o$ | = | $\tau(T_{yb})_d$ | = | $\sigma_{mises}$ | = |
| $A$ | = | $\tau(T_y)_s$ | = | $\sigma_{st.ven}$ | = |
| $S_u^*$ | = | $\tau(T_y)_d$ | = | $\theta_t$ | = |
| $C_w$ | = | $\sigma$ | = | $r_u$ | = |
| $J_u$ | = | $\tau_s$ | = | $r_v$ | = |
| $J_v$ | = | $\tau_d$ | = | $r_o$ | = |
| $J_t$ | = | $\sigma_{Is}$ | = | $J_p$ | = |
| $\sigma(N)$ | = | $\sigma_{IIs}$ | = | | |
| $\sigma(M_x)$ | = | $\sigma_{Id}$ | = | | |

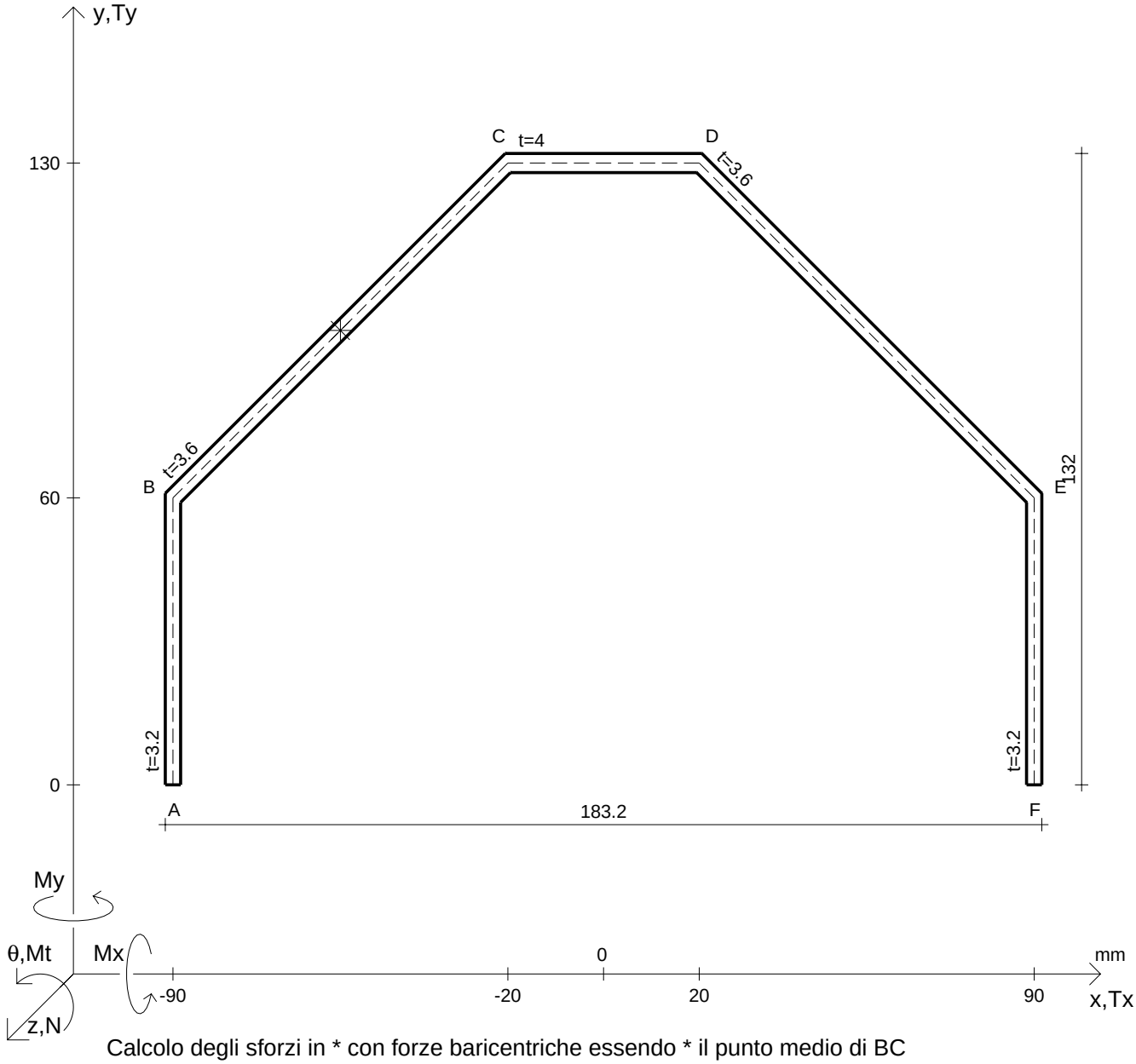


Calcolo degli sforzi in * con forze baricentriche essendo * il punto medio di BC
Rappresentare sul foglio, in scala: G, assi u,v, ellisse d'inerzia, C.T.
Rappresentare i cerchi di Mohr
Operare le conclusioni sulla verifica di resistenza in *
Facoltativo: rappresentare l'asse neutro e l'andamento delle tens. normali.
Facoltativo: rappresentare l'andamento delle tens. tangenziali.

| | | | | | |
|---|---|---|---|---|---|
| $N$ | = 54500 N | $M_x$ | = 2270000 Nmm | $G$ | = 73000 N/mm$^2$ |
| $T_y$ | = 37700 N | $\sigma_a$ | = 220 N/mm$^2$ | | |
| $M_t$ | = 98400 Nmm | $E$ | = 200000 N/mm$^2$ | | |
| $y_G$ | = | $\tau(M_t)_d$ | = | $\sigma_{IId}$ | = |
| $u_o$ | = | $\tau(T_{yc})$ | = | $\sigma_{tresca}$ | = |
| $v_o$ | = | $\tau(T_{yb})_d$ | = | $\sigma_{mises}$ | = |
| $A$ | = | $\tau(T_y)_s$ | = | $\sigma_{st.ven}$ | = |
| $S_u^*$ | = | $\tau(T_y)_d$ | = | $\theta_t$ | = |
| $C_w$ | = | $\sigma$ | = | $r_u$ | = |
| $J_u$ | = | $\tau_s$ | = | $r_v$ | = |
| $J_v$ | = | $\tau_d$ | = | $r_o$ | = |
| $J_t$ | = | $\sigma_{Is}$ | = | $J_p$ | = |
| $\sigma(N)$ | = | $\sigma_{IIs}$ | = | | |
| $\sigma(M_x)$ | = | $\sigma_{Id}$ | = | | |

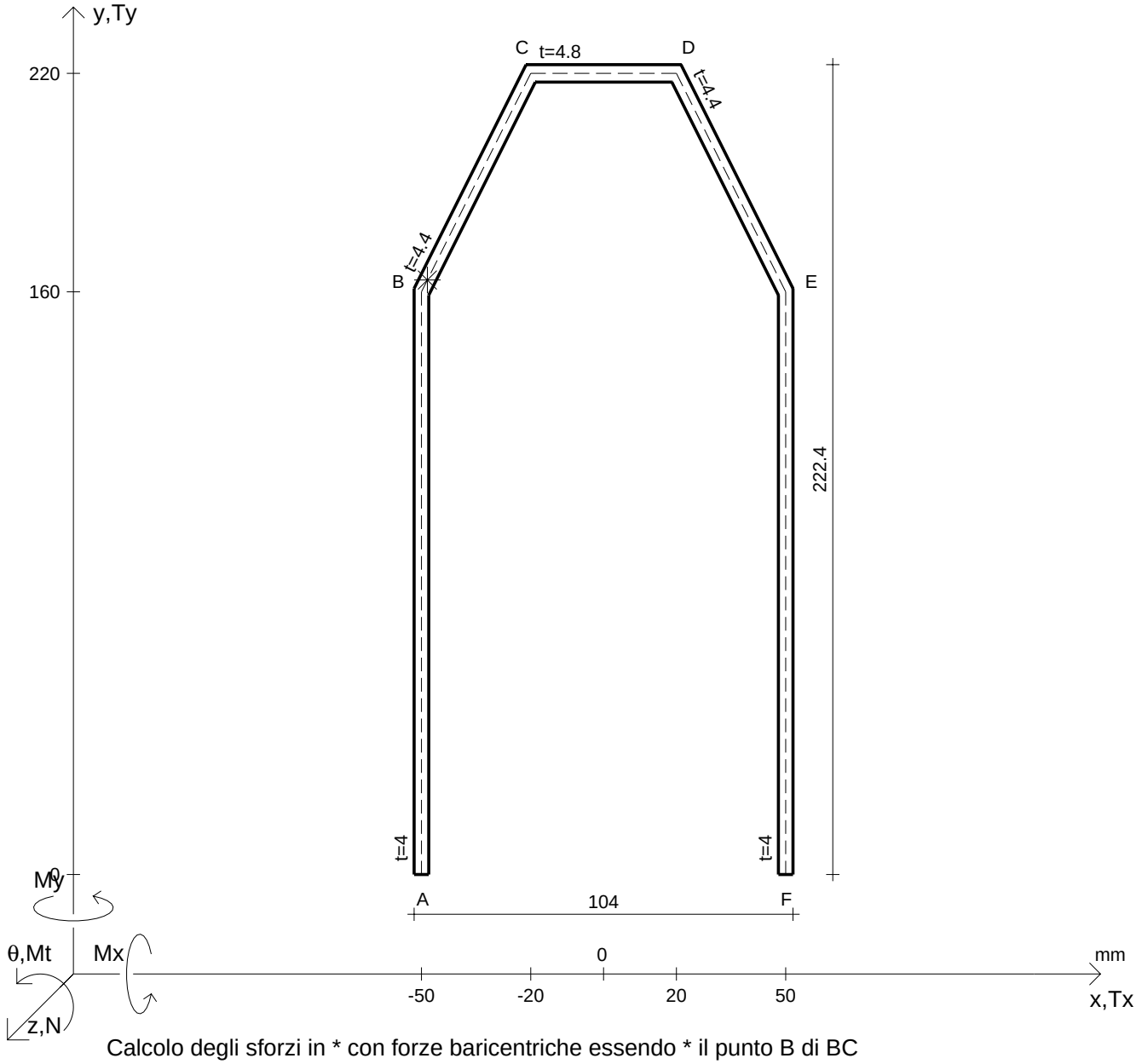


Calcolo degli sforzi in * con forze baricentriche essendo * il punto B di BC
Rappresentare sul foglio, in scala: G, assi u,v, ellisse d'inerzia, C.T.
Rappresentare i cerchi di Mohr
Operare le conclusioni sulla verifica di resistenza in *
Facoltativo: rappresentare l'asse neutro e l'andamento delle tens. normali.
Facoltativo: rappresentare l'andamento delle tens. tangenziali.

| | | | | | |
|---|---|---|---|---|---|
| $N$ | = 98800 N | $M_x$ | = 5350000 Nmm | $G$ | = 73000 N/mm$^2$ |
| $T_y$ | = 86700 N | $\sigma_a$ | = 220 N/mm$^2$ | | |
| $M_t$ | = 204000 Nmm | $E$ | = 200000 N/mm$^2$ | | |
| $y_G$ | = | $\tau(M_t)_d$ | = | $\sigma_{IId}$ | = |
| $u_o$ | = | $\tau(T_{yc})$ | = | $\sigma_{tresca}$ | = |
| $v_o$ | = | $\tau(T_{yb})_d$ | = | $\sigma_{mises}$ | = |
| $A$ | = | $\tau(T_y)_s$ | = | $\sigma_{st.ven}$ | = |
| $S_u^*$ | = | $\tau(T_y)_d$ | = | $\theta_t$ | = |
| $C_w$ | = | $\sigma$ | = | $r_u$ | = |
| $J_u$ | = | $\tau_s$ | = | $r_v$ | = |
| $J_v$ | = | $\tau_d$ | = | $r_o$ | = |
| $J_t$ | = | $\sigma_{Is}$ | = | $J_p$ | = |
| $\sigma(N)$ | = | $\sigma_{IIs}$ | = | | |
| $\sigma(M_x)$ | = | $\sigma_{Id}$ | = | | |

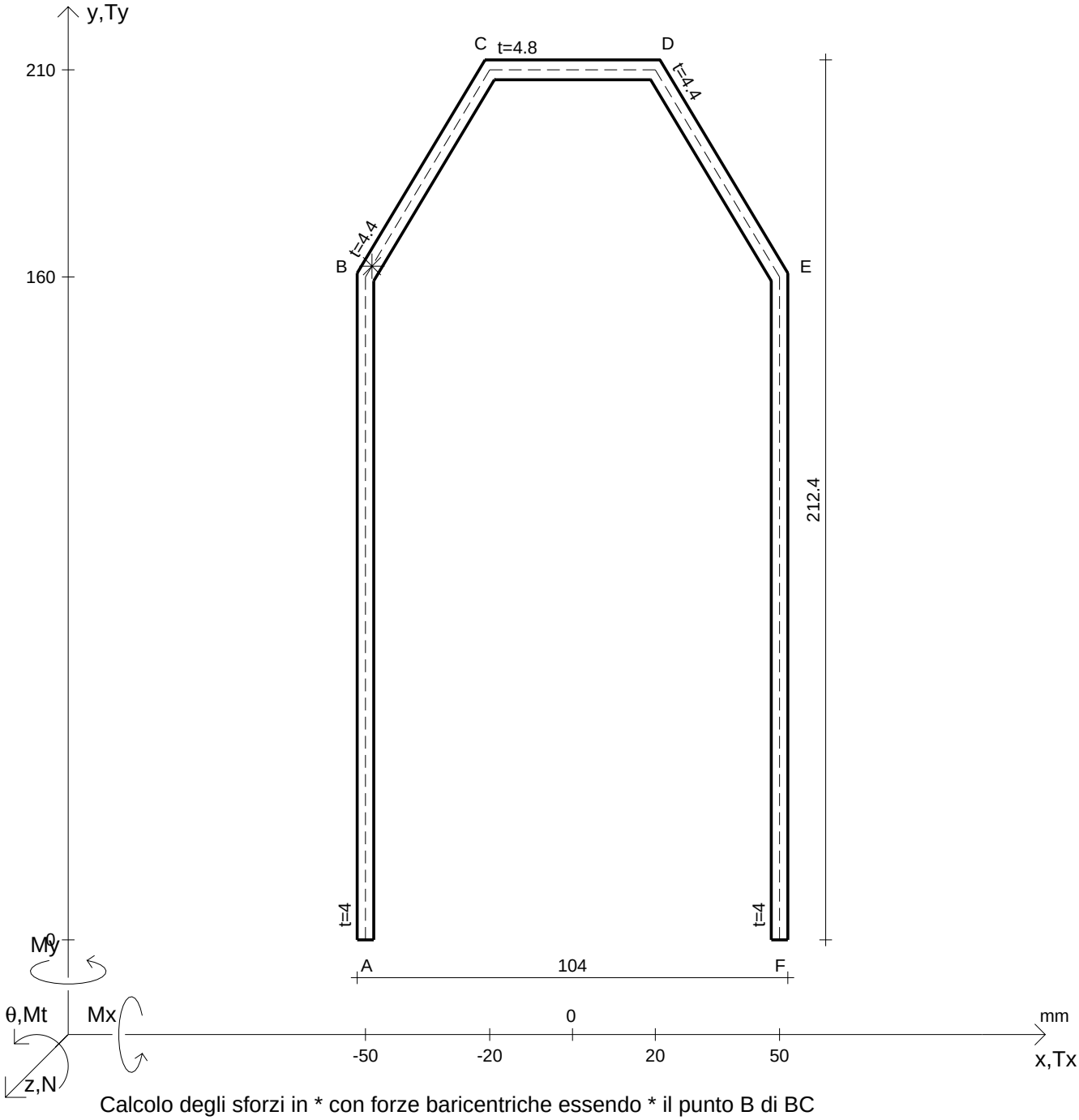


Calcolo degli sforzi in * con forze baricentriche essendo * il punto B di BC
Rappresentare sul foglio, in scala: G, assi u,v, ellisse d'inerzia, C.T.
Rappresentare i cerchi di Mohr
Operare le conclusioni sulla verifica di resistenza in *
Facoltativo: rappresentare l'asse neutro e l'andamento delle tens. normali.
Facoltativo: rappresentare l'andamento delle tens. tangenziali.

| | | | | | | | |
|---|---|---|---|---|---|---|---|
| N | = 104000 N | $M_t$ | = 144000 Nmm | $\sigma_a$ | = 220 N/mm$^2$ | G | = 73000 N/mm$^2$ |
| $T_y$ | = 93400 N | $M_x$ | = 5480000 Nmm | E | = 200000 N/mm$^2$ | | |
| $y_G$ | = | $J_t$ | = | $\sigma$ | = | $\sigma_{mises}$ | = |
| $u_o$ | = | $\sigma(N)$ | = | $\tau_s$ | = | $\sigma_{st.ven}$ | = |
| $v_o$ | = | $\sigma(M_x)$ | = | $\tau_d$ | = | $\theta_t$ | = |
| $A_*$ | = | $\tau(M_t)_d$ | = | $\sigma_{Is}$ | = | $r_u$ | = |
| $S_u^*$ | = | $\tau(T_{yc})$ | = | $\sigma_{IIs}$ | = | $r_v$ | = |
| $C_w$ | = | $\tau(T_{yb})_d$ | = | $\sigma_{Id}$ | = | $r_o$ | = |
| $J_u$ | = | $\tau(T_y)_s$ | = | $\sigma_{IId}$ | = | $J_p$ | = |
| $J_v$ | = | $\tau(T_y)_d$ | = | $\sigma_{tresca}$ | = | | |

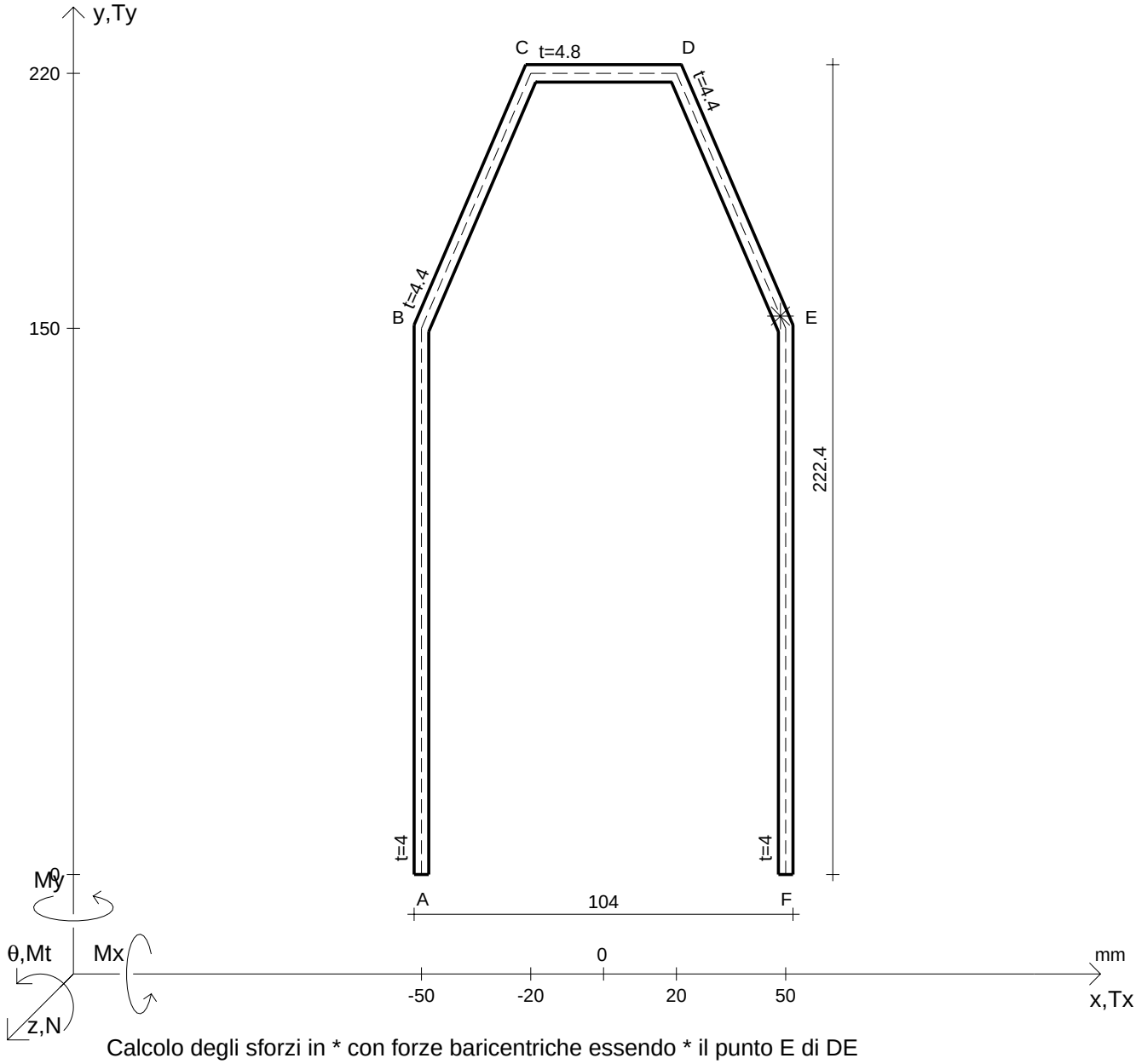


Calcolo degli sforzi in * con forze baricentriche essendo * il punto E di DE
Rappresentare sul foglio, in scala: G, assi u,v, ellisse d'inerzia, C.T.
Rappresentare i cerchi di Mohr
Operare le conclusioni sulla verifica di resistenza in *
Facoltativo: rappresentare l'asse neutro e l'andamento delle tens. normali.
Facoltativo: rappresentare l'andamento delle tens. tangenziali.

| | | | | | |
|---|---|---|---|---|---|
| $N$ | = 120000 N | $M_x$ | = 6650000 Nmm | $G$ | = 73000 N/mm$^2$ |
| $T_y$ | = 67900 N | $\sigma_a$ | = 220 N/mm$^2$ | | |
| $M_t$ | = 172000 Nmm | $E$ | = 200000 N/mm$^2$ | | |
| $y_G$ | = | $\tau(M_t)_d$ | = | $\sigma_{IId}$ | = |
| $u_o$ | = | $\tau(T_{yc})$ | = | $\sigma_{tresca}$ | = |
| $v_o$ | = | $\tau(T_{yb})_d$ | = | $\sigma_{mises}$ | = |
| $A$ | = | $\tau(T_y)_s$ | = | $\sigma_{st.ven}$ | = |
| $S_u^*$ | = | $\tau(T_y)_d$ | = | $\theta_t$ | = |
| $C_w$ | = | $\sigma$ | = | $r_u$ | = |
| $J_u$ | = | $\tau_s$ | = | $r_v$ | = |
| $J_v$ | = | $\tau_d$ | = | $r_o$ | = |
| $J_t$ | = | $\sigma_{Is}$ | = | $J_p$ | = |
| $\sigma(N)$ | = | $\sigma_{IIs}$ | = | | |
| $\sigma(M_x)$ | = | $\sigma_{Id}$ | = | | |

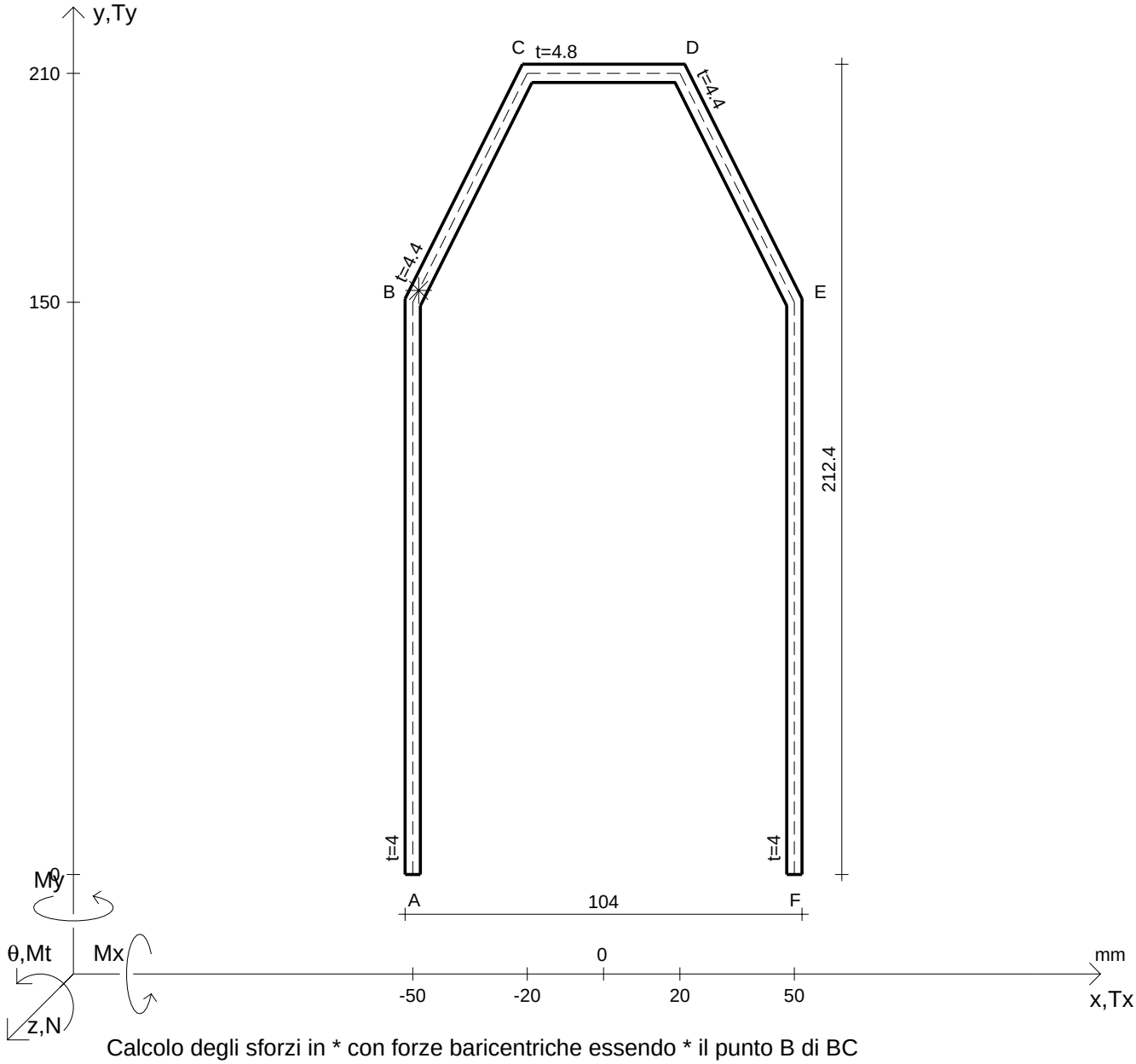


Calcolo degli sforzi in * con forze baricentriche essendo * il punto B di BC
Rappresentare sul foglio, in scala: G, assi u,v, ellisse d'inerzia, C.T.
Rappresentare i cerchi di Mohr
Operare le conclusioni sulla verifica di resistenza in *
Facoltativo: rappresentare l'asse neutro e l'andamento delle tens. normali.
Facoltativo: rappresentare l'andamento delle tens. tangenziali.

| | | | | | |
|---|---|---|---|---|---|
| $N$ | = 85200 N | $M_x$ | = 6650000 Nmm | $G$ | = 73000 N/mm$^2$ |
| $T_y$ | = 74000 N | $\sigma_a$ | = 220 N/mm$^2$ | | |
| $M_t$ | = 181000 Nmm | $E$ | = 200000 N/mm$^2$ | | |
| $y_G$ | = | $\tau(M_t)_d$ | = | $\sigma_{IId}$ | = |
| $u_o$ | = | $\tau(T_{yc})$ | = | $\sigma_{tresca}$ | = |
| $v_o$ | = | $\tau(T_{yb})_d$ | = | $\sigma_{mises}$ | = |
| $A$ | = | $\tau(T_y)_s$ | = | $\sigma_{st.ven}$ | = |
| $S_u^*$ | = | $\tau(T_y)_d$ | = | $\theta_t$ | = |
| $C_w$ | = | $\sigma$ | = | $r_u$ | = |
| $J_u$ | = | $\tau_s$ | = | $r_v$ | = |
| $J_v$ | = | $\tau_d$ | = | $r_o$ | = |
| $J_t$ | = | $\sigma_{Is}$ | = | $J_p$ | = |
| $\sigma(N)$ | = | $\sigma_{IIs}$ | = | | |
| $\sigma(M_x)$ | = | $\sigma_{Id}$ | = | | |

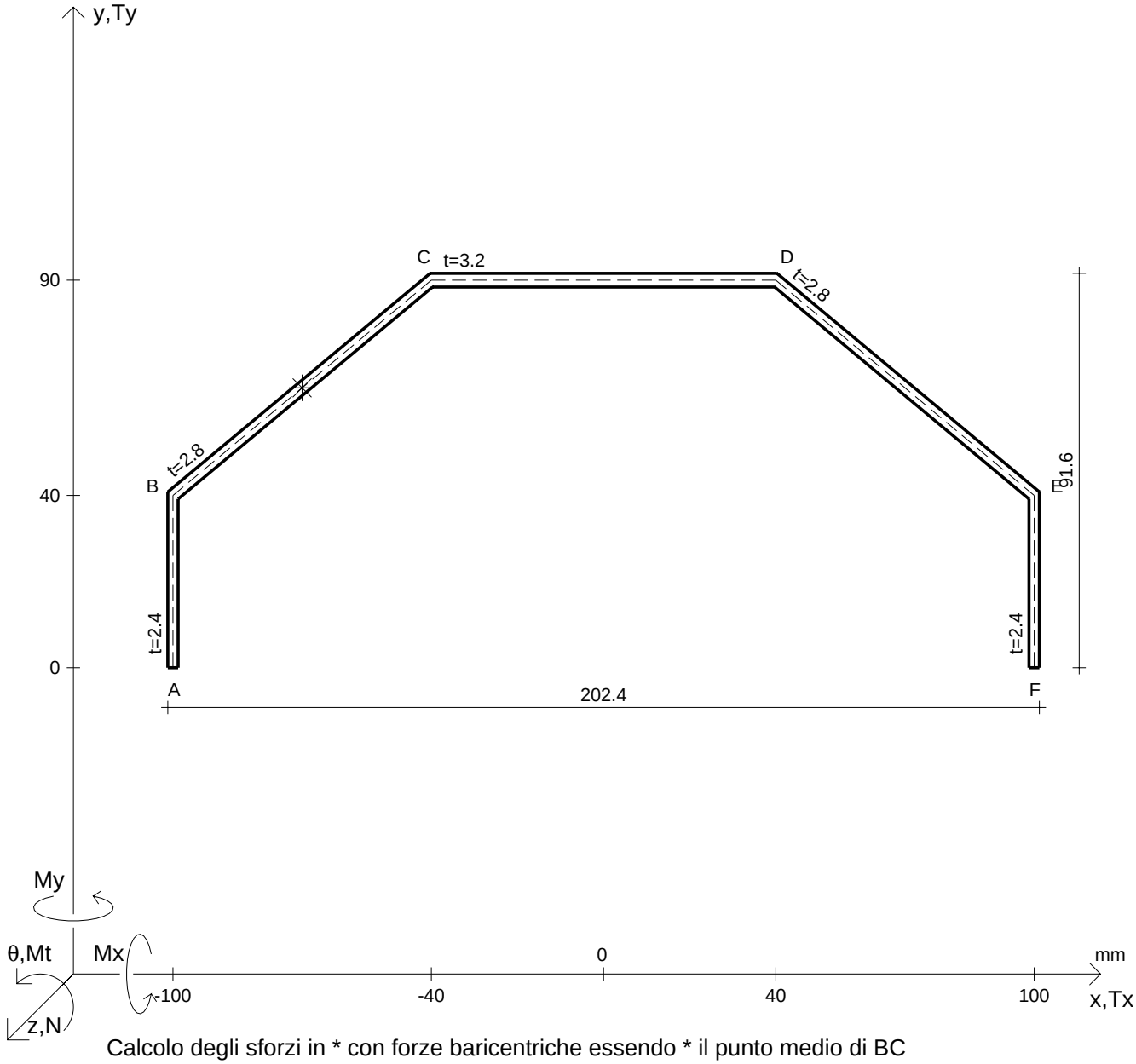


Calcolo degli sforzi in * con forze baricentriche essendo * il punto medio di BC
Rappresentare sul foglio, in scala: G, assi u,v, ellisse d'inerzia, C.T.
Rappresentare i cerchi di Mohr
Operare le conclusioni sulla verifica di resistenza in *
Facoltativo: rappresentare l'asse neutro e l'andamento delle tens. normali.
Facoltativo: rappresentare l'andamento delle tens. tangenziali.

| | | | | | |
|---|---|---|---|---|---|
| N | = 42700 N | $M_x$ | = 729000 Nmm | G | = 73000 N/mm$^2$ |
| $T_y$ | = 22800 N | $\sigma_a$ | = 220 N/mm$^2$ | | |
| $M_t$ | = 60900 Nmm | E | = 200000 N/mm$^2$ | | |
| $y_G$ | = | $\tau(M_t)_d$ | = | $\sigma_{IId}$ | = |
| $u_o$ | = | $\tau(T_{yc})$ | = | $\sigma_{tresca}$ | = |
| $v_o$ | = | $\tau(T_{yb})_d$ | = | $\sigma_{mises}$ | = |
| A | = | $\tau(T_y)_s$ | = | $\sigma_{st.ven}$ | = |
| $S_u^*$ | = | $\tau(T_y)_d$ | = | $\theta_t$ | = |
| $C_w$ | = | $\sigma$ | = | $r_u$ | = |
| $J_u$ | = | $\tau_s$ | = | $r_v$ | = |
| $J_v$ | = | $\tau_d$ | = | $r_o$ | = |
| $J_t$ | = | $\sigma_{Is}$ | = | $J_p$ | = |
| $\sigma(N)$ | = | $\sigma_{IIs}$ | = | | |
| $\sigma(M_x)$ | = | $\sigma_{Id}$ | = | | |

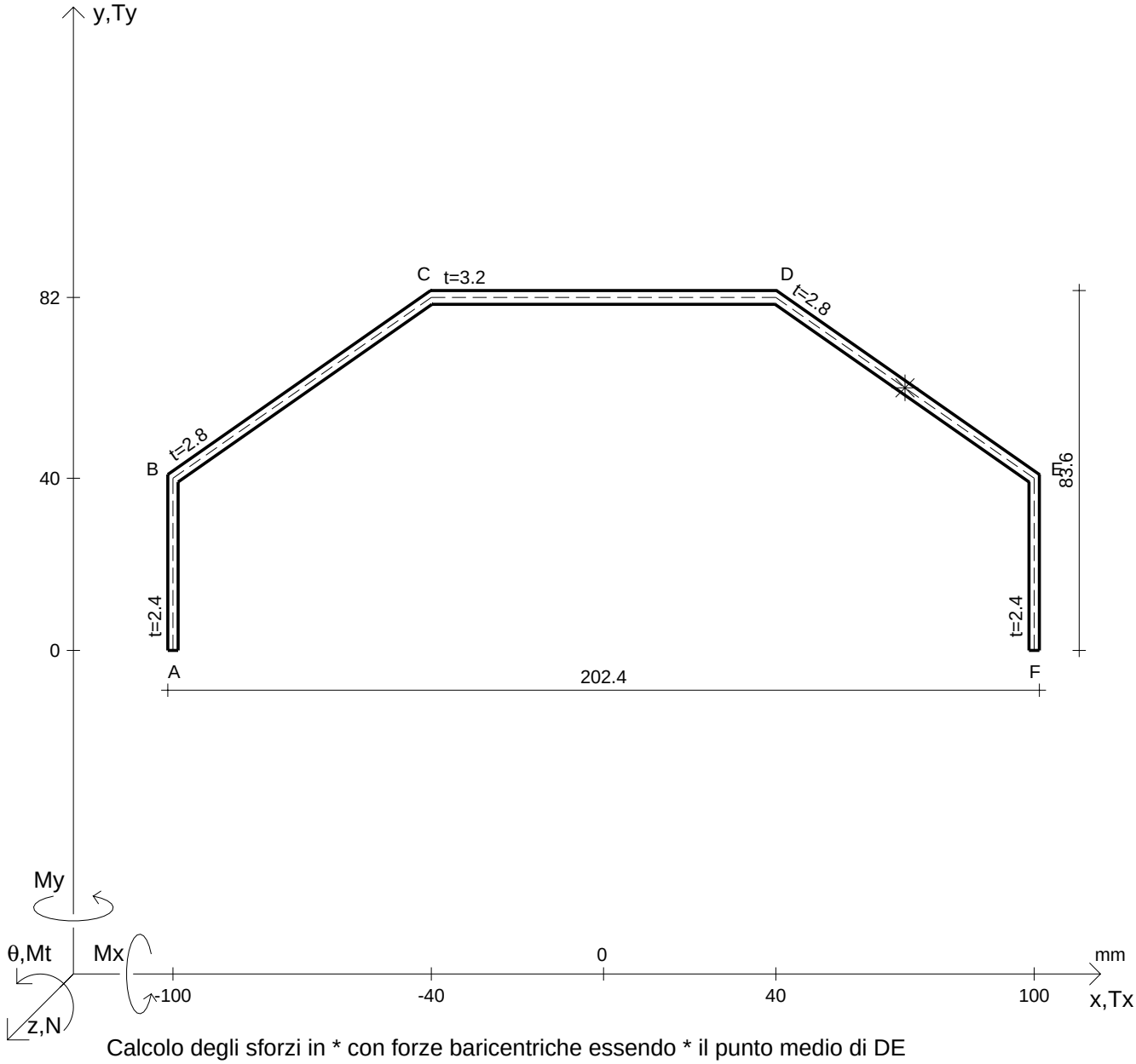


Calcolo degli sforzi in * con forze baricentriche essendo * il punto medio di DE
Rappresentare sul foglio, in scala: G, assi u,v, ellisse d'inerzia, C.T.
Rappresentare i cerchi di Mohr
Operare le conclusioni sulla verifica di resistenza in *
Facoltativo: rappresentare l'asse neutro e l'andamento delle tens. normali.
Facoltativo: rappresentare l'andamento delle tens. tangenziali.

| | | | | | |
|---|---|---|---|---|---|
| N | = 45700 N | $M_x$ | = 682000 Nmm | G | = 73000 N/mm$^2$ |
| $T_y$ | = 22700 N | $\sigma_a$ | = 220 N/mm$^2$ | | |
| $M_t$ | = 43600 Nmm | E | = 200000 N/mm$^2$ | | |
| $y_G$ | = | $\tau(M_t)_d$ | = | $\sigma_{IId}$ | = |
| $u_o$ | = | $\tau(T_{yc})$ | = | $\sigma_{tresca}$ | = |
| $v_o$ | = | $\tau(T_{yb})_d$ | = | $\sigma_{mises}$ | = |
| A | = | $\tau(T_y)_s$ | = | $\sigma_{st.ven}$ | = |
| $S_u^*$ | = | $\tau(T_y)_d$ | = | $\theta_t$ | = |
| $C_w$ | = | $\sigma$ | = | $r_u$ | = |
| $J_u$ | = | $\tau_s$ | = | $r_v$ | = |
| $J_v$ | = | $\tau_d$ | = | $r_o$ | = |
| $J_t$ | = | $\sigma_{Is}$ | = | $J_p$ | = |
| $\sigma(N)$ | = | $\sigma_{IIs}$ | = | | |
| $\sigma(M_x)$ | = | $\sigma_{Id}$ | = | | |

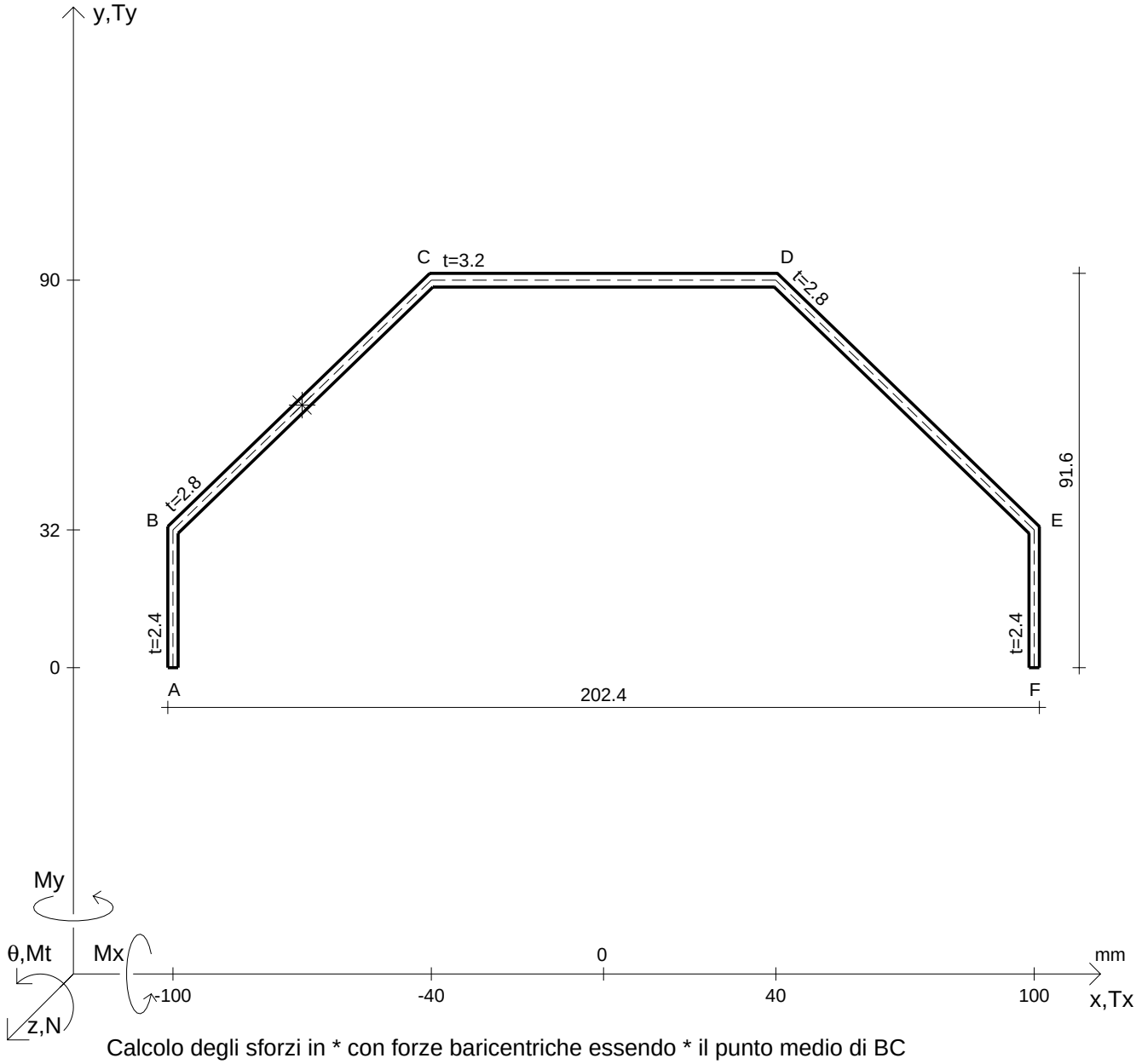


Calcolo degli sforzi in * con forze baricentriche essendo * il punto medio di BC
Rappresentare sul foglio, in scala: G, assi u,v, ellisse d'inerzia, C.T.
Rappresentare i cerchi di Mohr
Operare le conclusioni sulla verifica di resistenza in *
Facoltativo: rappresentare l'asse neutro e l'andamento delle tens. normali.
Facoltativo: rappresentare l'andamento delle tens. tangenziali.

| | | | | | |
|---|---|---|---|---|---|
| $N$ | = 51300 N | $M_x$ | = -930000 Nmm | $G$ | = 73000 N/mm$^2$ |
| $T_y$ | = 18500 N | $\sigma_a$ | = 220 N/mm$^2$ | | |
| $M_t$ | = 50500 Nmm | $E$ | = 200000 N/mm$^2$ | | |
| $y_G$ | = | $\tau(M_t)_d$ | = | $\sigma_{IId}$ | = |
| $u_o$ | = | $\tau(T_{yc})$ | = | $\sigma_{tresca}$ | = |
| $v_o$ | = | $\tau(T_{yb})_d$ | = | $\sigma_{mises}$ | = |
| $A$ | = | $\tau(T_y)_s$ | = | $\sigma_{st.ven}$ | = |
| $S_u^*$ | = | $\tau(T_y)_d$ | = | $\theta_t$ | = |
| $C_w$ | = | $\sigma$ | = | $r_u$ | = |
| $J_u$ | = | $\tau_s$ | = | $r_v$ | = |
| $J_v$ | = | $\tau_d$ | = | $r_o$ | = |
| $J_t$ | = | $\sigma_{Is}$ | = | $J_p$ | = |
| $\sigma(N)$ | = | $\sigma_{IIs}$ | = | | |
| $\sigma(M_x)$ | = | $\sigma_{Id}$ | = | | |

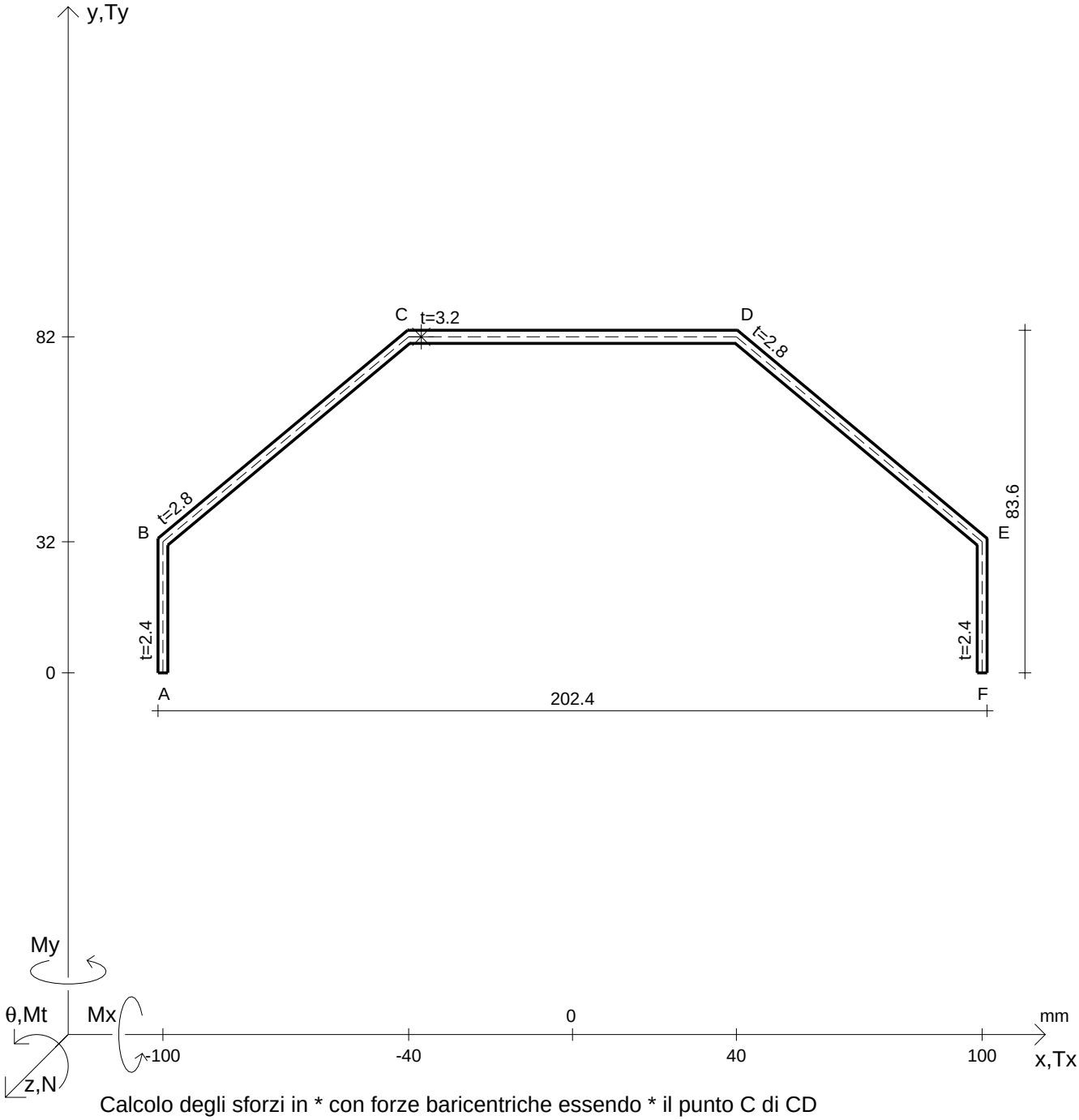


Calcolo degli sforzi in * con forze baricentriche essendo * il punto C di CD
Rappresentare sul foglio, in scala: G, assi u,v, ellisse d'inerzia, C.T.
Rappresentare i cerchi di Mohr
Operare le conclusioni sulla verifica di resistenza in *
Facoltativo: rappresentare l'asse neutro e l'andamento delle tens. normali.
Facoltativo: rappresentare l'andamento delle tens. tangenziali.

| | | | | | | | |
|---|---|---|---|---|---|---|---|
| N | = 38900 N | $M_t$ | = 57300 Nmm | $\sigma_a$ | = 220 N/mm$^2$ | G | = 73000 N/mm$^2$ |
| $T_y$ | = 19800 N | $M_x$ | = 909000 Nmm | E | = 200000 N/mm$^2$ | | |
| $y_G$ | = | $J_t$ | = | $\sigma$ | = | $\sigma_{mises}$ | = |
| $u_o$ | = | $\sigma(N)$ | = | $\tau_s$ | = | $\sigma_{st.ven}$ | = |
| $v_o$ | = | $\sigma(M_x)$ | = | $\tau_d$ | = | $\theta_t$ | = |
| $A^*$ | = | $\tau(M_t)_d$ | = | $\sigma_{ls}$ | = | $r_u$ | = |
| $S_u^*$ | = | $\tau(T_{yc})$ | = | $\sigma_{lls}$ | = | $r_v$ | = |
| $C_w$ | = | $\tau(T_{yb})_d$ | = | $\sigma_{ld}$ | = | $r_o$ | = |
| $J_u$ | = | $\tau(T_y)_s$ | = | $\sigma_{lld}$ | = | $J_p$ | = |
| $J_v$ | = | $\tau(T_y)_d$ | = | $\sigma_{tresca}$ | = | | |

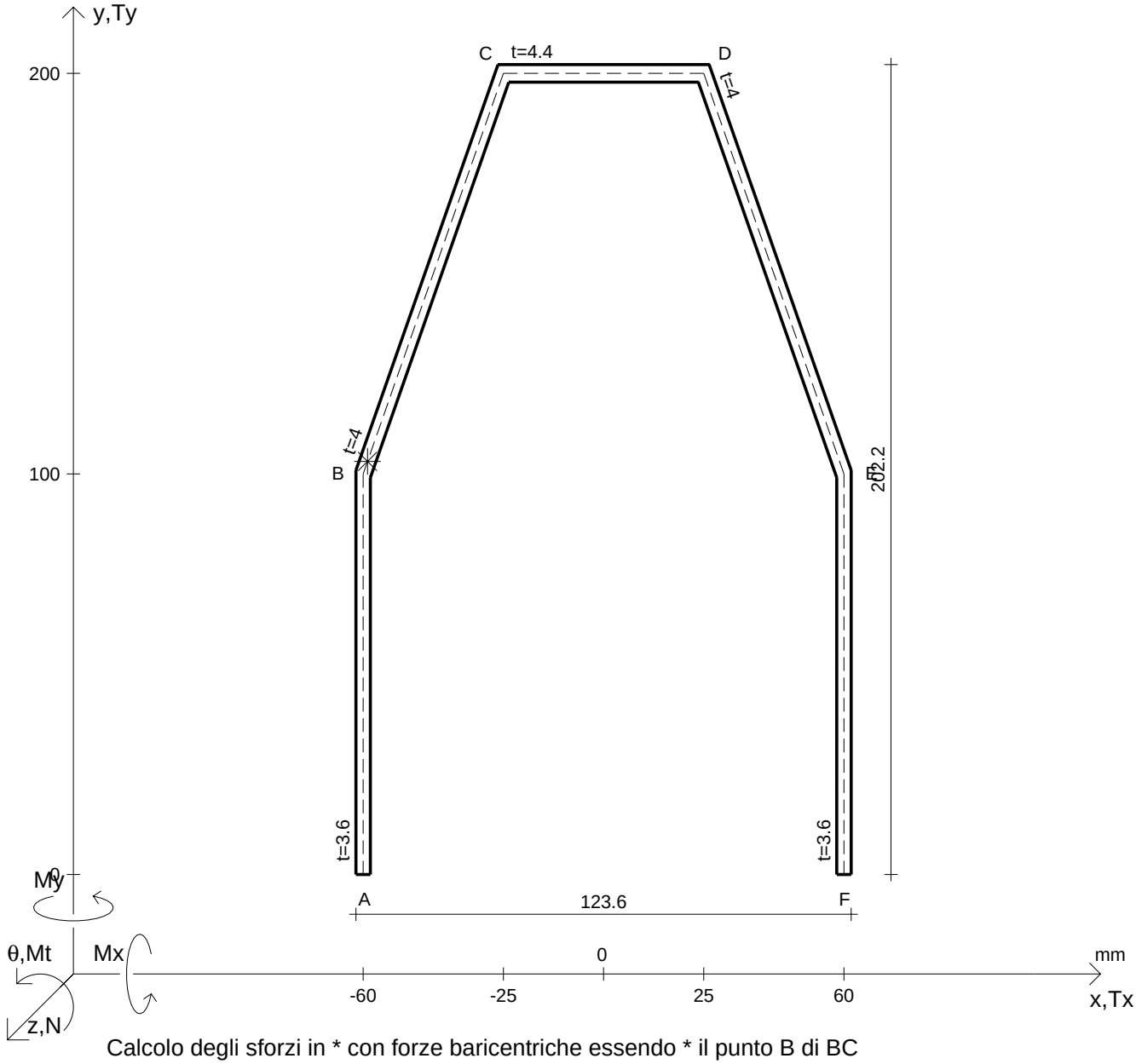


Calcolo degli sforzi in * con forze baricentriche essendo * il punto B di BC
Rappresentare sul foglio, in scala: G, assi u,v, ellisse d'inerzia, C.T.
Rappresentare i cerchi di Mohr
Operare le conclusioni sulla verifica di resistenza in *
Facoltativo: rappresentare l'asse neutro e l'andamento delle tens. normali.
Facoltativo: rappresentare l'andamento delle tens. tangenziali.

| | | | | | |
|---|---|---|---|---|---|
| N | = 87800 N | $M_x$ | = -4230000 Nmm | G | = 73000 N/mm$^2$ |
| $T_y$ | = 68900 N | $\sigma_a$ | = 220 N/mm$^2$ | | |
| $M_t$ | = 171000 Nmm | E | = 200000 N/mm$^2$ | | |
| $y_G$ | = | $\tau(M_t)_d$ | = | $\sigma_{IId}$ | = |
| $u_o$ | = | $\tau(T_{yc})$ | = | $\sigma_{tresca}$ | = |
| $v_o$ | = | $\tau(T_{yb})_d$ | = | $\sigma_{mises}$ | = |
| A | = | $\tau(T_y)_s$ | = | $\sigma_{st.ven}$ | = |
| $S_u^*$ | = | $\tau(T_y)_d$ | = | $\theta_t$ | = |
| $C_w$ | = | $\sigma$ | = | $r_u$ | = |
| $J_u$ | = | $\tau_s$ | = | $r_v$ | = |
| $J_v$ | = | $\tau_d$ | = | $r_o$ | = |
| $J_t$ | = | $\sigma_{Is}$ | = | $J_p$ | = |
| $\sigma(N)$ | = | $\sigma_{IIs}$ | = | | |
| $\sigma(M_x)$ | = | $\sigma_{Id}$ | = | | |

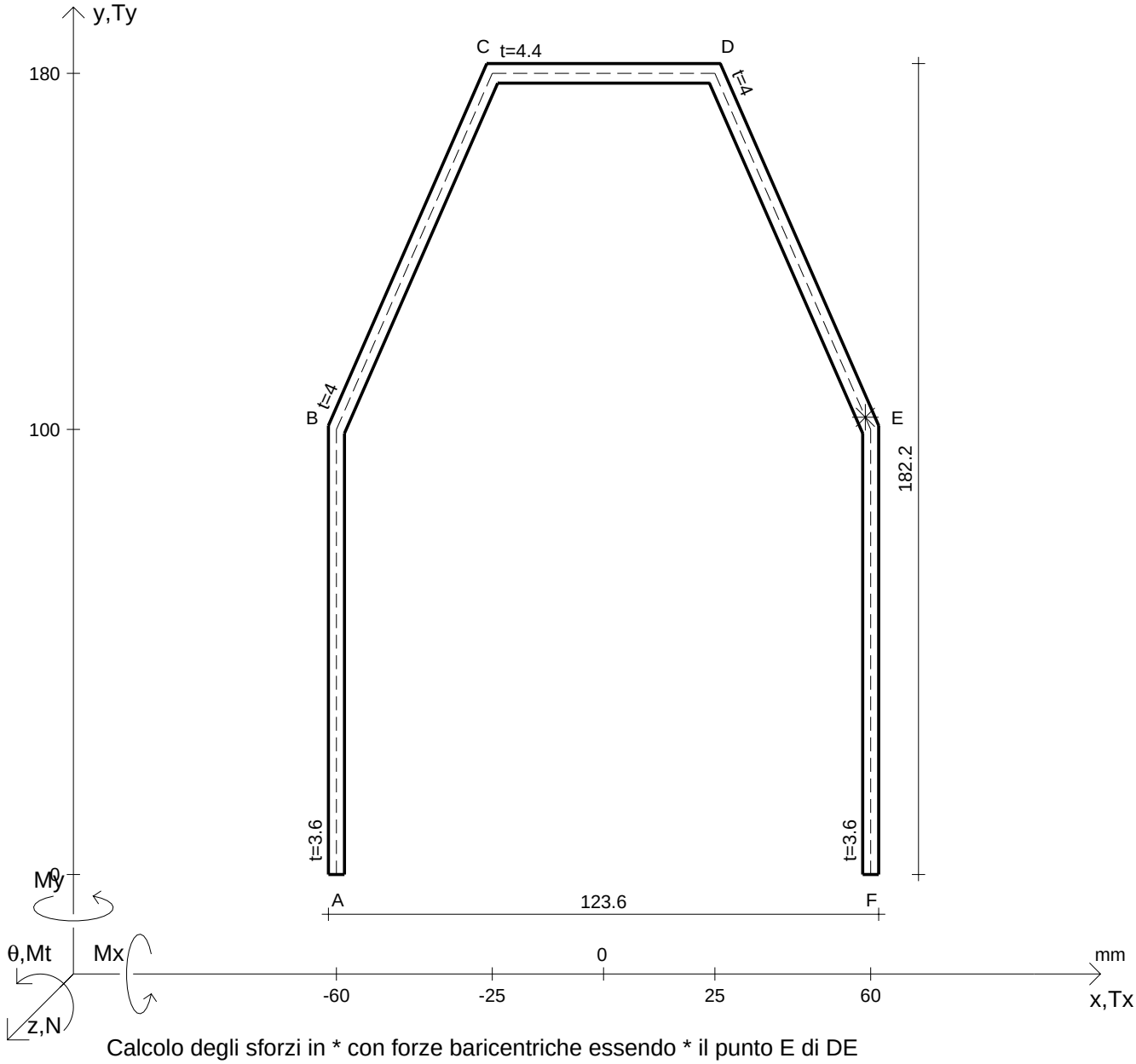


Calcolo degli sforzi in * con forze baricentriche essendo * il punto E di DE
Rappresentare sul foglio, in scala: G, assi u,v, ellisse d'inerzia, C.T.
Rappresentare i cerchi di Mohr
Operare le conclusioni sulla verifica di resistenza in *
Facoltativo: rappresentare l'asse neutro e l'andamento delle tens. normali.
Facoltativo: rappresentare l'andamento delle tens. tangenziali.

| | | | | | |
|---|---|---|---|---|---|
| N | = 89700 N | $M_x$ | = -3920000 Nmm | G | = 73000 N/mm$^2$ |
| $T_y$ | = 67600 N | $\sigma_a$ | = 220 N/mm$^2$ | | |
| $M_t$ | = 116000 Nmm | E | = 200000 N/mm$^2$ | | |
| $y_G$ | = | $\tau(M_t)_d$ | = | $\sigma_{IId}$ | = |
| $u_o$ | = | $\tau(T_{yc})$ | = | $\sigma_{tresca}$ | = |
| $v_o$ | = | $\tau(T_{yb})_d$ | = | $\sigma_{mises}$ | = |
| A | = | $\tau(T_y)_s$ | = | $\sigma_{st.ven}$ | = |
| $S_u^*$ | = | $\tau(T_y)_d$ | = | $\theta_t$ | = |
| $C_w$ | = | $\sigma$ | = | $r_u$ | = |
| $J_u$ | = | $\tau_s$ | = | $r_v$ | = |
| $J_v$ | = | $\tau_d$ | = | $r_o$ | = |
| $J_t$ | = | $\sigma_{Is}$ | = | $J_p$ | = |
| $\sigma(N)$ | = | $\sigma_{IIs}$ | = | | |
| $\sigma(M_x)$ | = | $\sigma_{Id}$ | = | | |

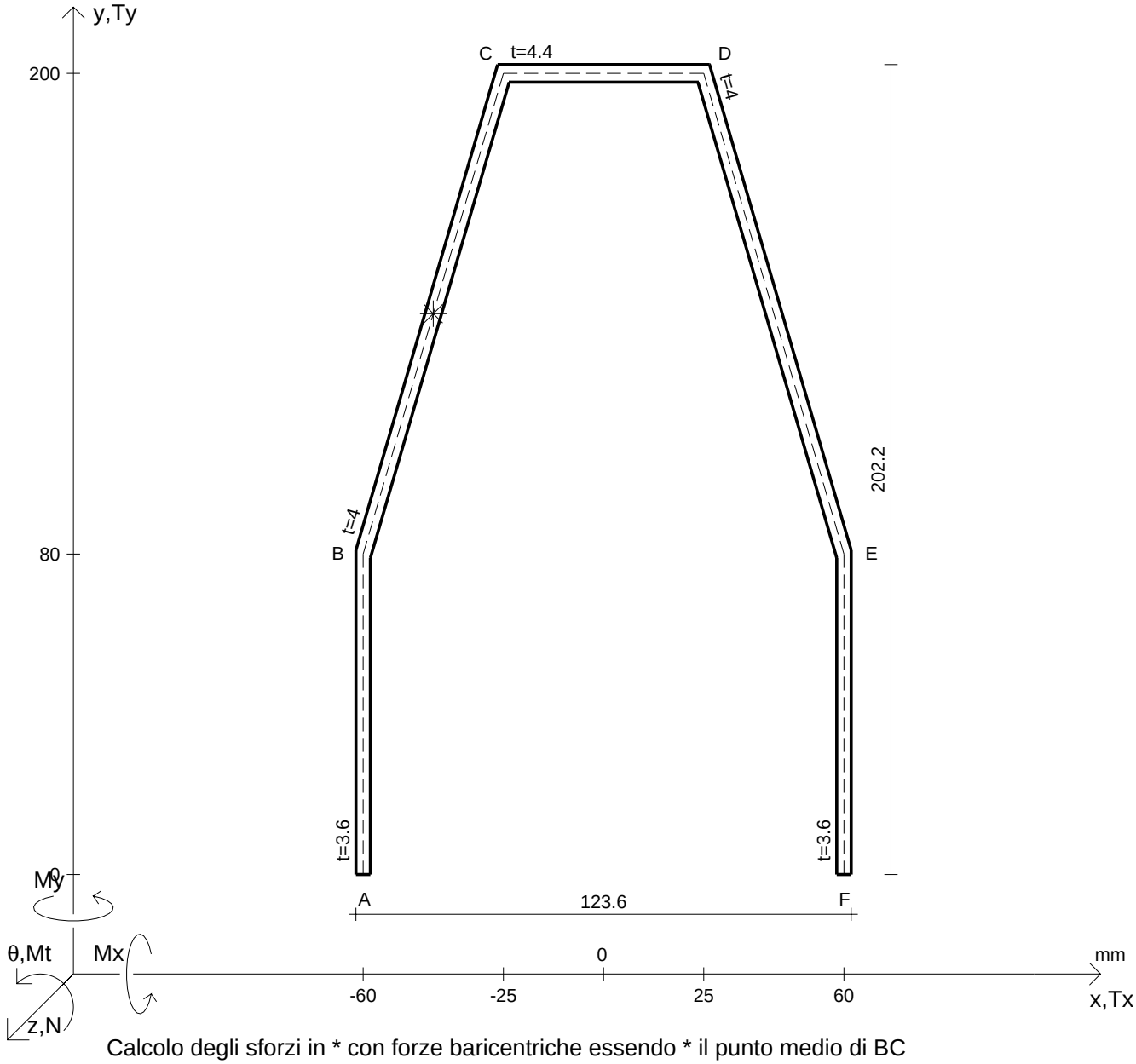


Calcolo degli sforzi in * con forze baricentriche essendo * il punto medio di BC
Rappresentare sul foglio, in scala: G, assi u,v, ellisse d'inerzia, C.T.
Rappresentare i cerchi di Mohr
Operare le conclusioni sulla verifica di resistenza in *
Facoltativo: rappresentare l'asse neutro e l'andamento delle tens. normali.
Facoltativo: rappresentare l'andamento delle tens. tangenziali.

| | | | | | |
|---|---|---|---|---|---|
| $N$ | = 103000 N | $M_x$ | = 5070000 Nmm | $G$ | = 73000 N/mm$^2$ |
| $T_y$ | = 58900 N | $\sigma_a$ | = 220 N/mm$^2$ | | |
| $M_t$ | = 139000 Nmm | $E$ | = 200000 N/mm$^2$ | | |
| $y_G$ | = | $\tau(M_t)_d$ | = | $\sigma_{IId}$ | = |
| $u_o$ | = | $\tau(T_{yc})$ | = | $\sigma_{tresca}$ | = |
| $v_o$ | = | $\tau(T_{yb})_d$ | = | $\sigma_{mises}$ | = |
| $A$ | = | $\tau(T_y)_s$ | = | $\sigma_{st.ven}$ | = |
| $S_u^*$ | = | $\tau(T_y)_d$ | = | $\theta_t$ | = |
| $C_w$ | = | $\sigma$ | = | $r_u$ | = |
| $J_u$ | = | $\tau_s$ | = | $r_v$ | = |
| $J_v$ | = | $\tau_d$ | = | $r_o$ | = |
| $J_t$ | = | $\sigma_{Is}$ | = | $J_p$ | = |
| $\sigma(N)$ | = | $\sigma_{IIs}$ | = | | |
| $\sigma(M_x)$ | = | $\sigma_{Id}$ | = | | |

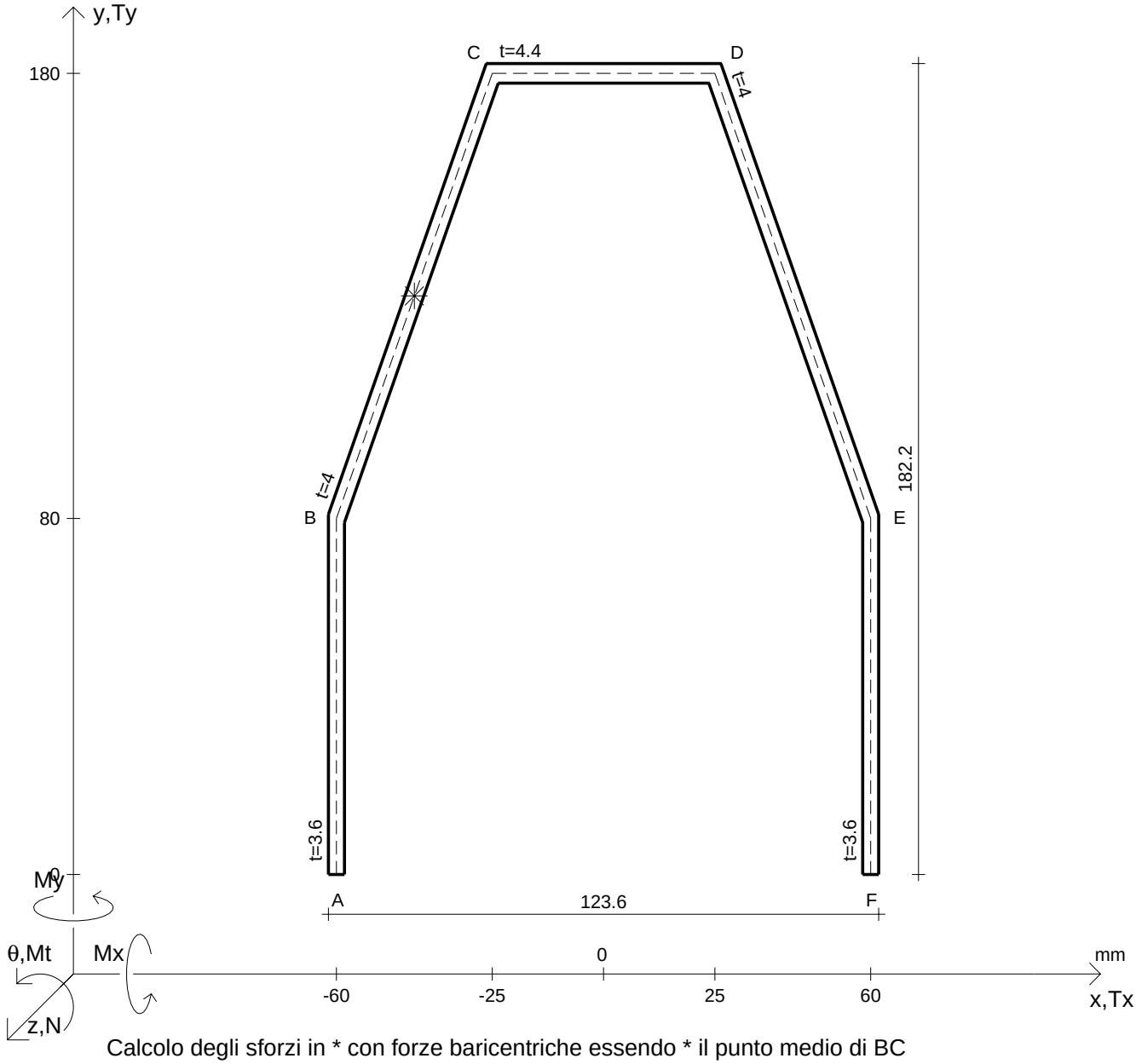


Calcolo degli sforzi in * con forze baricentriche essendo * il punto medio di BC
Rappresentare sul foglio, in scala: G, assi u,v, ellisse d'inerzia, C.T.
Rappresentare i cerchi di Mohr
Operare le conclusioni sulla verifica di resistenza in *
Facoltativo: rappresentare l'asse neutro e l'andamento delle tens. normali.
Facoltativo: rappresentare l'andamento delle tens. tangenziali.

| | | | | | |
|---|---|---|---|---|---|
| $N$ | = 71300 N | $M_x$ | = 4660000 Nmm | $G$ | = 73000 N/mm$^2$ |
| $T_y$ | = 58200 N | $\sigma_a$ | = 220 N/mm$^2$ | | |
| $M_t$ | = 143000 Nmm | $E$ | = 200000 N/mm$^2$ | | |
| $y_G$ | = | $\tau(M_t)_d$ | = | $\sigma_{IId}$ | = |
| $u_o$ | = | $\tau(T_{yc})$ | = | $\sigma_{tresca}$ | = |
| $v_o$ | = | $\tau(T_{yb})_d$ | = | $\sigma_{mises}$ | = |
| $A$ | = | $\tau(T_y)_s$ | = | $\sigma_{st.ven}$ | = |
| $S_u^*$ | = | $\tau(T_y)_d$ | = | $\theta_t$ | = |
| $C_w$ | = | $\sigma$ | = | $r_u$ | = |
| $J_u$ | = | $\tau_s$ | = | $r_v$ | = |
| $J_v$ | = | $\tau_d$ | = | $r_o$ | = |
| $J_t$ | = | $\sigma_{Is}$ | = | $J_p$ | = |
| $\sigma(N)$ | = | $\sigma_{IIs}$ | = | | |
| $\sigma(M_x)$ | = | $\sigma_{Id}$ | = | | |

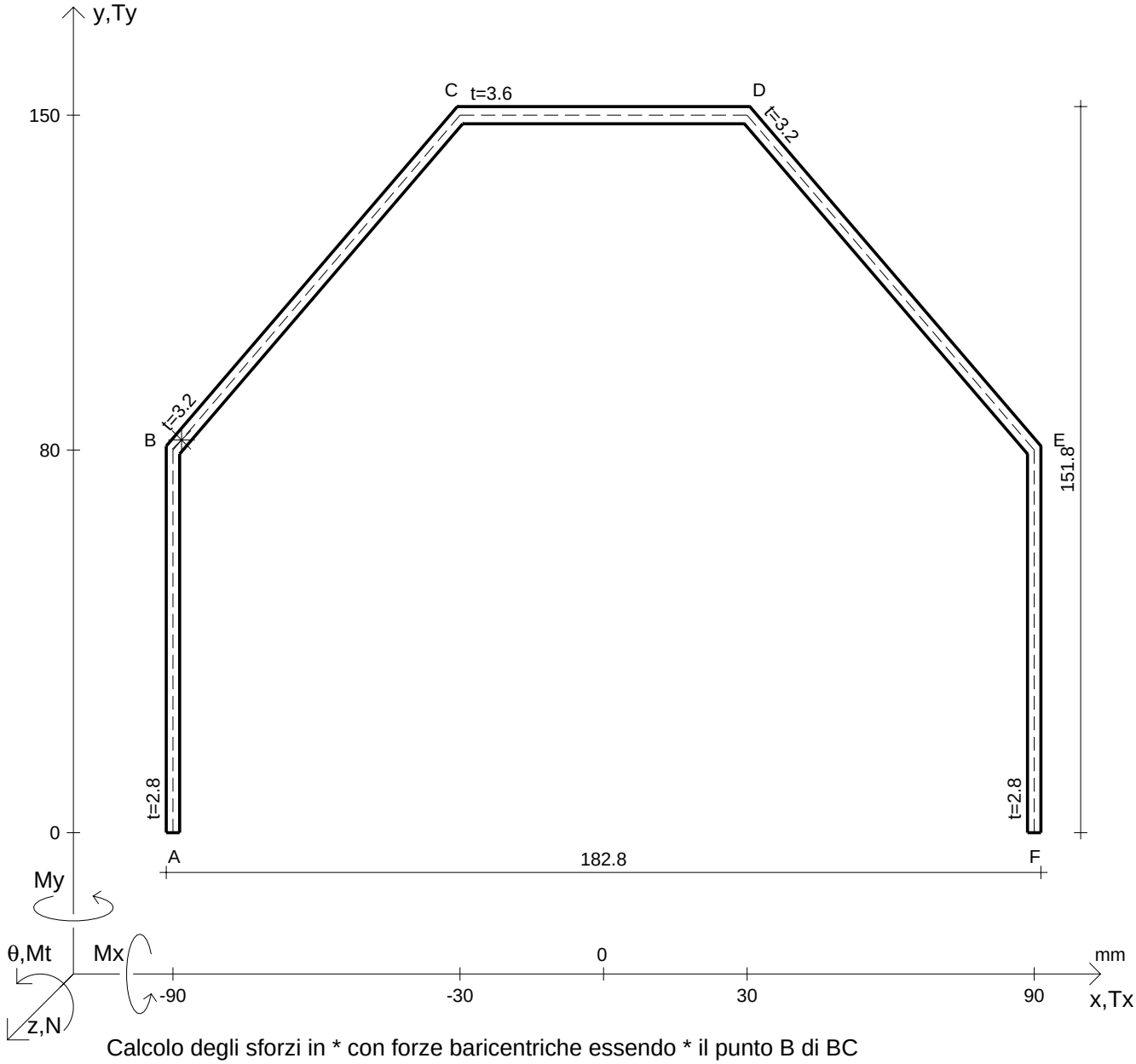


Calcolo degli sforzi in * con forze baricentriche essendo * il punto B di BC
Rappresentare sul foglio, in scala: G, assi u,v, ellisse d'inerzia, C.T.
Rappresentare i cerchi di Mohr
Operare le conclusioni sulla verifica di resistenza in *
Facoltativo: rappresentare l'asse neutro e l'andamento delle tens. normali.
Facoltativo: rappresentare l'andamento delle tens. tangenziali.

| | | | | | |
|---|---|---|---|---|---|
| $N$ | = 62900 N | $M_x$ | = -2070000 Nmm | $G$ | = 73000 N/mm$^2$ |
| $T_y$ | = 41700 N | $\sigma_a$ | = 220 N/mm$^2$ | | |
| $M_t$ | = 97300 Nmm | $E$ | = 200000 N/mm$^2$ | | |
| $y_G$ | = | $\tau(M_t)_d$ | = | $\sigma_{IId}$ | = |
| $u_o$ | = | $\tau(T_{yc})$ | = | $\sigma_{tresca}$ | = |
| $v_o$ | = | $\tau(T_{yb})_d$ | = | $\sigma_{mises}$ | = |
| $A$ | = | $\tau(T_y)_s$ | = | $\sigma_{st.ven}$ | = |
| $S_u^*$ | = | $\tau(T_y)_d$ | = | $\theta_t$ | = |
| $C_w$ | = | $\sigma$ | = | $r_u$ | = |
| $J_u$ | = | $\tau_s$ | = | $r_v$ | = |
| $J_v$ | = | $\tau_d$ | = | $r_o$ | = |
| $J_t$ | = | $\sigma_{Is}$ | = | $J_p$ | = |
| $\sigma(N)$ | = | $\sigma_{IIs}$ | = | | |
| $\sigma(M_x)$ | = | $\sigma_{Id}$ | = | | |

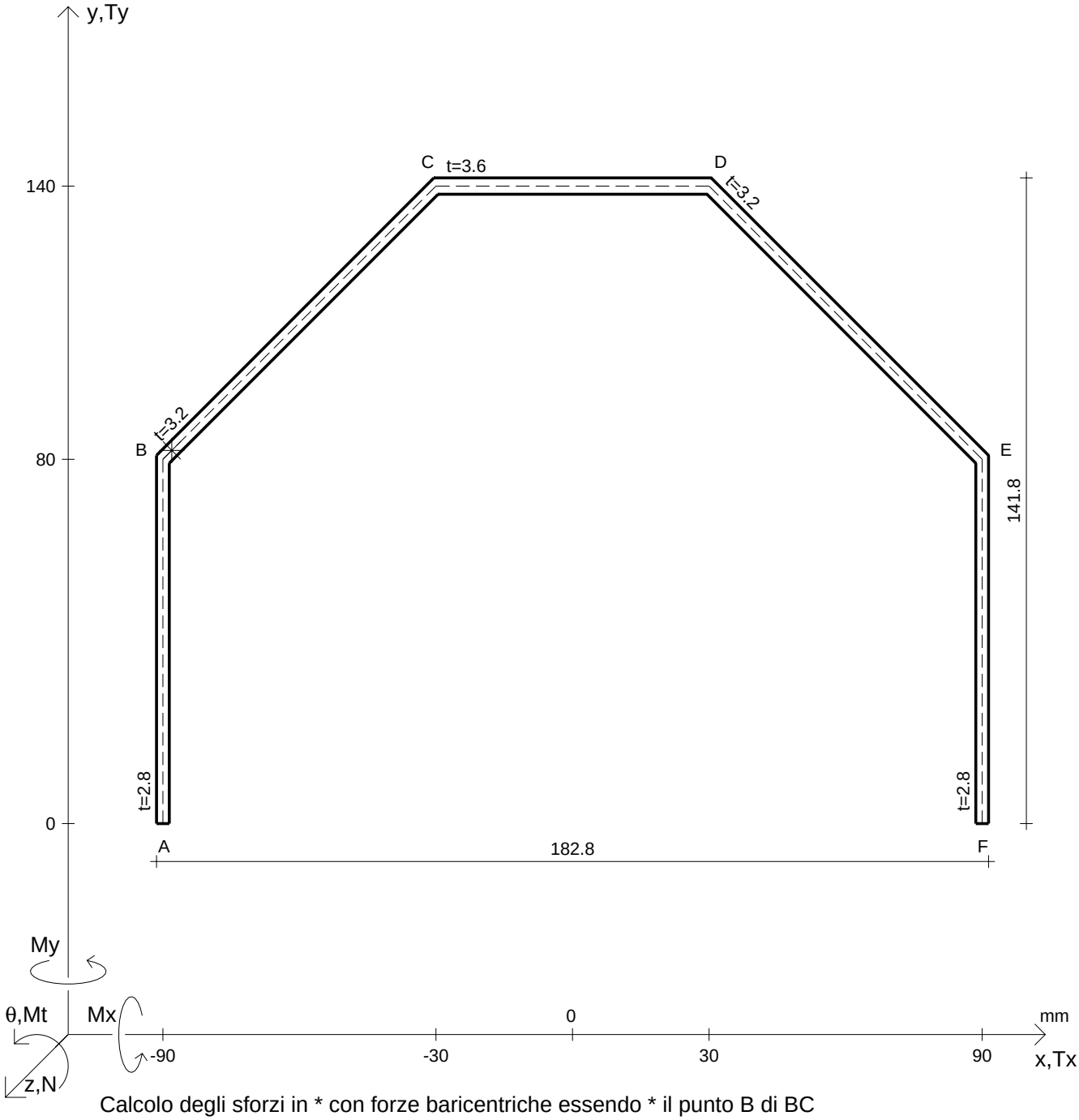


Calcolo degli sforzi in * con forze baricentriche essendo * il punto B di BC
Rappresentare sul foglio, in scala: G, assi u,v, ellisse d'inerzia, C.T.
Rappresentare i cerchi di Mohr
Operare le conclusioni sulla verifica di resistenza in *
Facoltativo: rappresentare l'asse neutro e l'andamento delle tens. normali.
Facoltativo: rappresentare l'andamento delle tens. tangenziali.

| | | | | | | | |
|---|---|---|---|---|---|---|---|
| N | = 67300 N | $M_t$ | = 69400 Nmm | $\sigma_a$ | = 220 N/mm$^2$ | G | = 73000 N/mm$^2$ |
| $T_y$ | = 42200 N | $M_x$ | = -2050000 Nmm | E | = 200000 N/mm$^2$ | | |
| $y_G$ | = | $J_t$ | = | $\sigma$ | = | $\sigma_{mises}$ | = |
| $u_o$ | = | $\sigma(N)$ | = | $\tau_s$ | = | $\sigma_{st.ven}$ | = |
| $v_o$ | = | $\sigma(M_x)$ | = | $\tau_d$ | = | $\theta_t$ | = |
| $A^*$ | = | $\tau(M_t)_d$ | = | $\sigma_{Is}$ | = | $r_u$ | = |
| $S_u^*$ | = | $\tau(T_{yc})$ | = | $\sigma_{IIs}$ | = | $r_v$ | = |
| $C_w$ | = | $\tau(T_{yb})_d$ | = | $\sigma_{Id}$ | = | $r_o$ | = |
| $J_u$ | = | $\tau(T_y)_s$ | = | $\sigma_{IId}$ | = | $J_p$ | = |
| $J_v$ | = | $\tau(T_y)_d$ | = | $\sigma_{tresca}$ | = | | |

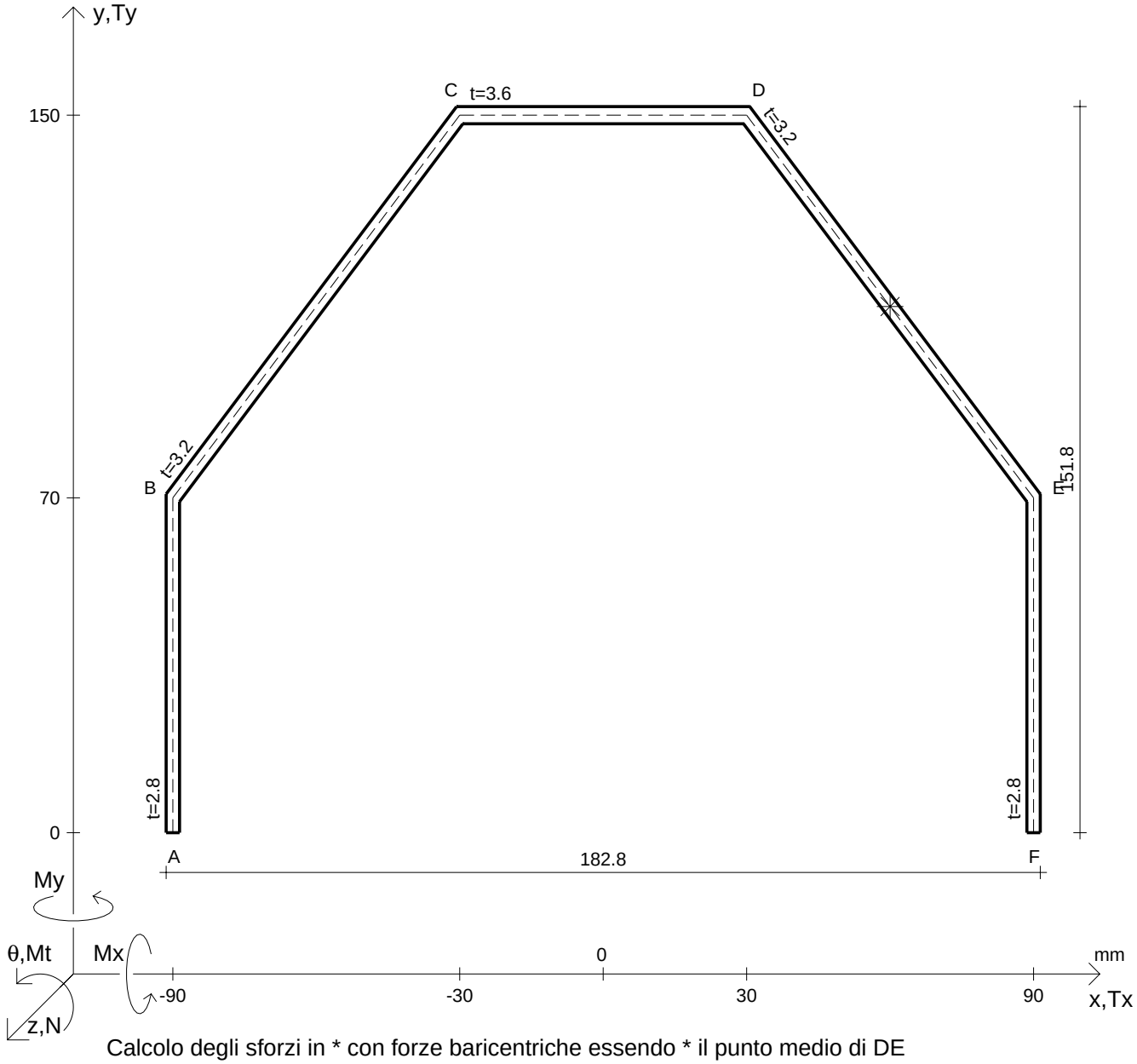


Calcolo degli sforzi in * con forze baricentriche essendo * il punto medio di DE
Rappresentare sul foglio, in scala: G, assi u,v, ellisse d'inerzia, C.T.
Rappresentare i cerchi di Mohr
Operare le conclusioni sulla verifica di resistenza in *
Facoltativo: rappresentare l'asse neutro e l'andamento delle tens. normali.
Facoltativo: rappresentare l'andamento delle tens. tangenziali.

| | | | | | |
|---|---|---|---|---|---|
| $N$ | = 74100 N | $M_x$ | = 2510000 Nmm | $G$ | = 73000 N/mm$^2$ |
| $T_y$ | = 34900 N | $\sigma_a$ | = 220 N/mm$^2$ | | |
| $M_t$ | = 79000 Nmm | $E$ | = 200000 N/mm$^2$ | | |
| $y_G$ | = | $\tau(M_t)_d$ | = | $\sigma_{IId}$ | = |
| $u_o$ | = | $\tau(T_{yc})$ | = | $\sigma_{tresca}$ | = |
| $v_o$ | = | $\tau(T_{yb})_d$ | = | $\sigma_{mises}$ | = |
| $A$ | = | $\tau(T_y)_s$ | = | $\sigma_{st.ven}$ | = |
| $S_u^*$ | = | $\tau(T_y)_d$ | = | $\theta_t$ | = |
| $C_w$ | = | $\sigma$ | = | $r_u$ | = |
| $J_u$ | = | $\tau_s$ | = | $r_v$ | = |
| $J_v$ | = | $\tau_d$ | = | $r_o$ | = |
| $J_t$ | = | $\sigma_{Is}$ | = | $J_p$ | = |
| $\sigma(N)$ | = | $\sigma_{IIs}$ | = | | |
| $\sigma(M_x)$ | = | $\sigma_{Id}$ | = | | |

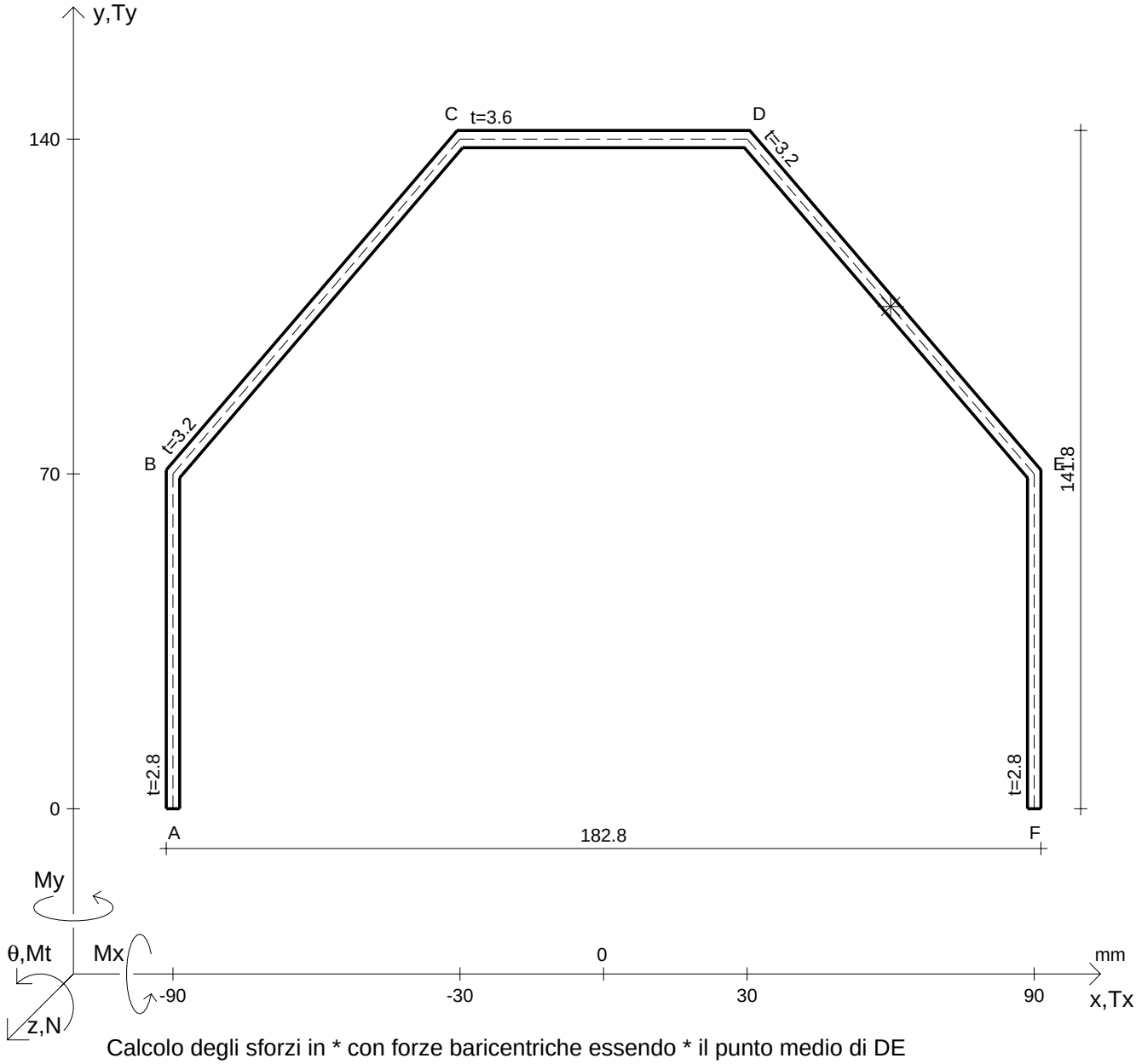


Calcolo degli sforzi in * con forze baricentriche essendo * il punto medio di DE
Rappresentare sul foglio, in scala: G, assi u,v, ellisse d'inerzia, C.T.
Rappresentare i cerchi di Mohr
Operare le conclusioni sulla verifica di resistenza in *
Facoltativo: rappresentare l'asse neutro e l'andamento delle tens. normali.
Facoltativo: rappresentare l'andamento delle tens. tangenziali.

| | | | | | |
|---|---|---|---|---|---|
| N | = 53200 N | $M_x$ | = 2450000 Nmm | G | = 73000 N/mm$^2$ |
| $T_y$ | = 36000 N | $\sigma_a$ | = 220 N/mm$^2$ | | |
| $M_t$ | = 84800 Nmm | E | = 200000 N/mm$^2$ | | |
| $y_G$ | = | $\tau(M_t)_d$ | = | $\sigma_{IId}$ | = |
| $u_o$ | = | $\tau(T_{yc})$ | = | $\sigma_{tresca}$ | = |
| $v_o$ | = | $\tau(T_{yb})_d$ | = | $\sigma_{mises}$ | = |
| A | = | $\tau(T_y)_s$ | = | $\sigma_{st.ven}$ | = |
| $S_u^*$ | = | $\tau(T_y)_d$ | = | $\theta_t$ | = |
| $C_w$ | = | $\sigma$ | = | $r_u$ | = |
| $J_u$ | = | $\tau_s$ | = | $r_v$ | = |
| $J_v$ | = | $\tau_d$ | = | $r_o$ | = |
| $J_t$ | = | $\sigma_{Is}$ | = | $J_p$ | = |
| $\sigma(N)$ | = | $\sigma_{IIs}$ | = | | |
| $\sigma(M_x)$ | = | $\sigma_{Id}$ | = | | |

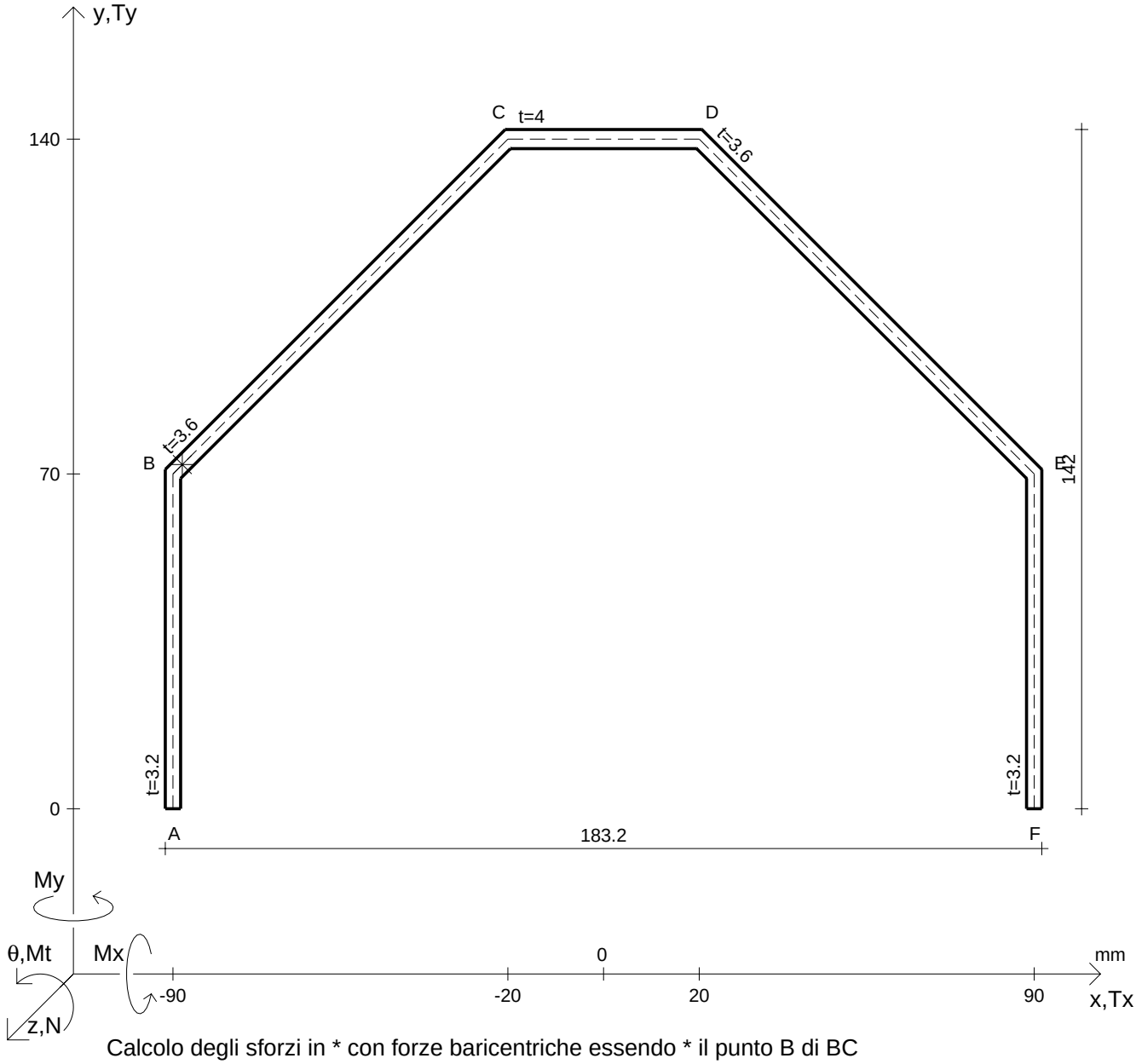


Calcolo degli sforzi in * con forze baricentriche essendo * il punto B di BC
Rappresentare sul foglio, in scala: G, assi u,v, ellisse d'inerzia, C.T.
Rappresentare i cerchi di Mohr
Operare le conclusioni sulla verifica di resistenza in *
Facoltativo: rappresentare l'asse neutro e l'andamento delle tens. normali.
Facoltativo: rappresentare l'andamento delle tens. tangenziali.

| | | | | | |
|---|---|---|---|---|---|
| N | = 65200 N | $M_x$ | = -1950000 Nmm | G | = 73000 N/mm$^2$ |
| $T_y$ | = 43700 N | $\sigma_a$ | = 220 N/mm$^2$ | | |
| $M_t$ | = 114000 Nmm | E | = 200000 N/mm$^2$ | | |
| $y_G$ | = | $\tau(M_t)_d$ | = | $\sigma_{IId}$ | = |
| $u_o$ | = | $\tau(T_{yc})$ | = | $\sigma_{tresca}$ | = |
| $v_o$ | = | $\tau(T_{yb})_d$ | = | $\sigma_{mises}$ | = |
| A | = | $\tau(T_y)_s$ | = | $\sigma_{st.ven}$ | = |
| $S_u^*$ | = | $\tau(T_y)_d$ | = | $\theta_t$ | = |
| $C_w$ | = | $\sigma$ | = | $r_u$ | = |
| $J_u$ | = | $\tau_s$ | = | $r_v$ | = |
| $J_v$ | = | $\tau_d$ | = | $r_o$ | = |
| $J_t$ | = | $\sigma_{Is}$ | = | $J_p$ | = |
| $\sigma(N)$ | = | $\sigma_{IIs}$ | = | | |
| $\sigma(M_x)$ | = | $\sigma_{Id}$ | = | | |

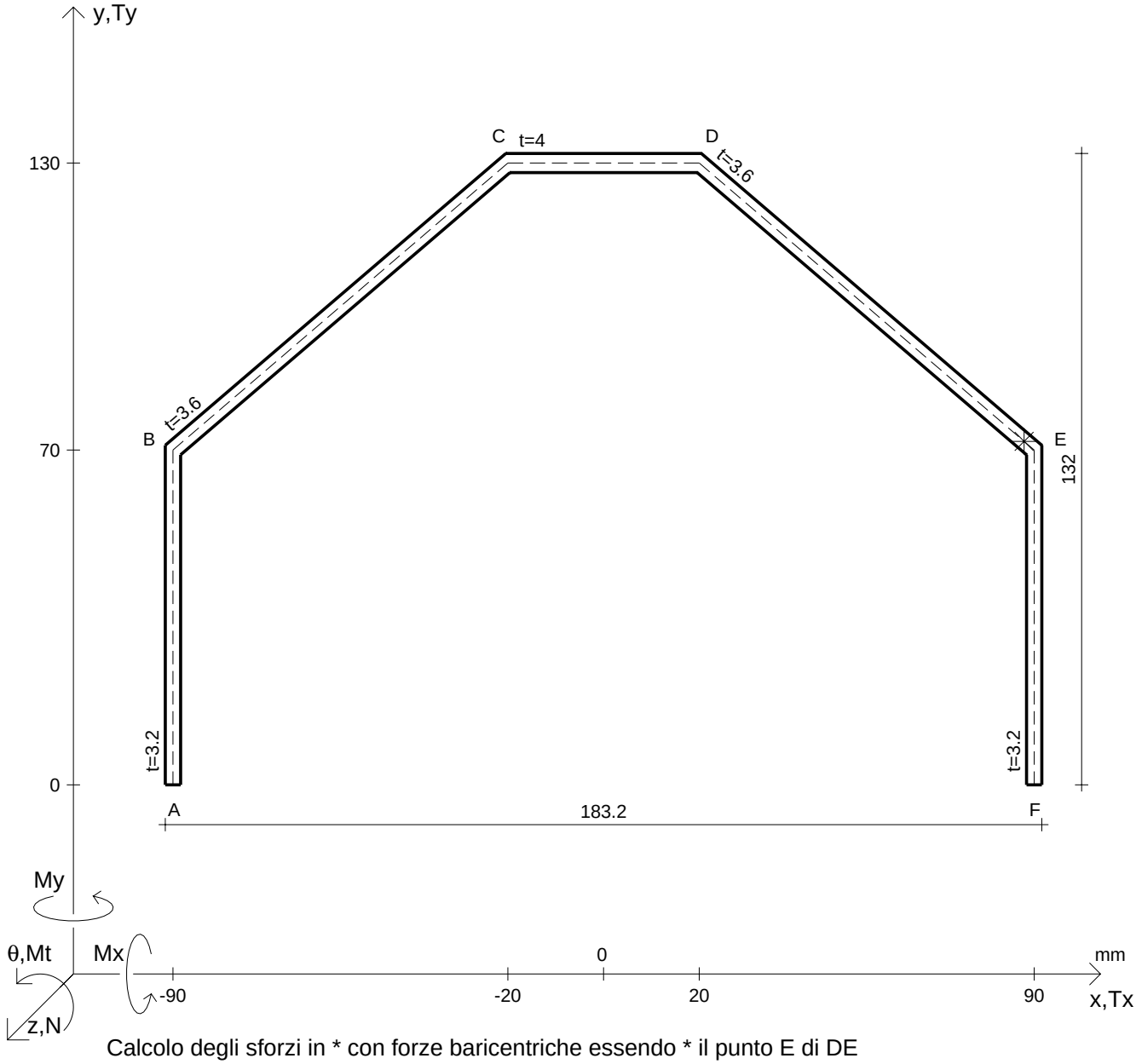


Calcolo degli sforzi in * con forze baricentriche essendo * il punto E di DE
Rappresentare sul foglio, in scala: G, assi u,v, ellisse d'inerzia, C.T.
Rappresentare i cerchi di Mohr
Operare le conclusioni sulla verifica di resistenza in *
Facoltativo: rappresentare l'asse neutro e l'andamento delle tens. normali.
Facoltativo: rappresentare l'andamento delle tens. tangenziali.

| | | | | | |
|---|---|---|---|---|---|
| N | = 69700 N | $M_x$ | = -1910000 Nmm | G | = 73000 N/mm$^2$ |
| $T_y$ | = 43800 N | $\sigma_a$ | = 220 N/mm$^2$ | | |
| $M_t$ | = 81600 Nmm | E | = 200000 N/mm$^2$ | | |
| $y_G$ | = | $\tau(M_t)_d$ | = | $\sigma_{IId}$ | = |
| $u_o$ | = | $\tau(T_{yc})$ | = | $\sigma_{tresca}$ | = |
| $v_o$ | = | $\tau(T_{yb})_d$ | = | $\sigma_{mises}$ | = |
| A | = | $\tau(T_y)_s$ | = | $\sigma_{st.ven}$ | = |
| $S_u^*$ | = | $\tau(T_y)_d$ | = | $\theta_t$ | = |
| $C_w$ | = | $\sigma$ | = | $r_u$ | = |
| $J_u$ | = | $\tau_s$ | = | $r_v$ | = |
| $J_v$ | = | $\tau_d$ | = | $r_o$ | = |
| $J_t$ | = | $\sigma_{Is}$ | = | $J_p$ | = |
| $\sigma(N)$ | = | $\sigma_{IIs}$ | = | | |
| $\sigma(M_x)$ | = | $\sigma_{Id}$ | = | | |

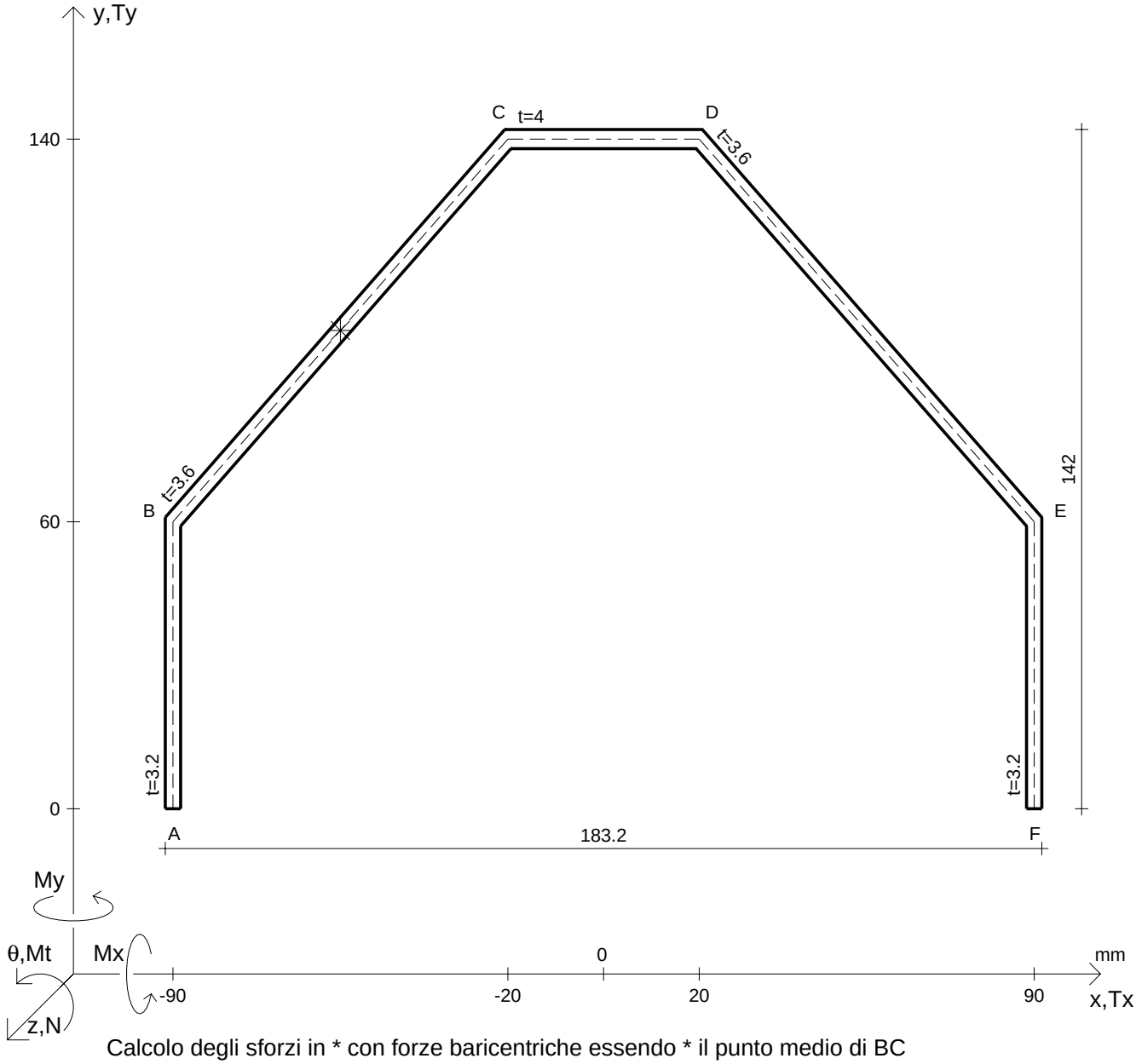


Calcolo degli sforzi in * con forze baricentriche essendo * il punto medio di BC
Rappresentare sul foglio, in scala: G, assi u,v, ellisse d'inerzia, C.T.
Rappresentare i cerchi di Mohr
Operare le conclusioni sulla verifica di resistenza in *
Facoltativo: rappresentare l'asse neutro e l'andamento delle tens. normali.
Facoltativo: rappresentare l'andamento delle tens. tangenziali.

| | | | | | |
|---|---|---|---|---|---|
| $N$ | = 75700 N | $M_x$ | = 2340000 Nmm | $G$ | = 73000 N/mm$^2$ |
| $T_y$ | = 36800 N | $\sigma_a$ | = 220 N/mm$^2$ | | |
| $M_t$ | = 91400 Nmm | $E$ | = 200000 N/mm$^2$ | | |
| $y_G$ | = | $\tau(M_t)_d$ | = | $\sigma_{IId}$ | = |
| $u_o$ | = | $\tau(T_{yc})$ | = | $\sigma_{tresca}$ | = |
| $v_o$ | = | $\tau(T_{yb})_d$ | = | $\sigma_{mises}$ | = |
| $A$ | = | $\tau(T_y)_s$ | = | $\sigma_{st.ven}$ | = |
| $S_u^*$ | = | $\tau(T_y)_d$ | = | $\theta_t$ | = |
| $C_w$ | = | $\sigma$ | = | $r_u$ | = |
| $J_u$ | = | $\tau_s$ | = | $r_v$ | = |
| $J_v$ | = | $\tau_d$ | = | $r_o$ | = |
| $J_t$ | = | $\sigma_{Is}$ | = | $J_p$ | = |
| $\sigma(N)$ | = | $\sigma_{IIs}$ | = | | |
| $\sigma(M_x)$ | = | $\sigma_{Id}$ | = | | |

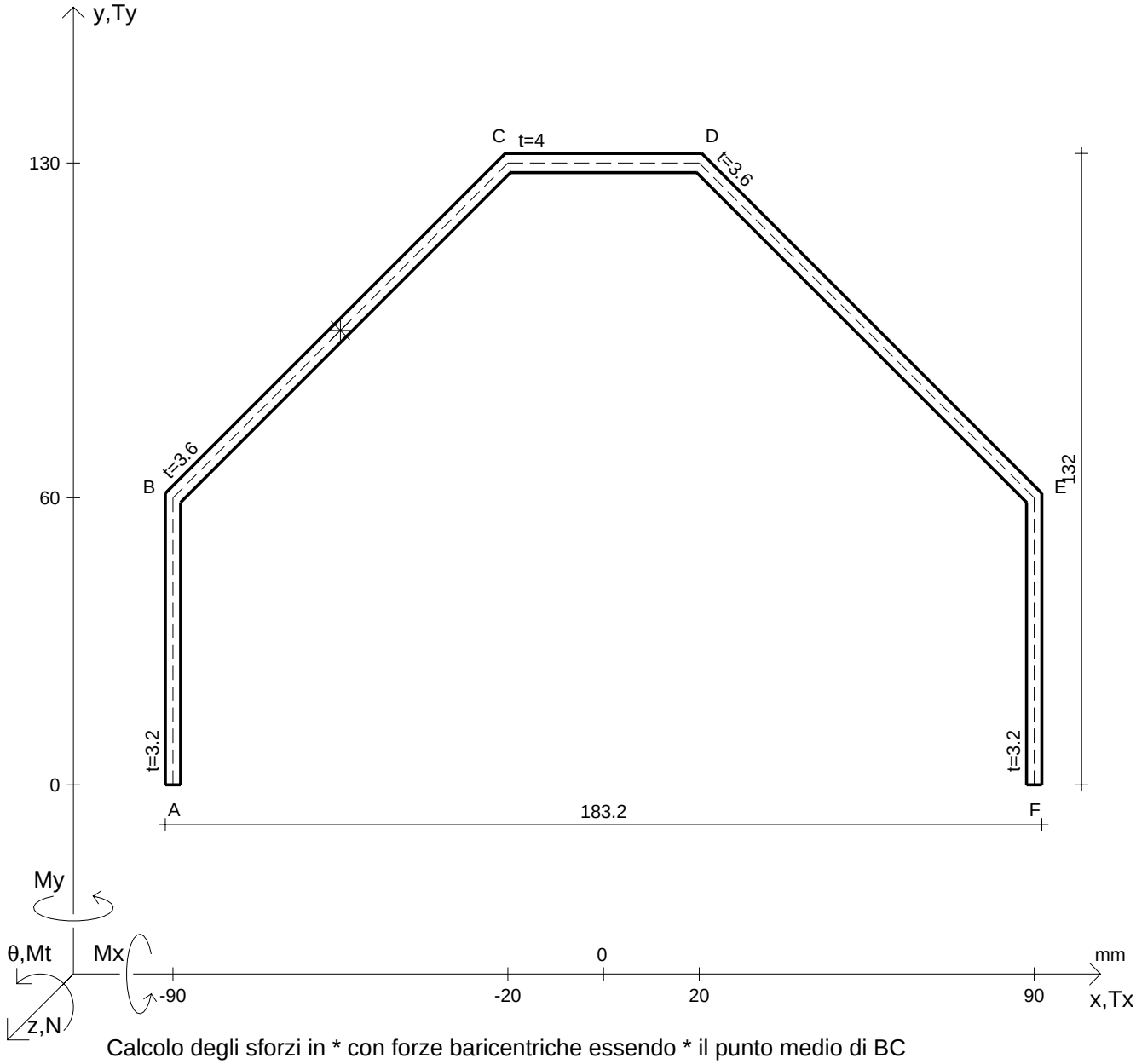


Calcolo degli sforzi in * con forze baricentriche essendo * il punto medio di BC
Rappresentare sul foglio, in scala: G, assi u,v, ellisse d'inerzia, C.T.
Rappresentare i cerchi di Mohr
Operare le conclusioni sulla verifica di resistenza in *
Facoltativo: rappresentare l'asse neutro e l'andamento delle tens. normali.
Facoltativo: rappresentare l'andamento delle tens. tangenziali.

| | | | | | |
|---|---|---|---|---|---|
| N | = 54500 N | $M_x$ | = 2270000 Nmm | G | = 73000 N/mm$^2$ |
| $T_y$ | = 37700 N | $\sigma_a$ | = 220 N/mm$^2$ | | |
| $M_t$ | = 98400 Nmm | E | = 200000 N/mm$^2$ | | |
| $y_G$ | = | $\tau(M_t)_d$ | = | $\sigma_{IId}$ | = |
| $u_o$ | = | $\tau(T_{yc})$ | = | $\sigma_{tresca}$ | = |
| $v_o$ | = | $\tau(T_{yb})_d$ | = | $\sigma_{mises}$ | = |
| A | = | $\tau(T_y)_s$ | = | $\sigma_{st.ven}$ | = |
| $S_u^*$ | = | $\tau(T_y)_d$ | = | $\theta_t$ | = |
| $C_w$ | = | $\sigma$ | = | $r_u$ | = |
| $J_u$ | = | $\tau_s$ | = | $r_v$ | = |
| $J_v$ | = | $\tau_d$ | = | $r_o$ | = |
| $J_t$ | = | $\sigma_{Is}$ | = | $J_p$ | = |
| $\sigma(N)$ | = | $\sigma_{IIs}$ | = | | |
| $\sigma(M_x)$ | = | $\sigma_{Id}$ | = | | |

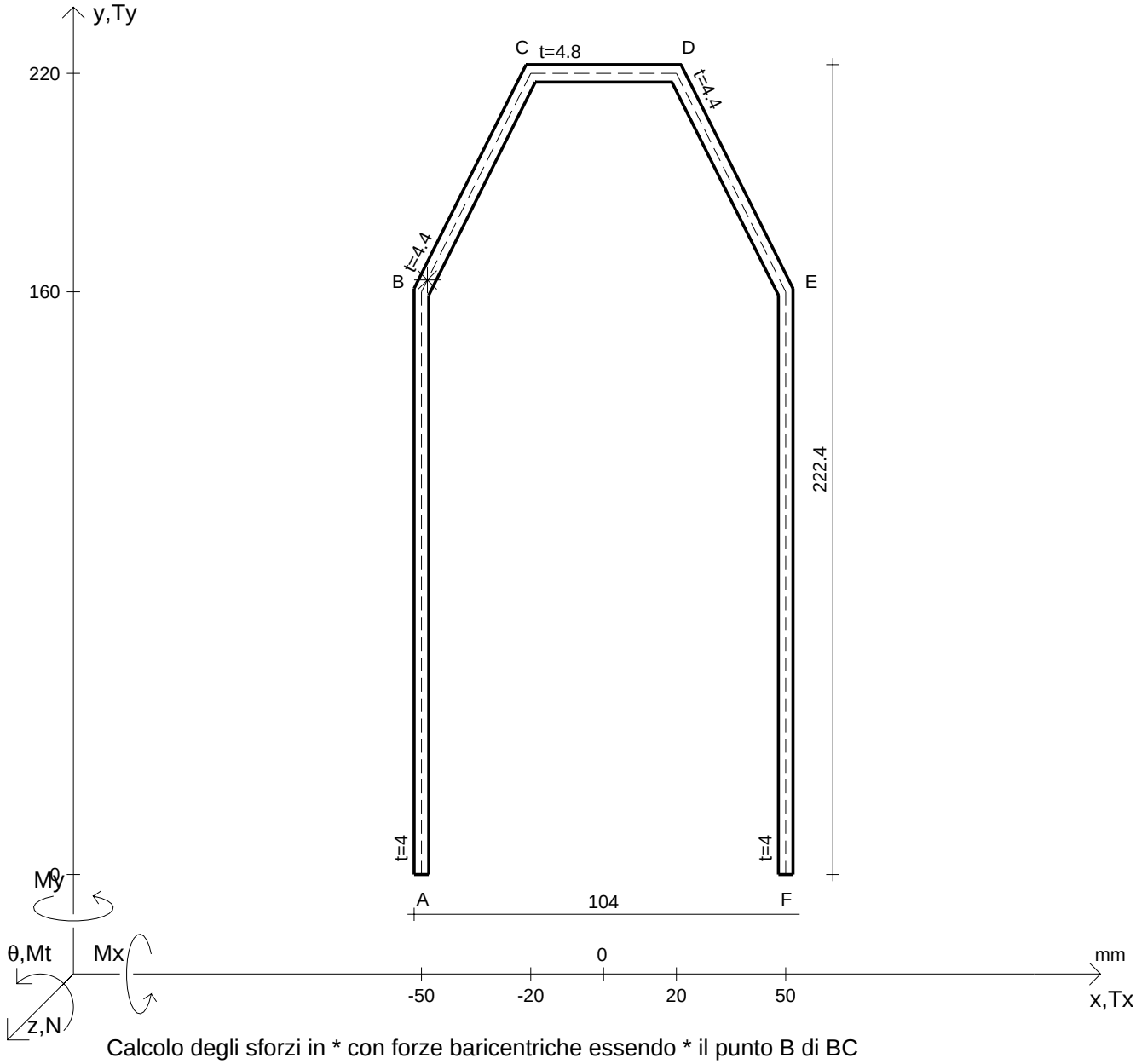


Calcolo degli sforzi in * con forze baricentriche essendo * il punto B di BC
Rappresentare sul foglio, in scala: G, assi u,v, ellisse d'inerzia, C.T.
Rappresentare i cerchi di Mohr
Operare le conclusioni sulla verifica di resistenza in *
Facoltativo: rappresentare l'asse neutro e l'andamento delle tens. normali.
Facoltativo: rappresentare l'andamento delle tens. tangenziali.

| | | | | | |
|---|---|---|---|---|---|
| $N$ | = 98800 N | $M_x$ | = 5350000 Nmm | $G$ | = 73000 N/mm$^2$ |
| $T_y$ | = 86700 N | $\sigma_a$ | = 220 N/mm$^2$ | | |
| $M_t$ | = 204000 Nmm | $E$ | = 200000 N/mm$^2$ | | |
| $y_G$ | = | $\tau(M_t)_d$ | = | $\sigma_{IId}$ | = |
| $u_o$ | = | $\tau(T_{yc})$ | = | $\sigma_{tresca}$ | = |
| $v_o$ | = | $\tau(T_{yb})_d$ | = | $\sigma_{mises}$ | = |
| $A$ | = | $\tau(T_y)_s$ | = | $\sigma_{st.ven}$ | = |
| $S_u^*$ | = | $\tau(T_y)_d$ | = | $\theta_t$ | = |
| $C_w$ | = | $\sigma$ | = | $r_u$ | = |
| $J_u$ | = | $\tau_s$ | = | $r_v$ | = |
| $J_v$ | = | $\tau_d$ | = | $r_o$ | = |
| $J_t$ | = | $\sigma_{Is}$ | = | $J_p$ | = |
| $\sigma(N)$ | = | $\sigma_{IIs}$ | = | | |
| $\sigma(M_x)$ | = | $\sigma_{Id}$ | = | | |

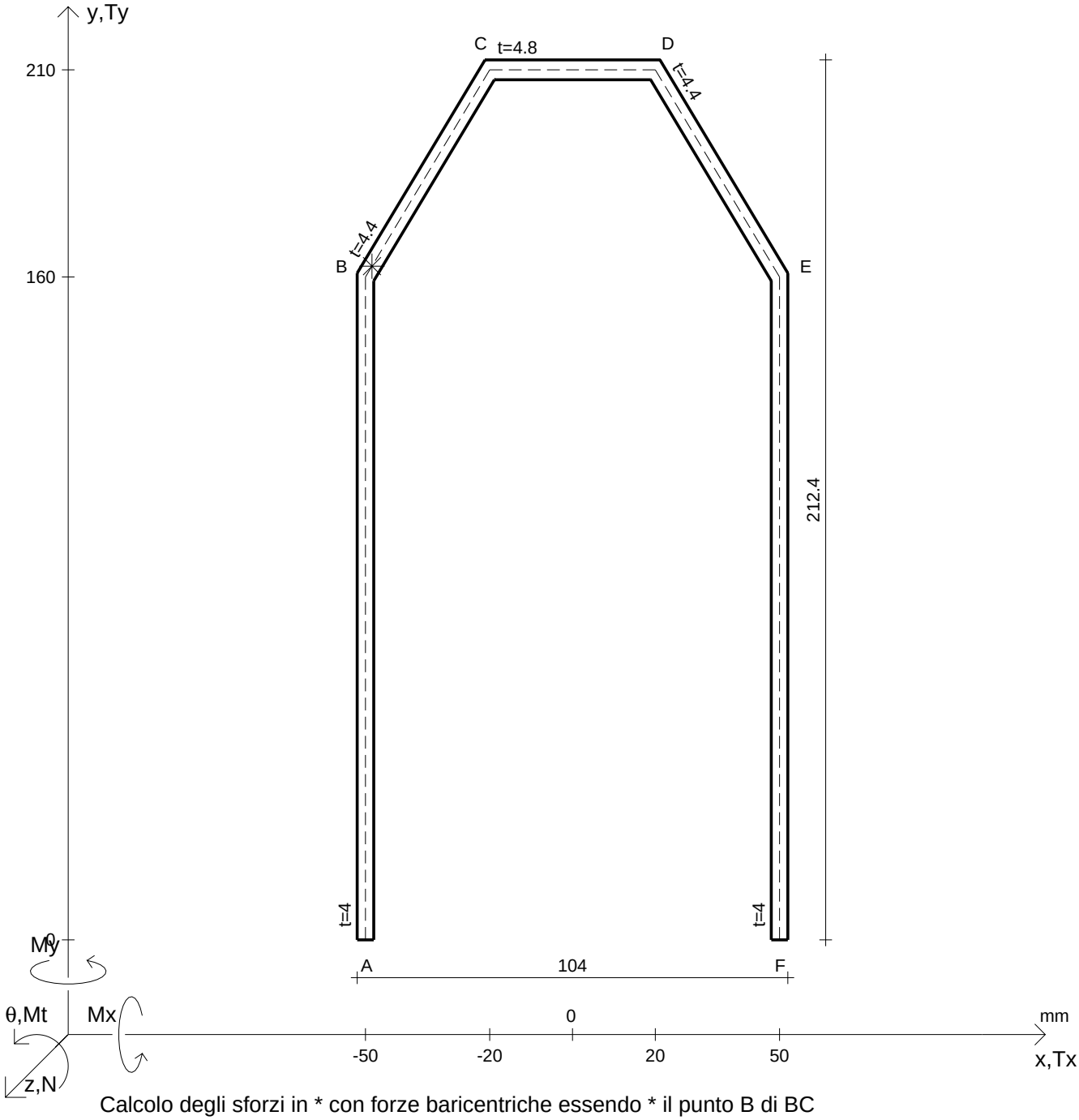


Calcolo degli sforzi in * con forze baricentriche essendo * il punto B di BC
Rappresentare sul foglio, in scala: G, assi u,v, ellisse d'inerzia, C.T.
Rappresentare i cerchi di Mohr
Operare le conclusioni sulla verifica di resistenza in *
Facoltativo: rappresentare l'asse neutro e l'andamento delle tens. normali.
Facoltativo: rappresentare l'andamento delle tens. tangenziali.

| | | | | | | | |
|---|---|---|---|---|---|---|---|
| N | = 104000 N | $M_t$ | = 144000 Nmm | $\sigma_a$ | = 220 N/mm$^2$ | G | = 73000 N/mm$^2$ |
| $T_y$ | = 93400 N | $M_x$ | = 5480000 Nmm | E | = 200000 N/mm$^2$ | | |
| $y_G$ | = | $J_t$ | = | $\sigma$ | = | $\sigma_{mises}$ | = |
| $u_o$ | = | $\sigma(N)$ | = | $\tau_s$ | = | $\sigma_{st.ven}$ | = |
| $v_o$ | = | $\sigma(M_x)$ | = | $\tau_d$ | = | $\theta_t$ | = |
| $A^*$ | = | $\tau(M_t)_d$ | = | $\sigma_{Is}$ | = | $r_u$ | = |
| $S_u^*$ | = | $\tau(T_{yc})$ | = | $\sigma_{IIs}$ | = | $r_v$ | = |
| $C_w$ | = | $\tau(T_{yb})_d$ | = | $\sigma_{Id}$ | = | $r_o$ | = |
| $J_u$ | = | $\tau(T_y)_s$ | = | $\sigma_{IId}$ | = | $J_p$ | = |
| $J_v$ | = | $\tau(T_y)_d$ | = | $\sigma_{tresca}$ | = | | |

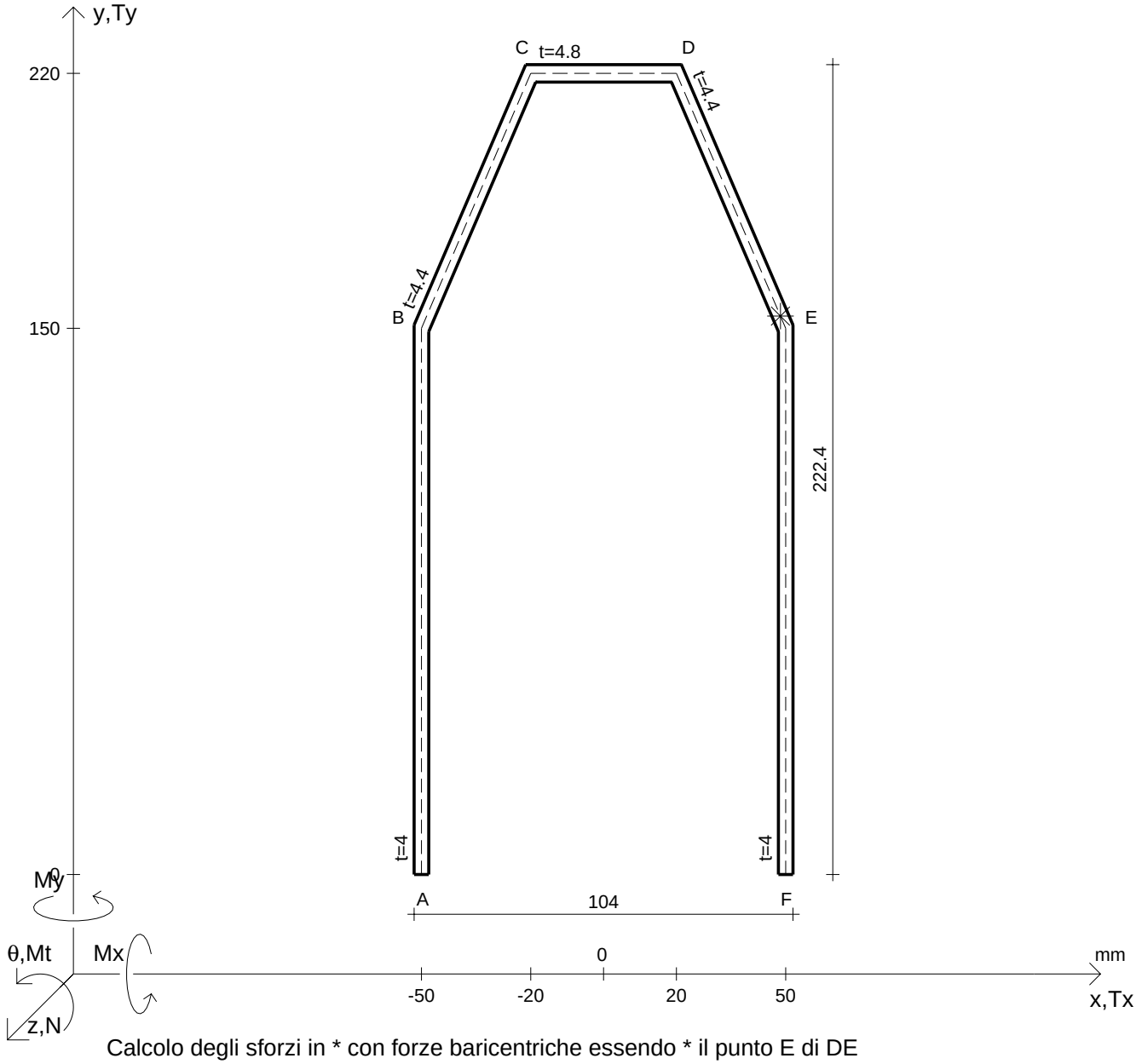


Calcolo degli sforzi in * con forze baricentriche essendo * il punto E di DE
Rappresentare sul foglio, in scala: G, assi u,v, ellisse d'inerzia, C.T.
Rappresentare i cerchi di Mohr
Operare le conclusioni sulla verifica di resistenza in *
Facoltativo: rappresentare l'asse neutro e l'andamento delle tens. normali.
Facoltativo: rappresentare l'andamento delle tens. tangenziali.

| | | | | | |
|---|---|---|---|---|---|
| N | = 120000 N | $M_x$ | = 6650000 Nmm | G | = 73000 N/mm$^2$ |
| $T_y$ | = 67900 N | $\sigma_a$ | = 220 N/mm$^2$ | | |
| $M_t$ | = 172000 Nmm | E | = 200000 N/mm$^2$ | | |
| $y_G$ | = | $\tau(M_t)_d$ | = | $\sigma_{IId}$ | = |
| $u_o$ | = | $\tau(T_{yc})$ | = | $\sigma_{tresca}$ | = |
| $v_o$ | = | $\tau(T_{yb})_d$ | = | $\sigma_{mises}$ | = |
| A | = | $\tau(T_y)_s$ | = | $\sigma_{st.ven}$ | = |
| $S_u^*$ | = | $\tau(T_y)_d$ | = | $\theta_t$ | = |
| $C_w$ | = | $\sigma$ | = | $r_u$ | = |
| $J_u$ | = | $\tau_s$ | = | $r_v$ | = |
| $J_v$ | = | $\tau_d$ | = | $r_o$ | = |
| $J_t$ | = | $\sigma_{Is}$ | = | $J_p$ | = |
| $\sigma(N)$ | = | $\sigma_{IIs}$ | = | | |
| $\sigma(M_x)$ | = | $\sigma_{Id}$ | = | | |

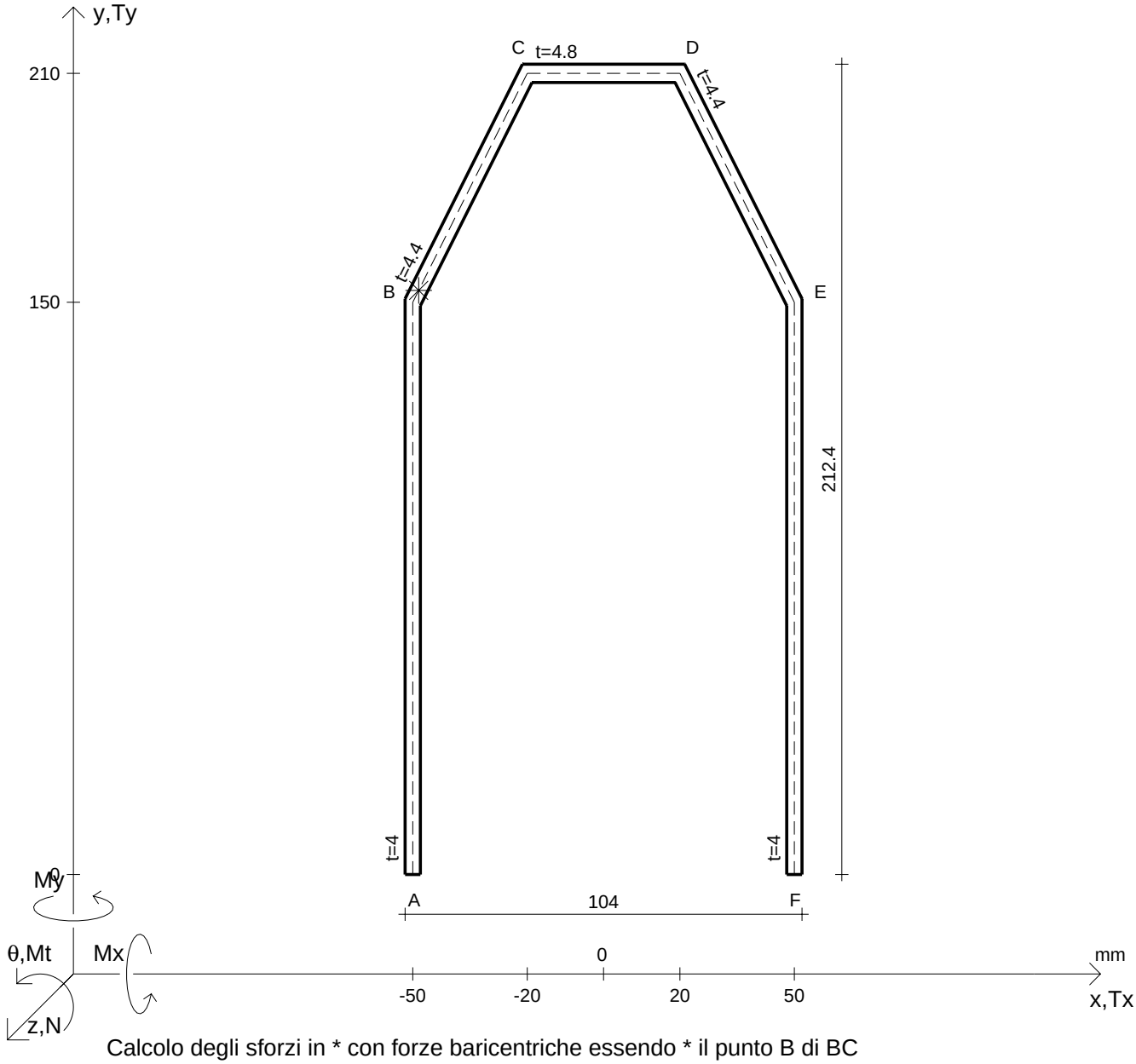


Calcolo degli sforzi in * con forze baricentriche essendo * il punto B di BC
Rappresentare sul foglio, in scala: G, assi u,v, ellisse d'inerzia, C.T.
Rappresentare i cerchi di Mohr
Operare le conclusioni sulla verifica di resistenza in *
Facoltativo: rappresentare l'asse neutro e l'andamento delle tens. normali.
Facoltativo: rappresentare l'andamento delle tens. tangenziali.

| | | | | | |
|---|---|---|---|---|---|
| N | = 85200 N | $M_x$ | = 6650000 Nmm | G | = 73000 N/mm$^2$ |
| $T_y$ | = 74000 N | $\sigma_a$ | = 220 N/mm$^2$ | | |
| $M_t$ | = 181000 Nmm | E | = 200000 N/mm$^2$ | | |
| $y_G$ | = | $\tau(M_t)_d$ | = | $\sigma_{IId}$ | = |
| $u_o$ | = | $\tau(T_{yc})$ | = | $\sigma_{tresca}$ | = |
| $v_o$ | = | $\tau(T_{yb})_d$ | = | $\sigma_{mises}$ | = |
| A | = | $\tau(T_y)_s$ | = | $\sigma_{st.ven}$ | = |
| $S_u^*$ | = | $\tau(T_y)_d$ | = | $\theta_t$ | = |
| $C_w$ | = | $\sigma$ | = | $r_u$ | = |
| $J_u$ | = | $\tau_s$ | = | $r_v$ | = |
| $J_v$ | = | $\tau_d$ | = | $r_o$ | = |
| $J_t$ | = | $\sigma_{Is}$ | = | $J_p$ | = |
| $\sigma(N)$ | = | $\sigma_{IIs}$ | = | | |
| $\sigma(M_x)$ | = | $\sigma_{Id}$ | = | | |

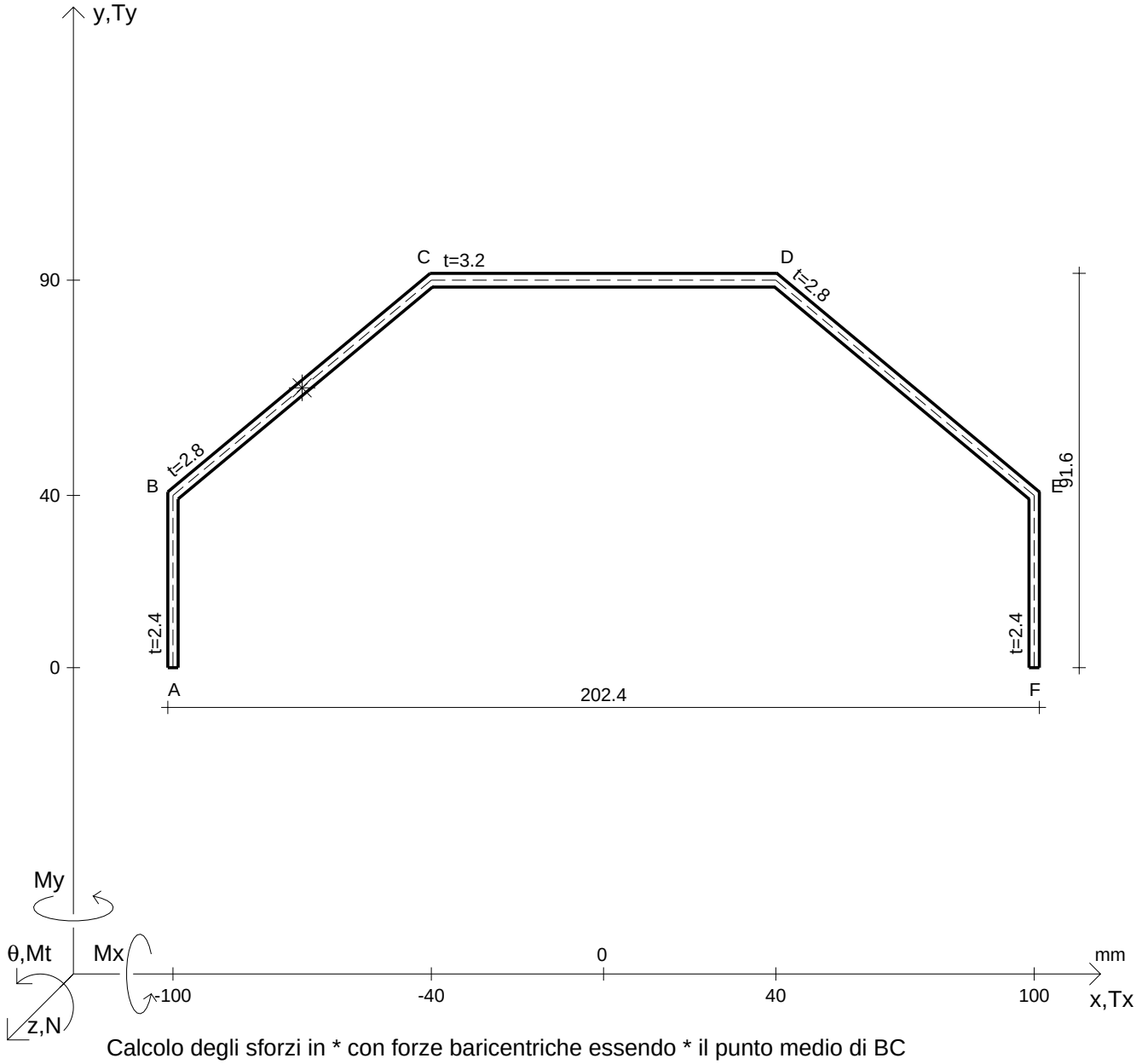


Calcolo degli sforzi in * con forze baricentriche essendo * il punto medio di BC
Rappresentare sul foglio, in scala: G, assi u,v, ellisse d'inerzia, C.T.
Rappresentare i cerchi di Mohr
Operare le conclusioni sulla verifica di resistenza in *
Facoltativo: rappresentare l'asse neutro e l'andamento delle tens. normali.
Facoltativo: rappresentare l'andamento delle tens. tangenziali.

| | | | | | |
|---|---|---|---|---|---|
| $N$ | = 42700 N | $M_x$ | = 729000 Nmm | $G$ | = 73000 N/mm$^2$ |
| $T_y$ | = 22800 N | $\sigma_a$ | = 220 N/mm$^2$ | | |
| $M_t$ | = 60900 Nmm | $E$ | = 200000 N/mm$^2$ | | |
| $y_G$ | = | $\tau(M_t)_d$ | = | $\sigma_{IId}$ | = |
| $u_o$ | = | $\tau(T_{yc})$ | = | $\sigma_{tresca}$ | = |
| $v_o$ | = | $\tau(T_{yb})_d$ | = | $\sigma_{mises}$ | = |
| $A$ | = | $\tau(T_y)_s$ | = | $\sigma_{st.ven}$ | = |
| $S_u^*$ | = | $\tau(T_y)_d$ | = | $\theta_t$ | = |
| $C_w$ | = | $\sigma$ | = | $r_u$ | = |
| $J_u$ | = | $\tau_s$ | = | $r_v$ | = |
| $J_v$ | = | $\tau_d$ | = | $r_o$ | = |
| $J_t$ | = | $\sigma_{Is}$ | = | $J_p$ | = |
| $\sigma(N)$ | = | $\sigma_{IIs}$ | = | | |
| $\sigma(M_x)$ | = | $\sigma_{Id}$ | = | | |

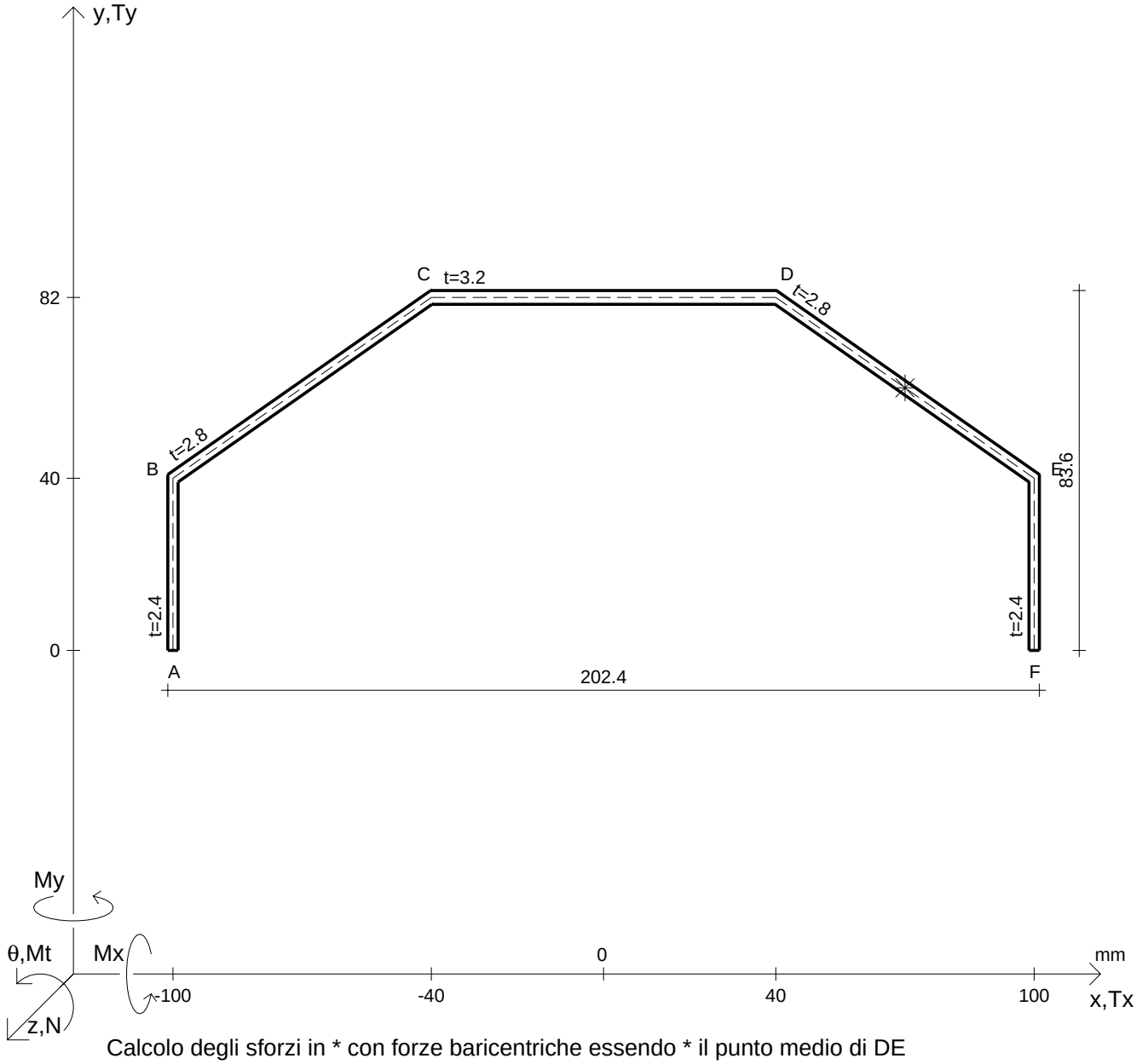


Calcolo degli sforzi in * con forze baricentriche essendo * il punto medio di DE
Rappresentare sul foglio, in scala: G, assi u,v, ellisse d'inerzia, C.T.
Rappresentare i cerchi di Mohr
Operare le conclusioni sulla verifica di resistenza in *
Facoltativo: rappresentare l'asse neutro e l'andamento delle tens. normali.
Facoltativo: rappresentare l'andamento delle tens. tangenziali.

| | | | | | |
|---|---|---|---|---|---|
| $N$ | = 45700 N | $M_x$ | = 682000 Nmm | $G$ | = 73000 N/mm$^2$ |
| $T_y$ | = 22700 N | $\sigma_a$ | = 220 N/mm$^2$ | | |
| $M_t$ | = 43600 Nmm | $E$ | = 200000 N/mm$^2$ | | |
| $y_G$ | = | $\tau(M_t)_d$ | = | $\sigma_{IId}$ | = |
| $u_o$ | = | $\tau(T_{yc})$ | = | $\sigma_{tresca}$ | = |
| $v_o$ | = | $\tau(T_{yb})_d$ | = | $\sigma_{mises}$ | = |
| $A$ | = | $\tau(T_y)_s$ | = | $\sigma_{st.ven}$ | = |
| $S_u^*$ | = | $\tau(T_y)_d$ | = | $\theta_t$ | = |
| $C_w$ | = | $\sigma$ | = | $r_u$ | = |
| $J_u$ | = | $\tau_s$ | = | $r_v$ | = |
| $J_v$ | = | $\tau_d$ | = | $r_o$ | = |
| $J_t$ | = | $\sigma_{Is}$ | = | $J_p$ | = |
| $\sigma(N)$ | = | $\sigma_{IIs}$ | = | | |
| $\sigma(M_x)$ | = | $\sigma_{Id}$ | = | | |

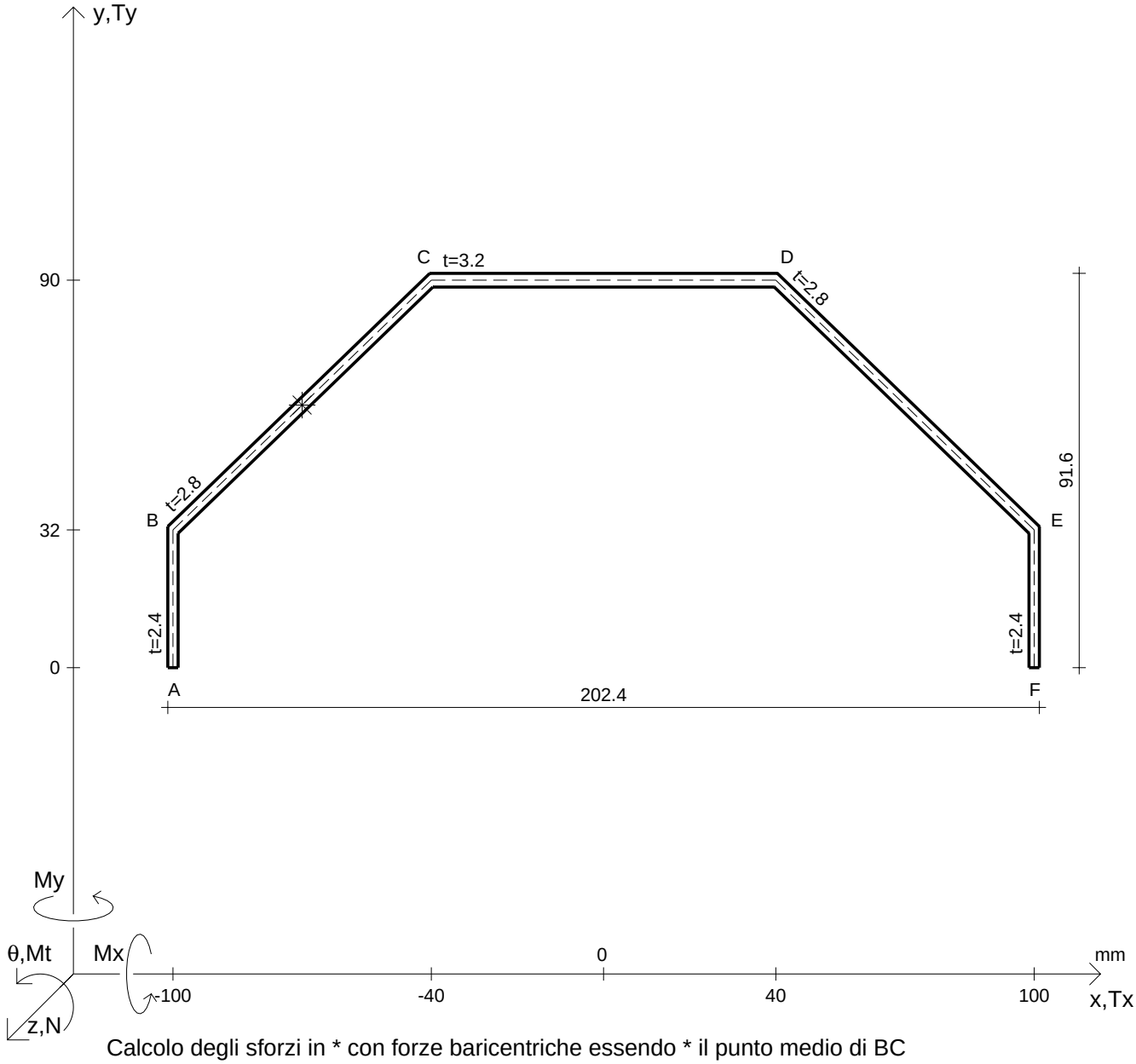


Calcolo degli sforzi in * con forze baricentriche essendo * il punto medio di BC
Rappresentare sul foglio, in scala: G, assi u,v, ellisse d'inerzia, C.T.
Rappresentare i cerchi di Mohr
Operare le conclusioni sulla verifica di resistenza in *
Facoltativo: rappresentare l'asse neutro e l'andamento delle tens. normali.
Facoltativo: rappresentare l'andamento delle tens. tangenziali.

| | | | | | |
|---|---|---|---|---|---|
| $N$ | = 51300 N | $M_x$ | = -930000 Nmm | $G$ | = 73000 N/mm$^2$ |
| $T_y$ | = 18500 N | $\sigma_a$ | = 220 N/mm$^2$ | | |
| $M_t$ | = 50500 Nmm | $E$ | = 200000 N/mm$^2$ | | |
| $y_G$ | = | $\tau(M_t)_d$ | = | $\sigma_{IId}$ | = |
| $u_o$ | = | $\tau(T_{yc})$ | = | $\sigma_{tresca}$ | = |
| $v_o$ | = | $\tau(T_{yb})_d$ | = | $\sigma_{mises}$ | = |
| $A$ | = | $\tau(T_y)_s$ | = | $\sigma_{st.ven}$ | = |
| $S_u^*$ | = | $\tau(T_y)_d$ | = | $\theta_t$ | = |
| $C_w$ | = | $\sigma$ | = | $r_u$ | = |
| $J_u$ | = | $\tau_s$ | = | $r_v$ | = |
| $J_v$ | = | $\tau_d$ | = | $r_o$ | = |
| $J_t$ | = | $\sigma_{Is}$ | = | $J_p$ | = |
| $\sigma(N)$ | = | $\sigma_{IIs}$ | = | | |
| $\sigma(M_x)$ | = | $\sigma_{Id}$ | = | | |

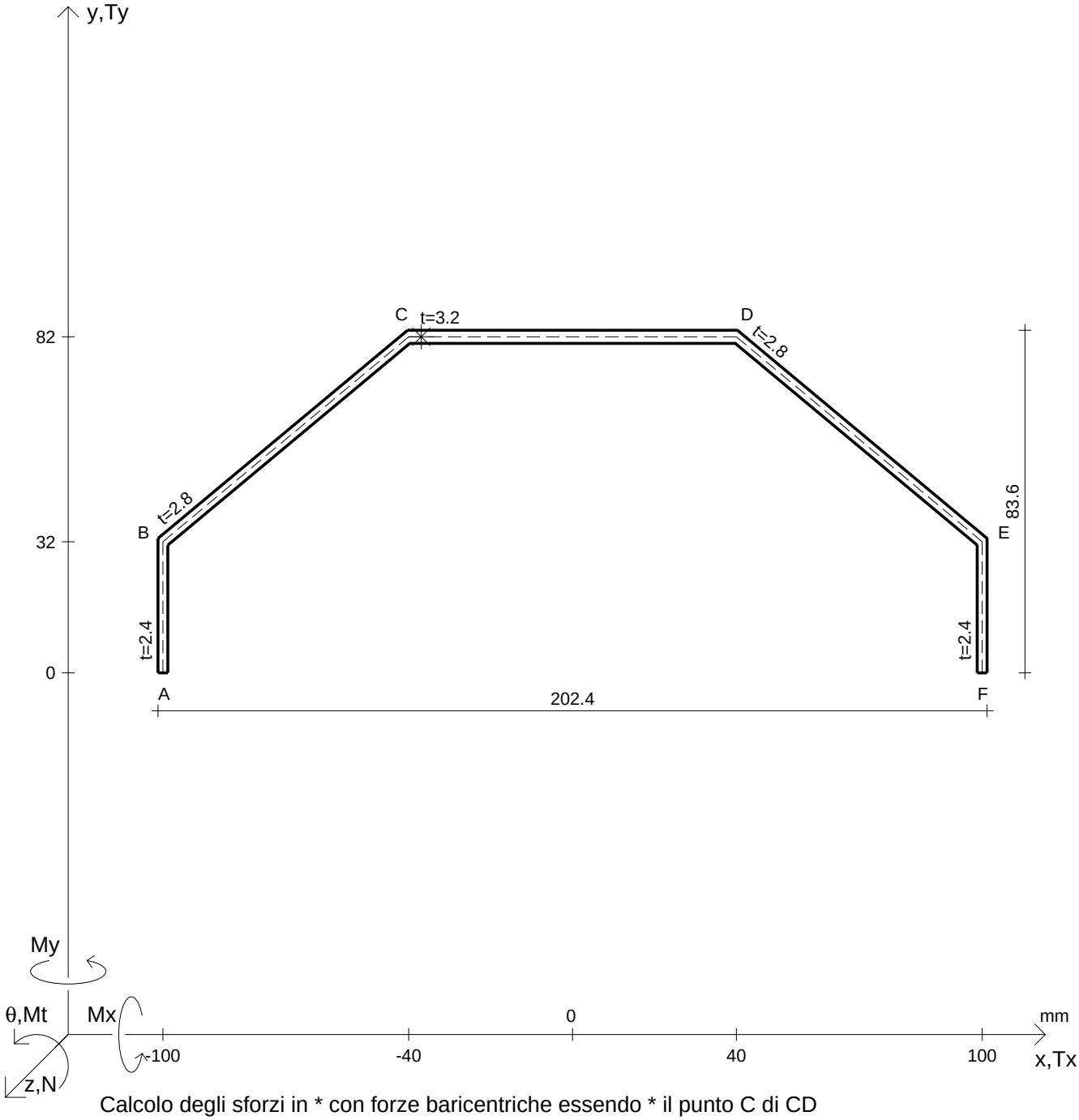


Calcolo degli sforzi in * con forze baricentriche essendo * il punto C di CD
Rappresentare sul foglio, in scala: G, assi u,v, ellisse d'inerzia, C.T.
Rappresentare i cerchi di Mohr
Operare le conclusioni sulla verifica di resistenza in *
Facoltativo: rappresentare l'asse neutro e l'andamento delle tens. normali.
Facoltativo: rappresentare l'andamento delle tens. tangenziali.

| | | | | | | | |
|---|---|---|---|---|---|---|---|
| N | = 38900 N | $M_t$ | = 57300 Nmm | $\sigma_a$ | = 220 N/mm$^2$ | G | = 73000 N/mm$^2$ |
| $T_y$ | = 19800 N | $M_x$ | = 909000 Nmm | E | = 200000 N/mm$^2$ | | |
| $y_G$ | = | $J_t$ | = | $\sigma$ | = | $\sigma_{mises}$ | = |
| $u_o$ | = | $\sigma(N)$ | = | $\tau_s$ | = | $\sigma_{st.ven}$ | = |
| $v_o$ | = | $\sigma(M_x)$ | = | $\tau_d$ | = | $\theta_t$ | = |
| $A^*$ | = | $\tau(M_t)_d$ | = | $\sigma_{Is}$ | = | $r_u$ | = |
| $S_u^*$ | = | $\tau(T_{yc})$ | = | $\sigma_{IIs}$ | = | $r_v$ | = |
| $C_w$ | = | $\tau(T_{yb})_d$ | = | $\sigma_{Id}$ | = | $r_o$ | = |
| $J_u$ | = | $\tau(T_y)_s$ | = | $\sigma_{IId}$ | = | $J_p$ | = |
| $J_v$ | = | $\tau(T_y)_d$ | = | $\sigma_{tresca}$ | = | | |

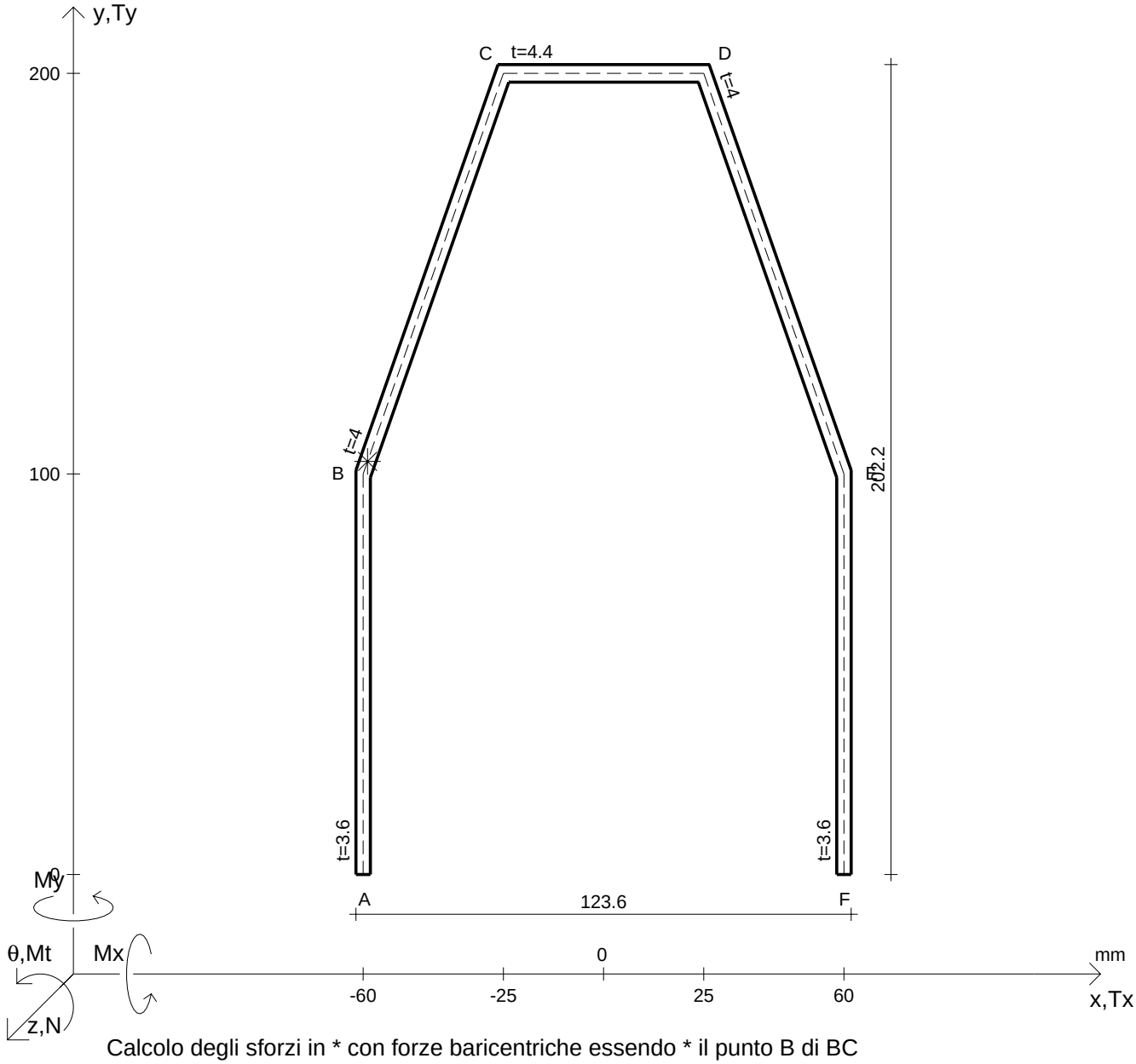


Calcolo degli sforzi in * con forze baricentriche essendo * il punto B di BC
Rappresentare sul foglio, in scala: G, assi u,v, ellisse d'inerzia, C.T.
Rappresentare i cerchi di Mohr
Operare le conclusioni sulla verifica di resistenza in *
Facoltativo: rappresentare l'asse neutro e l'andamento delle tens. normali.
Facoltativo: rappresentare l'andamento delle tens. tangenziali.

| | | | | | |
|---|---|---|---|---|---|
| N | = 87800 N | $M_x$ | = -4230000 Nmm | G | = 73000 N/mm$^2$ |
| $T_y$ | = 68900 N | $\sigma_a$ | = 220 N/mm$^2$ | | |
| $M_t$ | = 171000 Nmm | E | = 200000 N/mm$^2$ | | |
| $y_G$ | = | $\tau(M_t)_d$ | = | $\sigma_{IId}$ | = |
| $u_o$ | = | $\tau(T_{yc})$ | = | $\sigma_{tresca}$ | = |
| $v_o$ | = | $\tau(T_{yb})_d$ | = | $\sigma_{mises}$ | = |
| A | = | $\tau(T_y)_s$ | = | $\sigma_{st.ven}$ | = |
| $S_u^*$ | = | $\tau(T_y)_d$ | = | $\theta_t$ | = |
| $C_w$ | = | $\sigma$ | = | $r_u$ | = |
| $J_u$ | = | $\tau_s$ | = | $r_v$ | = |
| $J_v$ | = | $\tau_d$ | = | $r_o$ | = |
| $J_t$ | = | $\sigma_{Is}$ | = | $J_p$ | = |
| $\sigma(N)$ | = | $\sigma_{IIs}$ | = | | |
| $\sigma(M_x)$ | = | $\sigma_{Id}$ | = | | |

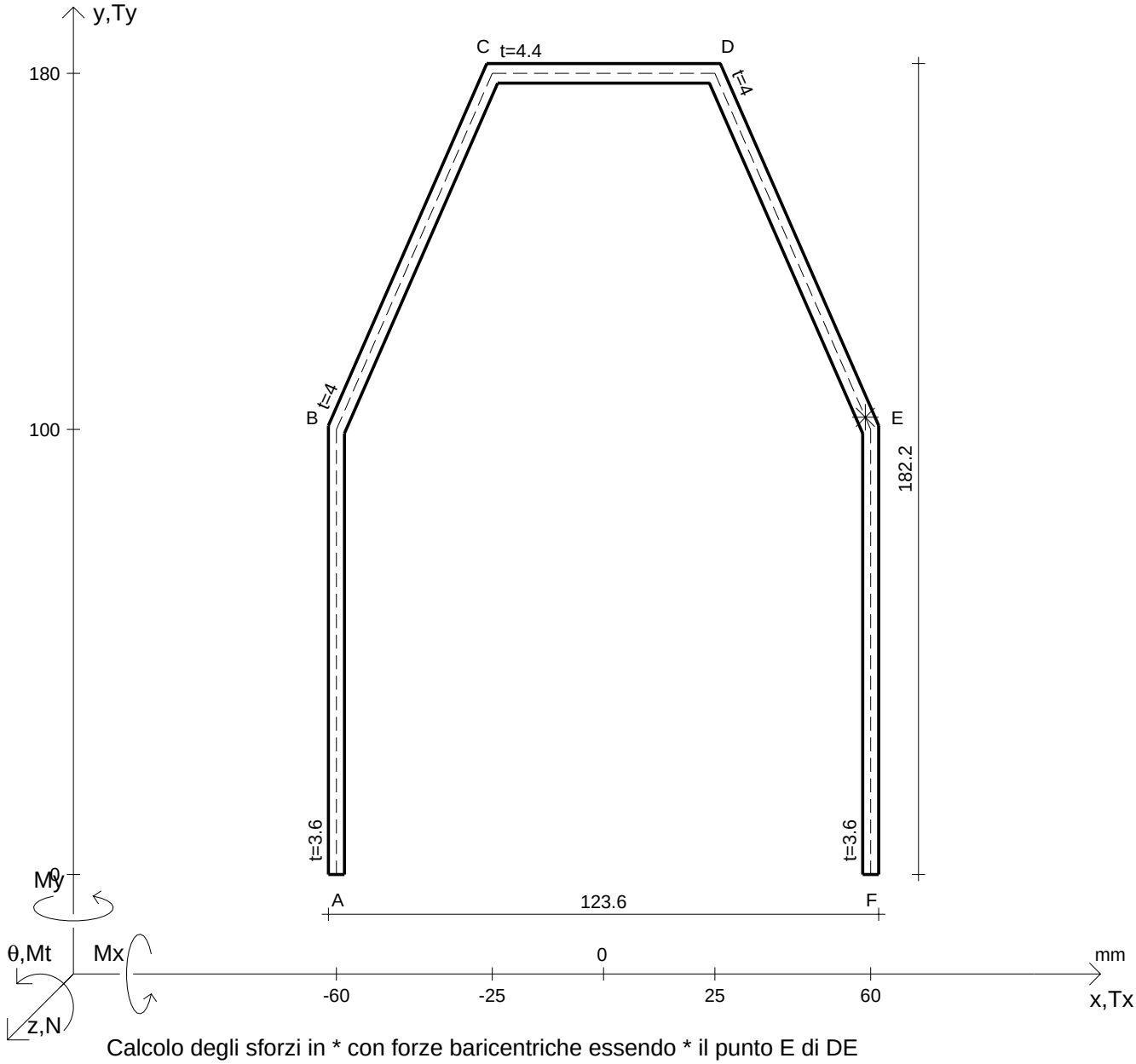


Calcolo degli sforzi in * con forze baricentriche essendo * il punto E di DE
Rappresentare sul foglio, in scala: G, assi u,v, ellisse d'inerzia, C.T.
Rappresentare i cerchi di Mohr
Operare le conclusioni sulla verifica di resistenza in *
Facoltativo: rappresentare l'asse neutro e l'andamento delle tens. normali.
Facoltativo: rappresentare l'andamento delle tens. tangenziali.

| | | | | | |
|---|---|---|---|---|---|
| N | = 89700 N | $M_x$ | = -3920000 Nmm | G | = 73000 N/mm$^2$ |
| $T_y$ | = 67600 N | $\sigma_a$ | = 220 N/mm$^2$ | | |
| $M_t$ | = 116000 Nmm | E | = 200000 N/mm$^2$ | | |
| $y_G$ | = | $\tau(M_t)_d$ | = | $\sigma_{IId}$ | = |
| $u_o$ | = | $\tau(T_{yc})$ | = | $\sigma_{tresca}$ | = |
| $v_o$ | = | $\tau(T_{yb})_d$ | = | $\sigma_{mises}$ | = |
| A | = | $\tau(T_y)_s$ | = | $\sigma_{st.ven}$ | = |
| $S_u^*$ | = | $\tau(T_y)_d$ | = | $\theta_t$ | = |
| $C_w$ | = | $\sigma$ | = | $r_u$ | = |
| $J_u$ | = | $\tau_s$ | = | $r_v$ | = |
| $J_v$ | = | $\tau_d$ | = | $r_o$ | = |
| $J_t$ | = | $\sigma_{Is}$ | = | $J_p$ | = |
| $\sigma(N)$ | = | $\sigma_{IIs}$ | = | | |
| $\sigma(M_x)$ | = | $\sigma_{Id}$ | = | | |

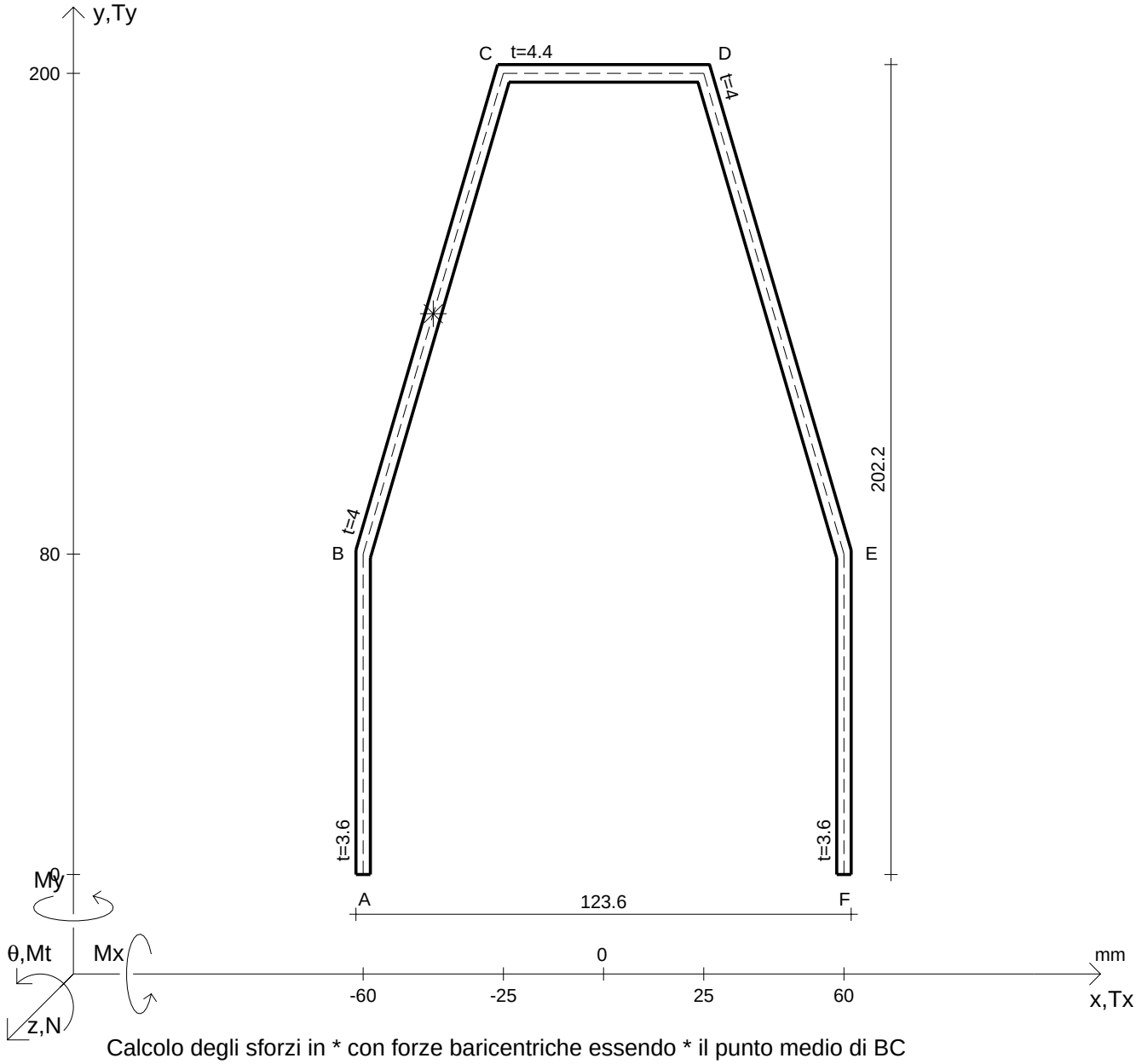


Calcolo degli sforzi in * con forze baricentriche essendo * il punto medio di BC
Rappresentare sul foglio, in scala: G, assi u,v, ellisse d'inerzia, C.T.
Rappresentare i cerchi di Mohr
Operare le conclusioni sulla verifica di resistenza in *
Facoltativo: rappresentare l'asse neutro e l'andamento delle tens. normali.
Facoltativo: rappresentare l'andamento delle tens. tangenziali.

| | | | | | |
|---|---|---|---|---|---|
| N | = 103000 N | $M_x$ | = 5070000 Nmm | G | = 73000 N/mm$^2$ |
| $T_y$ | = 58900 N | $\sigma_a$ | = 220 N/mm$^2$ | | |
| $M_t$ | = 139000 Nmm | E | = 200000 N/mm$^2$ | | |
| $y_G$ | = | $\tau(M_t)_d$ | = | $\sigma_{IId}$ | = |
| $u_o$ | = | $\tau(T_{yc})$ | = | $\sigma_{tresca}$ | = |
| $v_o$ | = | $\tau(T_{yb})_d$ | = | $\sigma_{mises}$ | = |
| A | = | $\tau(T_y)_s$ | = | $\sigma_{st.ven}$ | = |
| $S_u^*$ | = | $\tau(T_y)_d$ | = | $\theta_t$ | = |
| $C_w$ | = | $\sigma$ | = | $r_u$ | = |
| $J_u$ | = | $\tau_s$ | = | $r_v$ | = |
| $J_v$ | = | $\tau_d$ | = | $r_o$ | = |
| $J_t$ | = | $\sigma_{Is}$ | = | $J_p$ | = |
| $\sigma(N)$ | = | $\sigma_{IIs}$ | = | | |
| $\sigma(M_x)$ | = | $\sigma_{Id}$ | = | | |

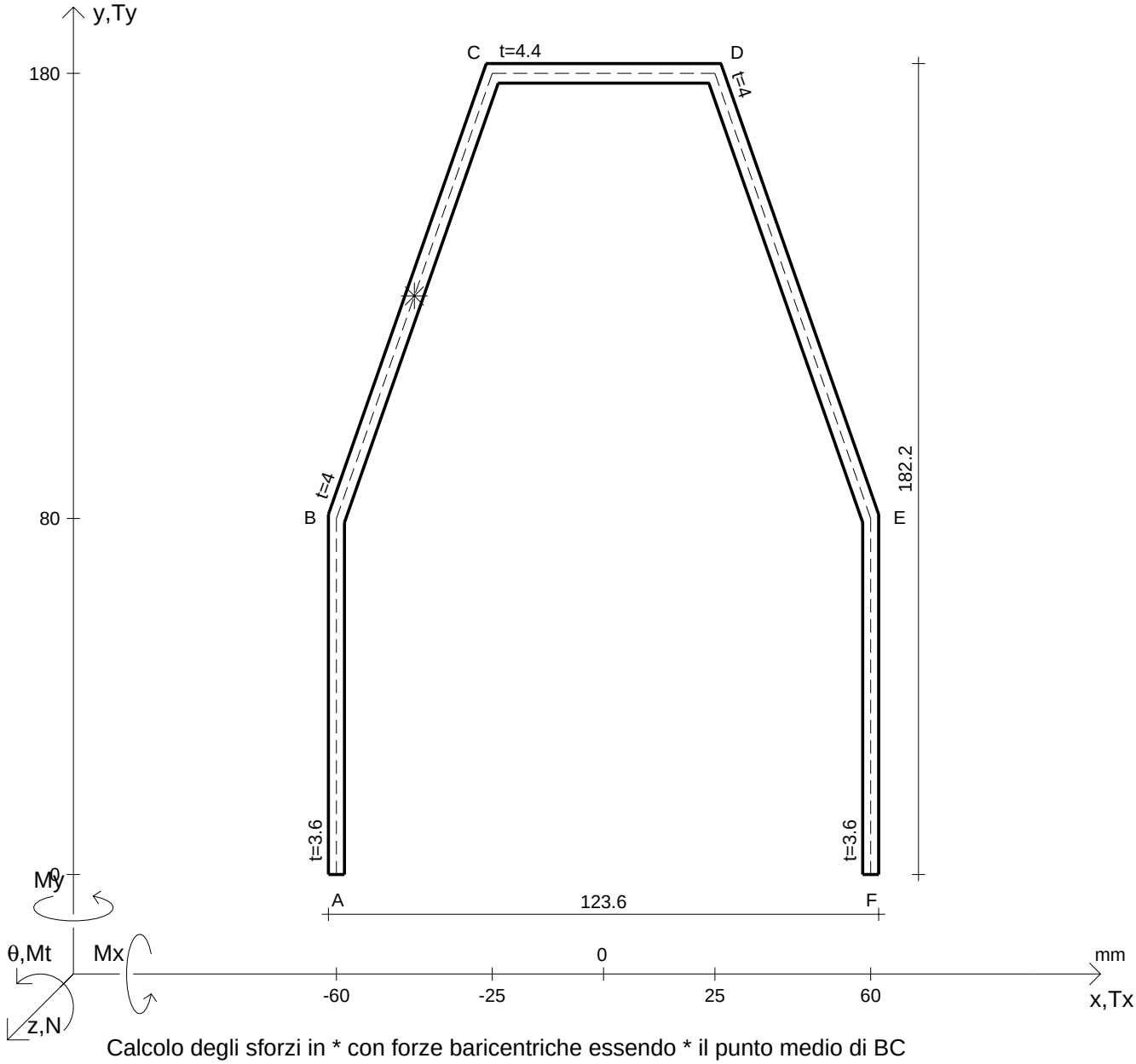


Calcolo degli sforzi in * con forze baricentriche essendo * il punto medio di BC
Rappresentare sul foglio, in scala: G, assi u,v, ellisse d'inerzia, C.T.
Rappresentare i cerchi di Mohr
Operare le conclusioni sulla verifica di resistenza in *
Facoltativo: rappresentare l'asse neutro e l'andamento delle tens. normali.
Facoltativo: rappresentare l'andamento delle tens. tangenziali.

| | | | | | |
|---|---|---|---|---|---|
| N | = 71300 N | $M_x$ | = 4660000 Nmm | G | = 73000 N/mm$^2$ |
| $T_y$ | = 58200 N | $\sigma_a$ | = 220 N/mm$^2$ | | |
| $M_t$ | = 143000 Nmm | E | = 200000 N/mm$^2$ | | |
| $y_G$ | = | $\tau(M_t)_d$ | = | $\sigma_{IId}$ | = |
| $u_o$ | = | $\tau(T_{yc})$ | = | $\sigma_{tresca}$ | = |
| $v_o$ | = | $\tau(T_{yb})_d$ | = | $\sigma_{mises}$ | = |
| A | = | $\tau(T_y)_s$ | = | $\sigma_{st.ven}$ | = |
| $S_u^*$ | = | $\tau(T_y)_d$ | = | $\theta_t$ | = |
| $C_w$ | = | $\sigma$ | = | $r_u$ | = |
| $J_u$ | = | $\tau_s$ | = | $r_v$ | = |
| $J_v$ | = | $\tau_d$ | = | $r_o$ | = |
| $J_t$ | = | $\sigma_{Is}$ | = | $J_p$ | = |
| $\sigma(N)$ | = | $\sigma_{IIs}$ | = | | |
| $\sigma(M_x)$ | = | $\sigma_{Id}$ | = | | |

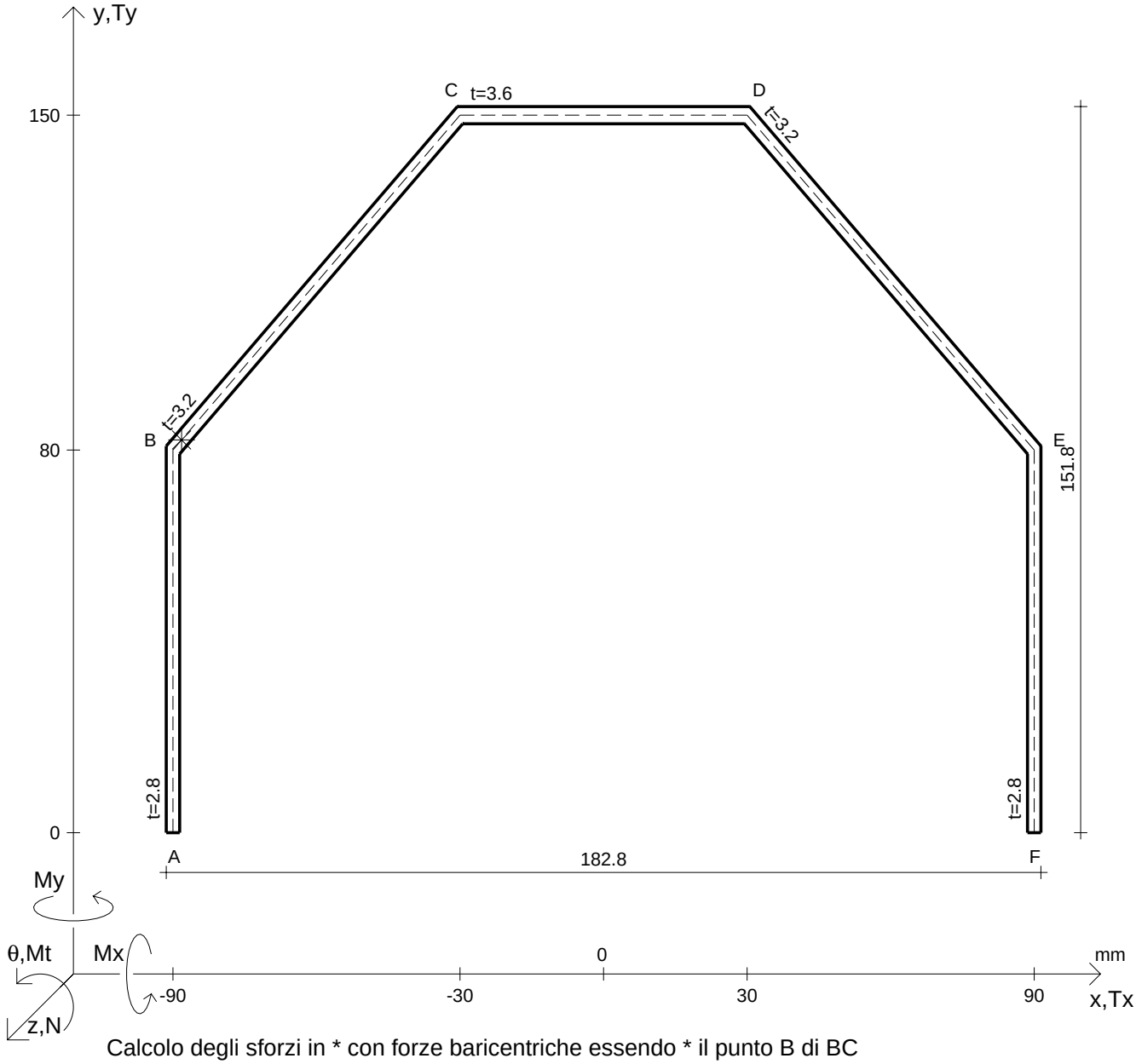


Calcolo degli sforzi in * con forze baricentriche essendo * il punto B di BC
Rappresentare sul foglio, in scala: G, assi u,v, ellisse d'inerzia, C.T.
Rappresentare i cerchi di Mohr
Operare le conclusioni sulla verifica di resistenza in *
Facoltativo: rappresentare l'asse neutro e l'andamento delle tens. normali.
Facoltativo: rappresentare l'andamento delle tens. tangenziali.

| | | | | | |
|---|---|---|---|---|---|
| $N$ | = 62900 N | $M_x$ | = -2070000 Nmm | $G$ | = 73000 N/mm$^2$ |
| $T_y$ | = 41700 N | $\sigma_a$ | = 220 N/mm$^2$ | | |
| $M_t$ | = 97300 Nmm | $E$ | = 200000 N/mm$^2$ | | |
| $y_G$ | = | $\tau(M_t)_d$ | = | $\sigma_{IId}$ | = |
| $u_o$ | = | $\tau(T_{yc})$ | = | $\sigma_{tresca}$ | = |
| $v_o$ | = | $\tau(T_{yb})_d$ | = | $\sigma_{mises}$ | = |
| $A$ | = | $\tau(T_y)_s$ | = | $\sigma_{st.ven}$ | = |
| $S_u^*$ | = | $\tau(T_y)_d$ | = | $\theta_t$ | = |
| $C_w$ | = | $\sigma$ | = | $r_u$ | = |
| $J_u$ | = | $\tau_s$ | = | $r_v$ | = |
| $J_v$ | = | $\tau_d$ | = | $r_o$ | = |
| $J_t$ | = | $\sigma_{Is}$ | = | $J_p$ | = |
| $\sigma(N)$ | = | $\sigma_{IIs}$ | = | | |
| $\sigma(M_x)$ | = | $\sigma_{Id}$ | = | | |

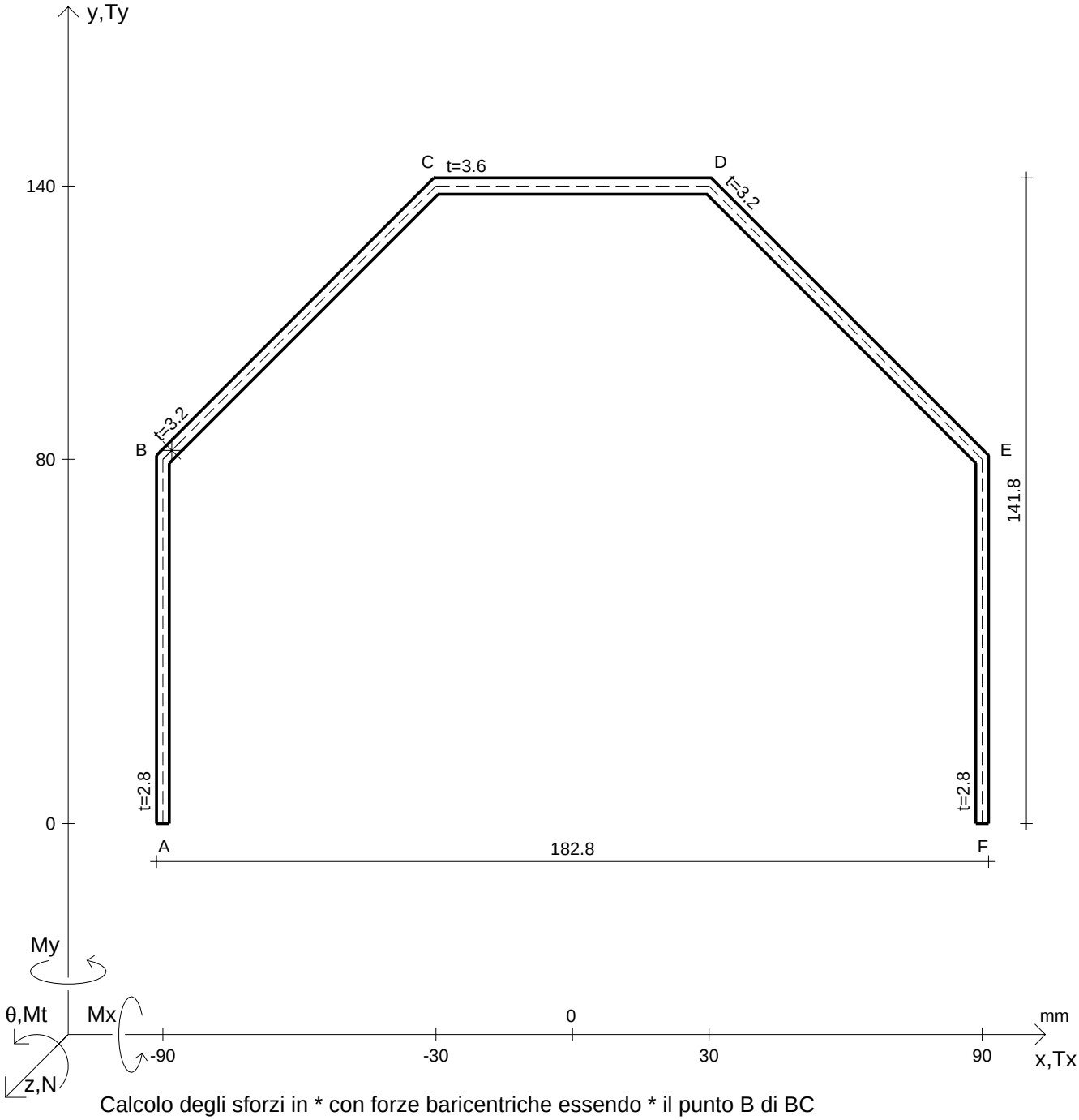


Calcolo degli sforzi in * con forze baricentriche essendo * il punto B di BC
Rappresentare sul foglio, in scala: G, assi u,v, ellisse d'inerzia, C.T.
Rappresentare i cerchi di Mohr
Operare le conclusioni sulla verifica di resistenza in *
Facoltativo: rappresentare l'asse neutro e l'andamento delle tens. normali.
Facoltativo: rappresentare l'andamento delle tens. tangenziali.

| | | | | | | | |
|---|---|---|---|---|---|---|---|
| N | = 67300 N | $M_t$ | = 69400 Nmm | $\sigma_a$ | = 220 N/mm$^2$ | G | = 73000 N/mm$^2$ |
| $T_y$ | = 42200 N | $M_x$ | = -2050000 Nmm | E | = 200000 N/mm$^2$ | | |
| $y_G$ | = | $J_t$ | = | $\sigma$ | = | $\sigma_{mises}$ | = |
| $u_o$ | = | $\sigma(N)$ | = | $\tau_s$ | = | $\sigma_{st.ven}$ | = |
| $v_o$ | = | $\sigma(M_x)$ | = | $\tau_d$ | = | $\theta_t$ | = |
| $A^*$ | = | $\tau(M_t)_d$ | = | $\sigma_{Is}$ | = | $r_u$ | = |
| $S_u^*$ | = | $\tau(T_{yc})$ | = | $\sigma_{IIs}$ | = | $r_v$ | = |
| $C_w$ | = | $\tau(T_{yb})_d$ | = | $\sigma_{Id}$ | = | $r_o$ | = |
| $J_u$ | = | $\tau(T_y)_s$ | = | $\sigma_{IId}$ | = | $J_p$ | = |
| $J_v$ | = | $\tau(T_y)_d$ | = | $\sigma_{tresca}$ | = | | |

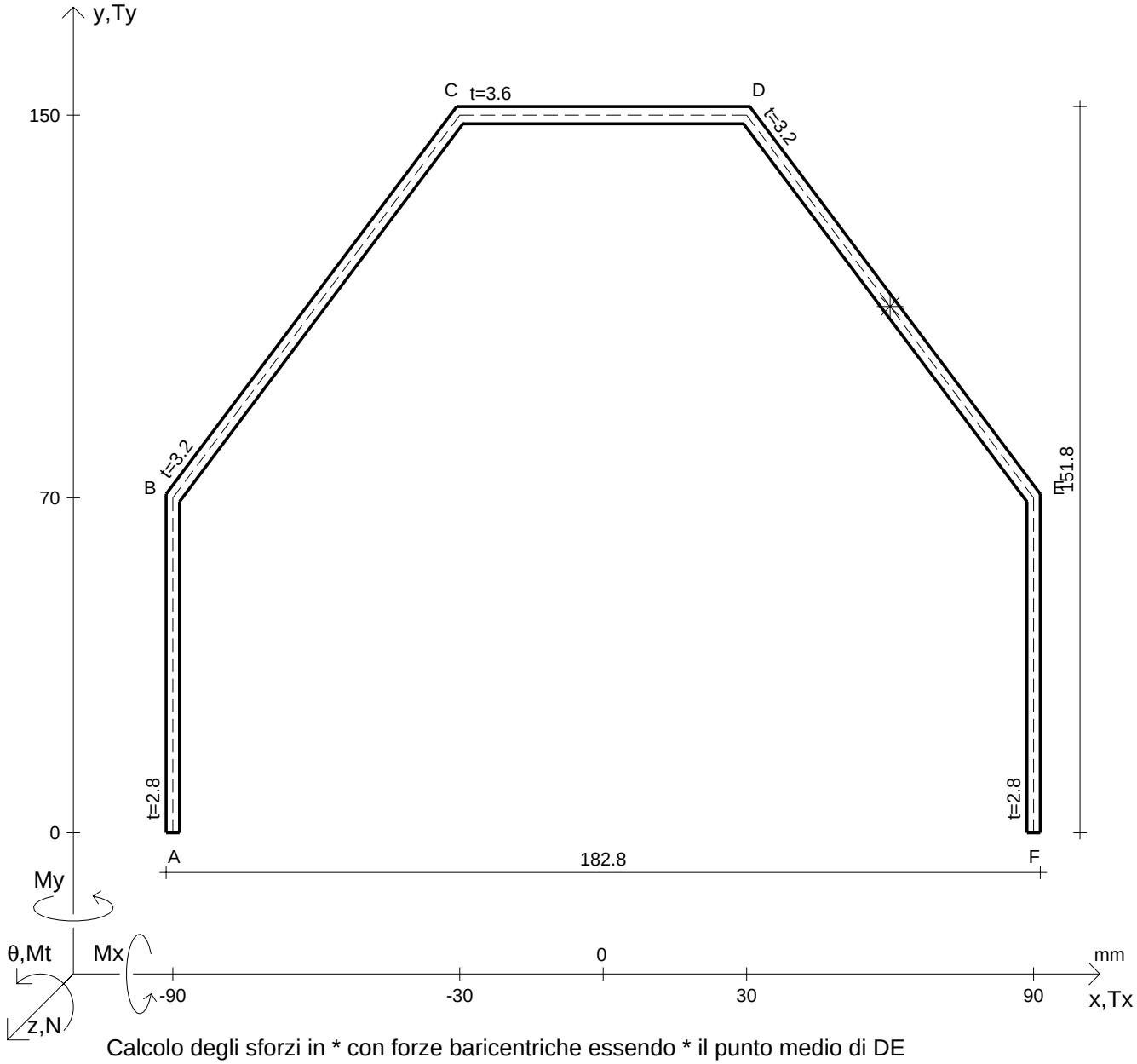


Calcolo degli sforzi in * con forze baricentriche essendo * il punto medio di DE
Rappresentare sul foglio, in scala: G, assi u,v, ellisse d'inerzia, C.T.
Rappresentare i cerchi di Mohr
Operare le conclusioni sulla verifica di resistenza in *
Facoltativo: rappresentare l'asse neutro e l'andamento delle tens. normali.
Facoltativo: rappresentare l'andamento delle tens. tangenziali.

| | | | | | |
|---|---|---|---|---|---|
| $N$ | = 74100 N | $M_x$ | = 2510000 Nmm | $G$ | = 73000 N/mm$^2$ |
| $T_y$ | = 34900 N | $\sigma_a$ | = 220 N/mm$^2$ | | |
| $M_t$ | = 79000 Nmm | $E$ | = 200000 N/mm$^2$ | | |
| $y_G$ | = | $\tau(M_t)_d$ | = | $\sigma_{IId}$ | = |
| $u_o$ | = | $\tau(T_{yc})$ | = | $\sigma_{tresca}$ | = |
| $v_o$ | = | $\tau(T_{yb})_d$ | = | $\sigma_{mises}$ | = |
| $A$ | = | $\tau(T_y)_s$ | = | $\sigma_{st.ven}$ | = |
| $S_u^*$ | = | $\tau(T_y)_d$ | = | $\theta_t$ | = |
| $C_w$ | = | $\sigma$ | = | $r_u$ | = |
| $J_u$ | = | $\tau_s$ | = | $r_v$ | = |
| $J_v$ | = | $\tau_d$ | = | $r_o$ | = |
| $J_t$ | = | $\sigma_{Is}$ | = | $J_p$ | = |
| $\sigma(N)$ | = | $\sigma_{IIs}$ | = | | |
| $\sigma(M_x)$ | = | $\sigma_{Id}$ | = | | |

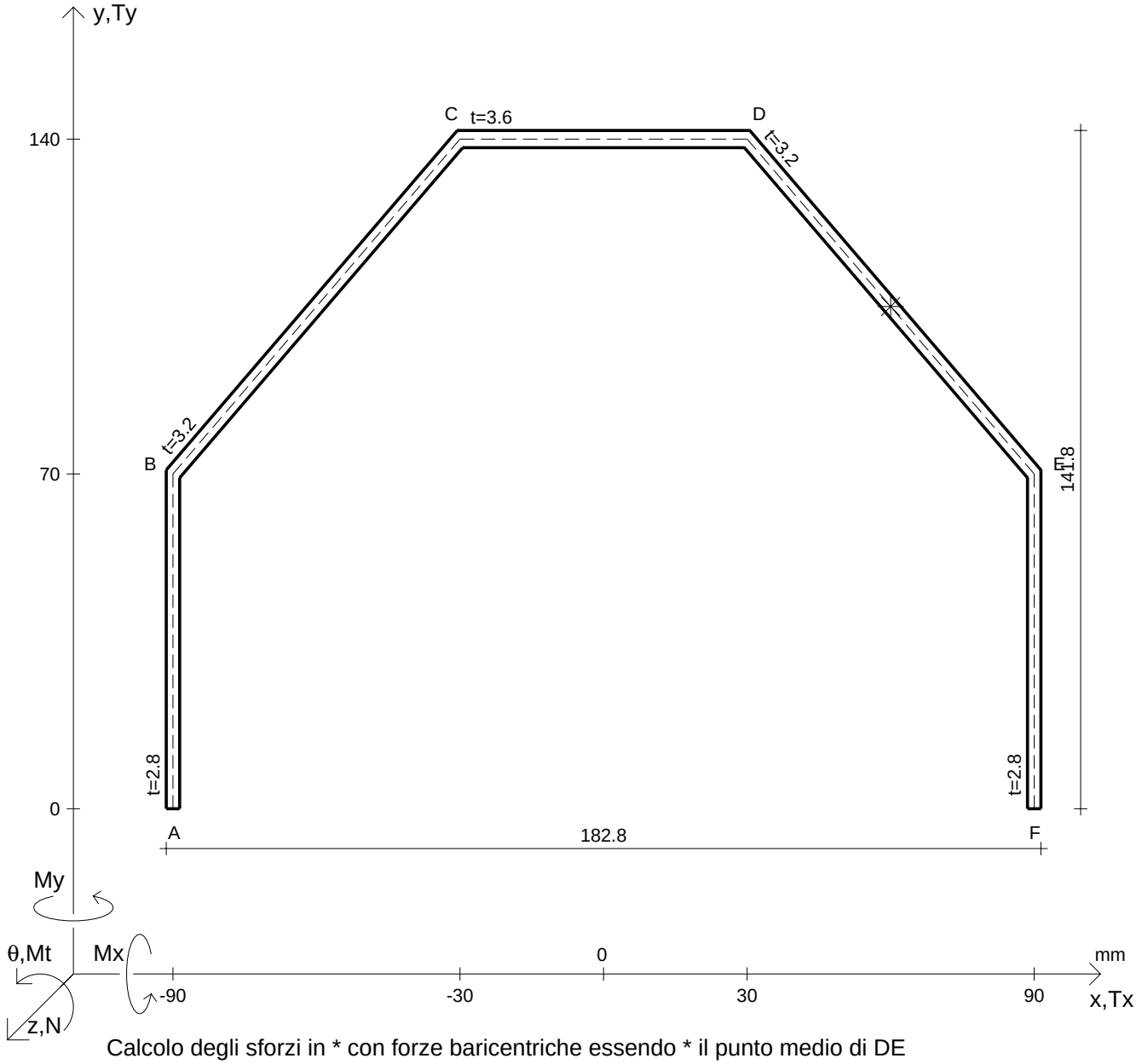


Calcolo degli sforzi in * con forze baricentriche essendo * il punto medio di DE
Rappresentare sul foglio, in scala: G, assi u,v, ellisse d'inerzia, C.T.
Rappresentare i cerchi di Mohr
Operare le conclusioni sulla verifica di resistenza in *
Facoltativo: rappresentare l'asse neutro e l'andamento delle tens. normali.
Facoltativo: rappresentare l'andamento delle tens. tangenziali.

| | | | | | |
|---|---|---|---|---|---|
| N | = 53200 N | $M_x$ | = 2450000 Nmm | G | = 73000 N/mm$^2$ |
| $T_y$ | = 36000 N | $\sigma_a$ | = 220 N/mm$^2$ | | |
| $M_t$ | = 84800 Nmm | E | = 200000 N/mm$^2$ | | |
| $y_G$ | = | $\tau(M_t)_d$ | = | $\sigma_{IId}$ | = |
| $u_o$ | = | $\tau(T_{yc})$ | = | $\sigma_{tresca}$ | = |
| $v_o$ | = | $\tau(T_{yb})_d$ | = | $\sigma_{mises}$ | = |
| A | = | $\tau(T_y)_s$ | = | $\sigma_{st.ven}$ | = |
| $S_u^*$ | = | $\tau(T_y)_d$ | = | $\theta_t$ | = |
| $C_w$ | = | $\sigma$ | = | $r_u$ | = |
| $J_u$ | = | $\tau_s$ | = | $r_v$ | = |
| $J_v$ | = | $\tau_d$ | = | $r_o$ | = |
| $J_t$ | = | $\sigma_{Is}$ | = | $J_p$ | = |
| $\sigma(N)$ | = | $\sigma_{IIs}$ | = | | |
| $\sigma(M_x)$ | = | $\sigma_{Id}$ | = | | |

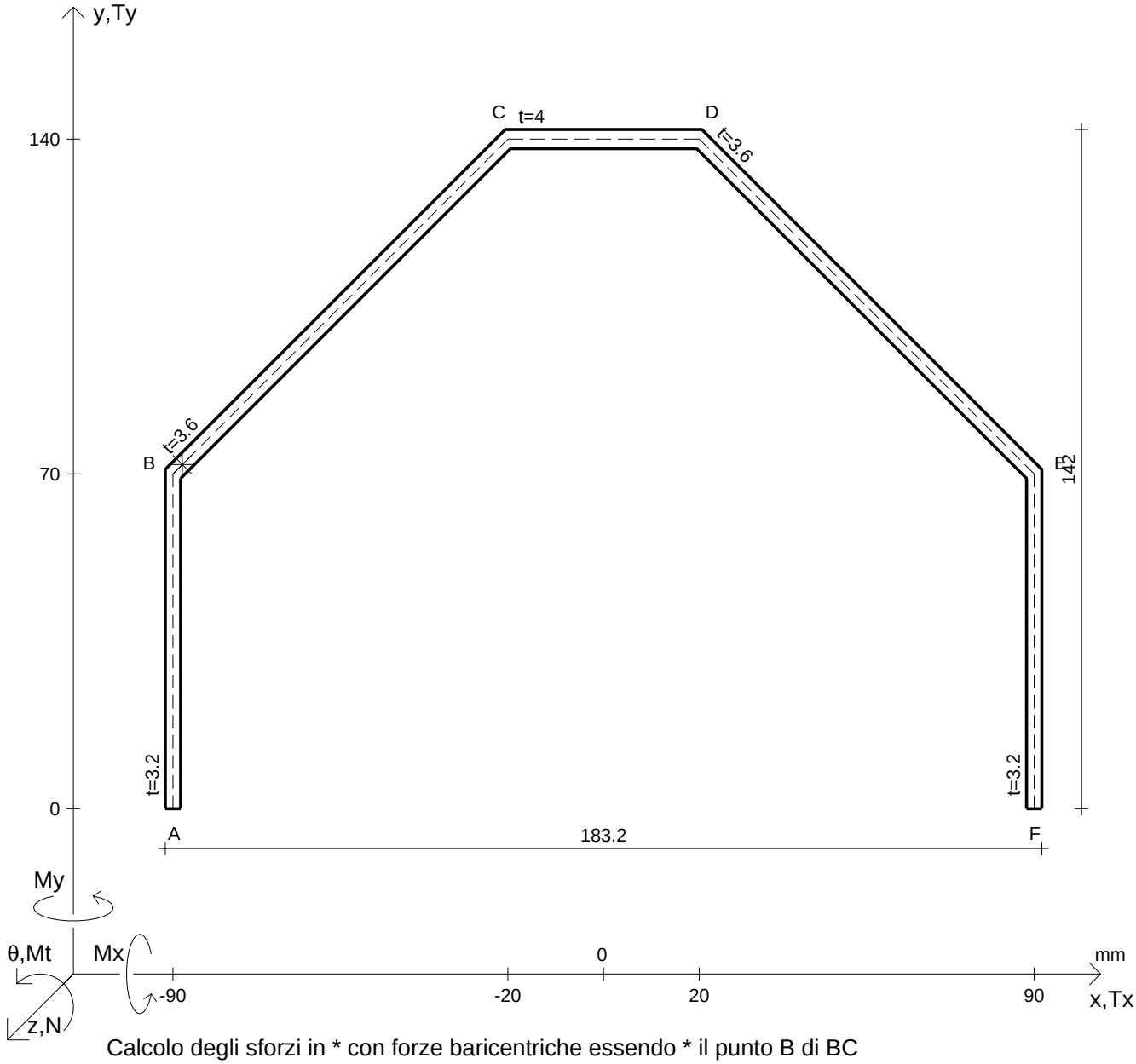


Calcolo degli sforzi in * con forze baricentriche essendo * il punto B di BC
Rappresentare sul foglio, in scala: G, assi u,v, ellisse d'inerzia, C.T.
Rappresentare i cerchi di Mohr
Operare le conclusioni sulla verifica di resistenza in *
Facoltativo: rappresentare l'asse neutro e l'andamento delle tens. normali.
Facoltativo: rappresentare l'andamento delle tens. tangenziali.

| | | | | | |
|---|---|---|---|---|---|
| N | = 65200 N | $M_x$ | = -1950000 Nmm | G | = 73000 N/mm$^2$ |
| $T_y$ | = 43700 N | $\sigma_a$ | = 220 N/mm$^2$ | | |
| $M_t$ | = 114000 Nmm | E | = 200000 N/mm$^2$ | | |
| $y_G$ | = | $\tau(M_t)_d$ | = | $\sigma_{IId}$ | = |
| $u_o$ | = | $\tau(T_{yc})$ | = | $\sigma_{tresca}$ | = |
| $v_o$ | = | $\tau(T_{yb})_d$ | = | $\sigma_{mises}$ | = |
| A | = | $\tau(T_y)_s$ | = | $\sigma_{st.ven}$ | = |
| $S_u^*$ | = | $\tau(T_y)_d$ | = | $\theta_t$ | = |
| $C_w$ | = | $\sigma$ | = | $r_u$ | = |
| $J_u$ | = | $\tau_s$ | = | $r_v$ | = |
| $J_v$ | = | $\tau_d$ | = | $r_o$ | = |
| $J_t$ | = | $\sigma_{Is}$ | = | $J_p$ | = |
| $\sigma(N)$ | = | $\sigma_{IIs}$ | = | | |
| $\sigma(M_x)$ | = | $\sigma_{Id}$ | = | | |

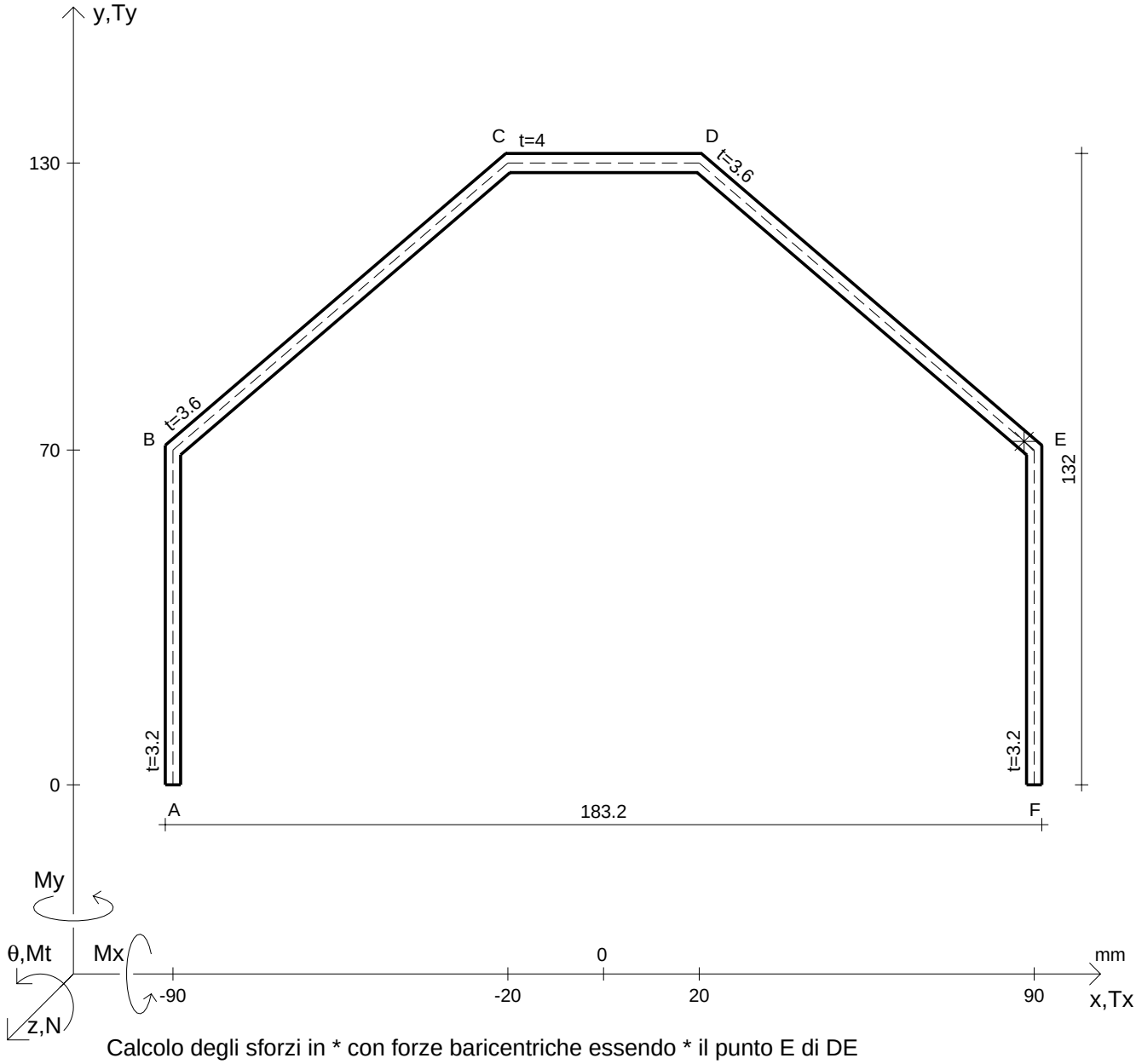


Calcolo degli sforzi in * con forze baricentriche essendo * il punto E di DE
Rappresentare sul foglio, in scala: G, assi u,v, ellisse d'inerzia, C.T.
Rappresentare i cerchi di Mohr
Operare le conclusioni sulla verifica di resistenza in *
Facoltativo: rappresentare l'asse neutro e l'andamento delle tens. normali.
Facoltativo: rappresentare l'andamento delle tens. tangenziali.

| | | | | | |
|---|---|---|---|---|---|
| $N$ | = 69700 N | $M_x$ | = -1910000 Nmm | $G$ | = 73000 N/mm$^2$ |
| $T_y$ | = 43800 N | $\sigma_a$ | = 220 N/mm$^2$ | | |
| $M_t$ | = 81600 Nmm | $E$ | = 200000 N/mm$^2$ | | |
| $y_G$ | = | $\tau(M_t)_d$ | = | $\sigma_{IId}$ | = |
| $u_o$ | = | $\tau(T_{yc})$ | = | $\sigma_{tresca}$ | = |
| $v_o$ | = | $\tau(T_{yb})_d$ | = | $\sigma_{mises}$ | = |
| $A$ | = | $\tau(T_y)_s$ | = | $\sigma_{st.ven}$ | = |
| $S_u^*$ | = | $\tau(T_y)_d$ | = | $\theta_t$ | = |
| $C_w$ | = | $\sigma$ | = | $r_u$ | = |
| $J_u$ | = | $\tau_s$ | = | $r_v$ | = |
| $J_v$ | = | $\tau_d$ | = | $r_o$ | = |
| $J_t$ | = | $\sigma_{Is}$ | = | $J_p$ | = |
| $\sigma(N)$ | = | $\sigma_{IIs}$ | = | | |
| $\sigma(M_x)$ | = | $\sigma_{Id}$ | = | | |

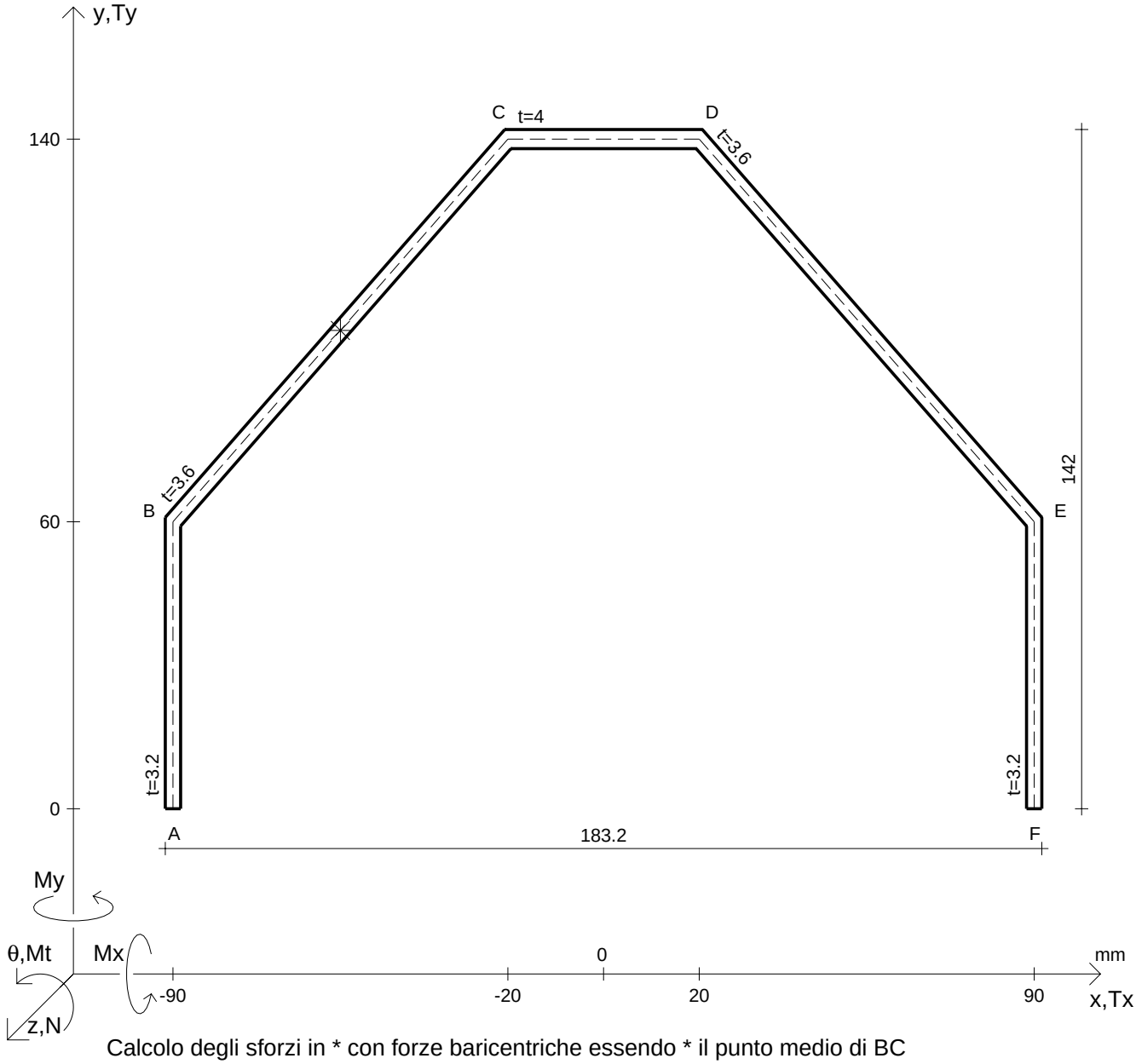


Calcolo degli sforzi in * con forze baricentriche essendo * il punto medio di BC
Rappresentare sul foglio, in scala: G, assi u,v, ellisse d'inerzia, C.T.
Rappresentare i cerchi di Mohr
Operare le conclusioni sulla verifica di resistenza in *
Facoltativo: rappresentare l'asse neutro e l'andamento delle tens. normali.
Facoltativo: rappresentare l'andamento delle tens. tangenziali.

| | | | | | |
|---|---|---|---|---|---|
| $N$ | = 75700 N | $M_x$ | = 2340000 Nmm | $G$ | = 73000 N/mm$^2$ |
| $T_y$ | = 36800 N | $\sigma_a$ | = 220 N/mm$^2$ | | |
| $M_t$ | = 91400 Nmm | $E$ | = 200000 N/mm$^2$ | | |
| $y_G$ | = | $\tau(M_t)_d$ | = | $\sigma_{IId}$ | = |
| $u_o$ | = | $\tau(T_{yc})$ | = | $\sigma_{tresca}$ | = |
| $v_o$ | = | $\tau(T_{yb})_d$ | = | $\sigma_{mises}$ | = |
| $A$ | = | $\tau(T_y)_s$ | = | $\sigma_{st.ven}$ | = |
| $S_u^*$ | = | $\tau(T_y)_d$ | = | $\theta_t$ | = |
| $C_w$ | = | $\sigma$ | = | $r_u$ | = |
| $J_u$ | = | $\tau_s$ | = | $r_v$ | = |
| $J_v$ | = | $\tau_d$ | = | $r_o$ | = |
| $J_t$ | = | $\sigma_{Is}$ | = | $J_p$ | = |
| $\sigma(N)$ | = | $\sigma_{IIs}$ | = | | |
| $\sigma(M_x)$ | = | $\sigma_{Id}$ | = | | |

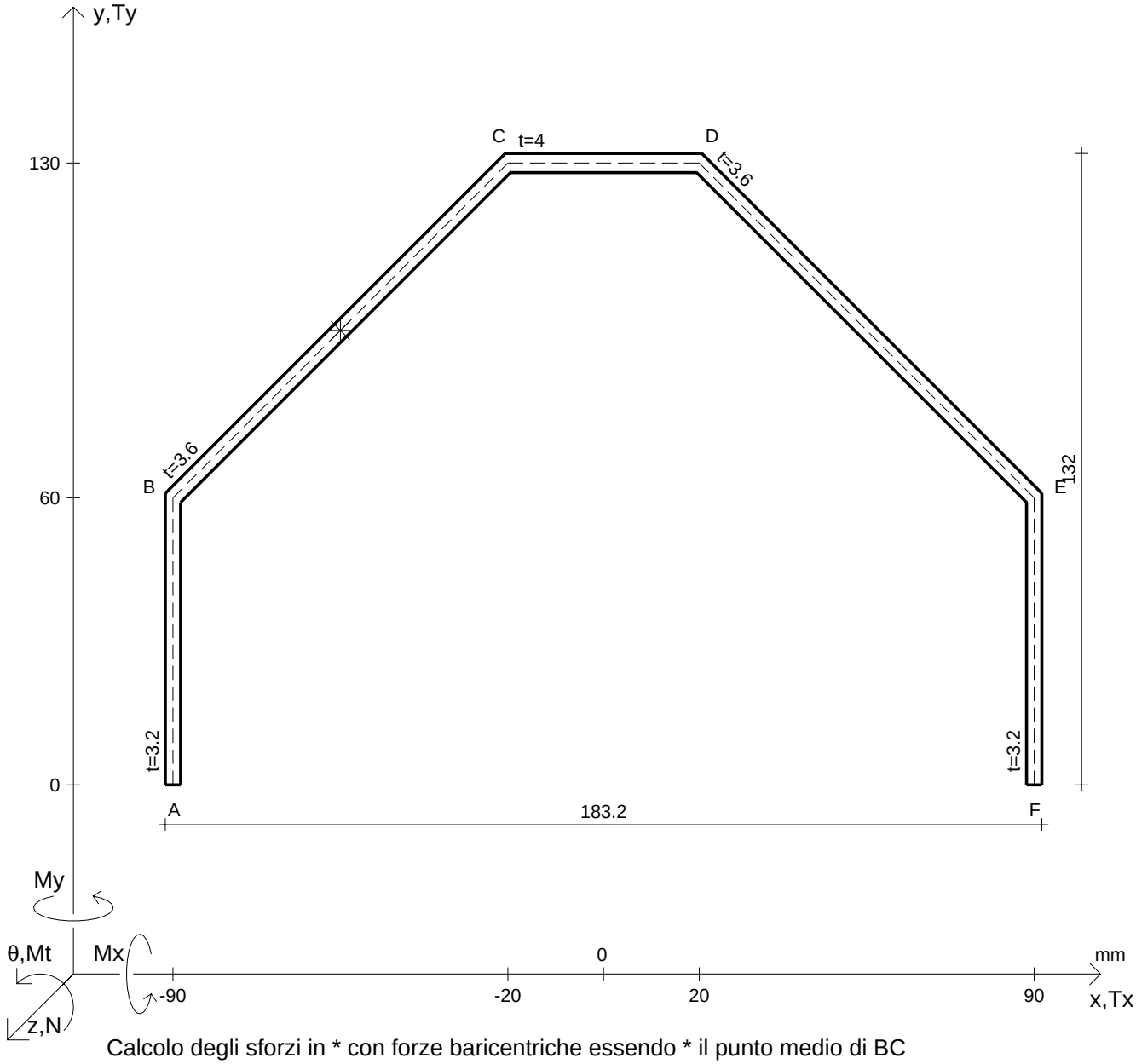


Calcolo degli sforzi in * con forze baricentriche essendo * il punto medio di BC
Rappresentare sul foglio, in scala: G, assi u,v, ellisse d'inerzia, C.T.
Rappresentare i cerchi di Mohr
Operare le conclusioni sulla verifica di resistenza in *
Facoltativo: rappresentare l'asse neutro e l'andamento delle tens. normali.
Facoltativo: rappresentare l'andamento delle tens. tangenziali.

| | | | | | |
|---|---|---|---|---|---|
| $N$ | = 54500 N | $M_x$ | = 2270000 Nmm | $G$ | = 73000 N/mm$^2$ |
| $T_y$ | = 37700 N | $\sigma_a$ | = 220 N/mm$^2$ | | |
| $M_t$ | = 98400 Nmm | $E$ | = 200000 N/mm$^2$ | | |
| $y_G$ | = | $\tau(M_t)_d$ | = | $\sigma_{IId}$ | = |
| $u_o$ | = | $\tau(T_{yc})$ | = | $\sigma_{tresca}$ | = |
| $v_o$ | = | $\tau(T_{yb})_d$ | = | $\sigma_{mises}$ | = |
| $A$ | = | $\tau(T_y)_s$ | = | $\sigma_{st.ven}$ | = |
| $S_u^*$ | = | $\tau(T_y)_d$ | = | $\theta_t$ | = |
| $C_w$ | = | $\sigma$ | = | $r_u$ | = |
| $J_u$ | = | $\tau_s$ | = | $r_v$ | = |
| $J_v$ | = | $\tau_d$ | = | $r_o$ | = |
| $J_t$ | = | $\sigma_{Is}$ | = | $J_p$ | = |
| $\sigma(N)$ | = | $\sigma_{IIs}$ | = | | |
| $\sigma(M_x)$ | = | $\sigma_{Id}$ | = | | |

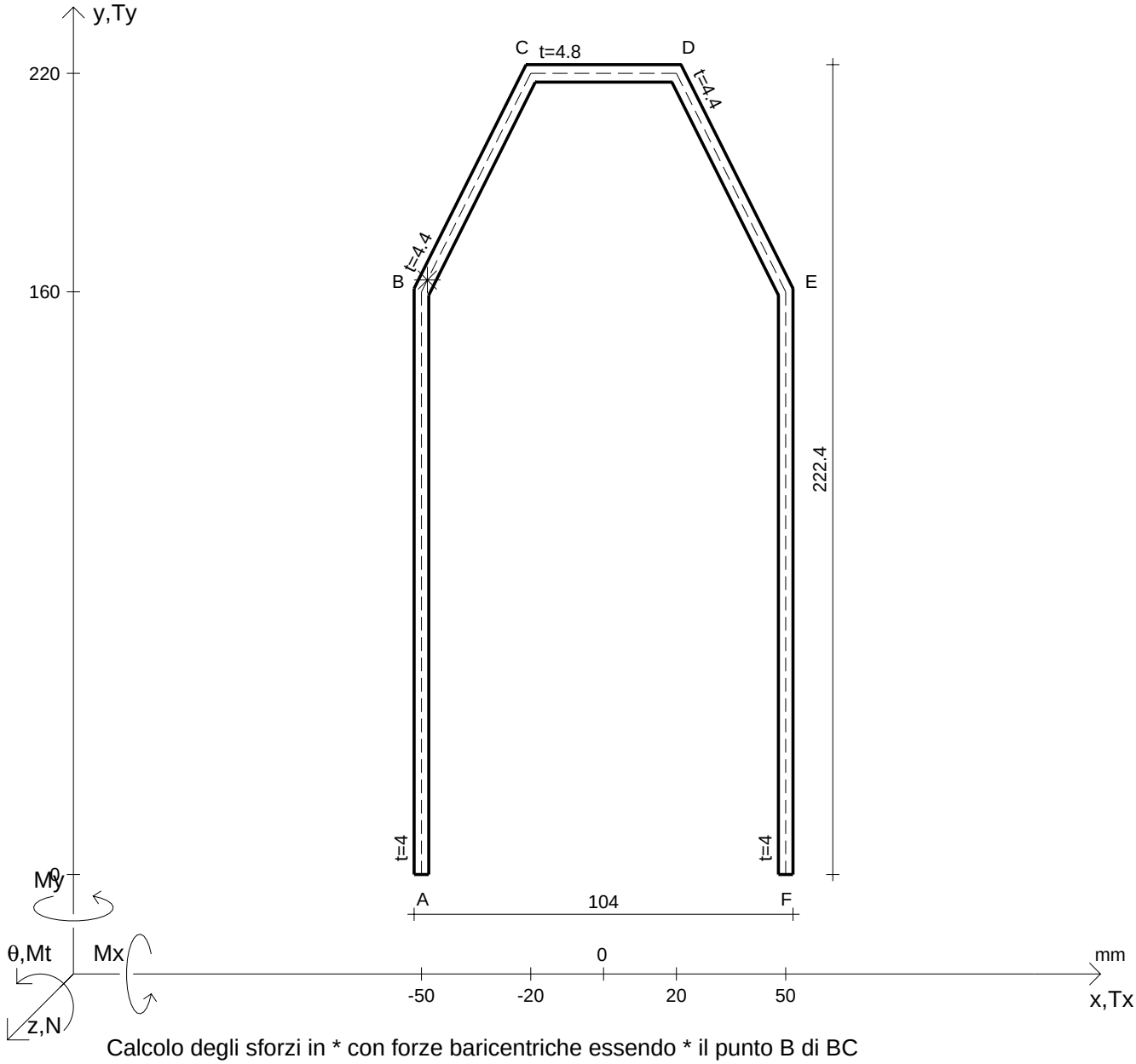


Calcolo degli sforzi in * con forze baricentriche essendo * il punto B di BC
Rappresentare sul foglio, in scala: G, assi u,v, ellisse d'inerzia, C.T.
Rappresentare i cerchi di Mohr
Operare le conclusioni sulla verifica di resistenza in *
Facoltativo: rappresentare l'asse neutro e l'andamento delle tens. normali.
Facoltativo: rappresentare l'andamento delle tens. tangenziali.

| | | | | | |
|---|---|---|---|---|---|
| $N$ | = 98800 N | $M_x$ | = 5350000 Nmm | $G$ | = 73000 N/mm$^2$ |
| $T_y$ | = 86700 N | $\sigma_a$ | = 220 N/mm$^2$ | | |
| $M_t$ | = 204000 Nmm | $E$ | = 200000 N/mm$^2$ | | |
| $y_G$ | = | $\tau(M_t)_d$ | = | $\sigma_{IId}$ | = |
| $u_o$ | = | $\tau(T_{yc})$ | = | $\sigma_{tresca}$ | = |
| $v_o$ | = | $\tau(T_{yb})_d$ | = | $\sigma_{mises}$ | = |
| $A$ | = | $\tau(T_y)_s$ | = | $\sigma_{st.ven}$ | = |
| $S_u^*$ | = | $\tau(T_y)_d$ | = | $\theta_t$ | = |
| $C_w$ | = | $\sigma$ | = | $r_u$ | = |
| $J_u$ | = | $\tau_s$ | = | $r_v$ | = |
| $J_v$ | = | $\tau_d$ | = | $r_o$ | = |
| $J_t$ | = | $\sigma_{Is}$ | = | $J_p$ | = |
| $\sigma(N)$ | = | $\sigma_{IIs}$ | = | | |
| $\sigma(M_x)$ | = | $\sigma_{Id}$ | = | | |

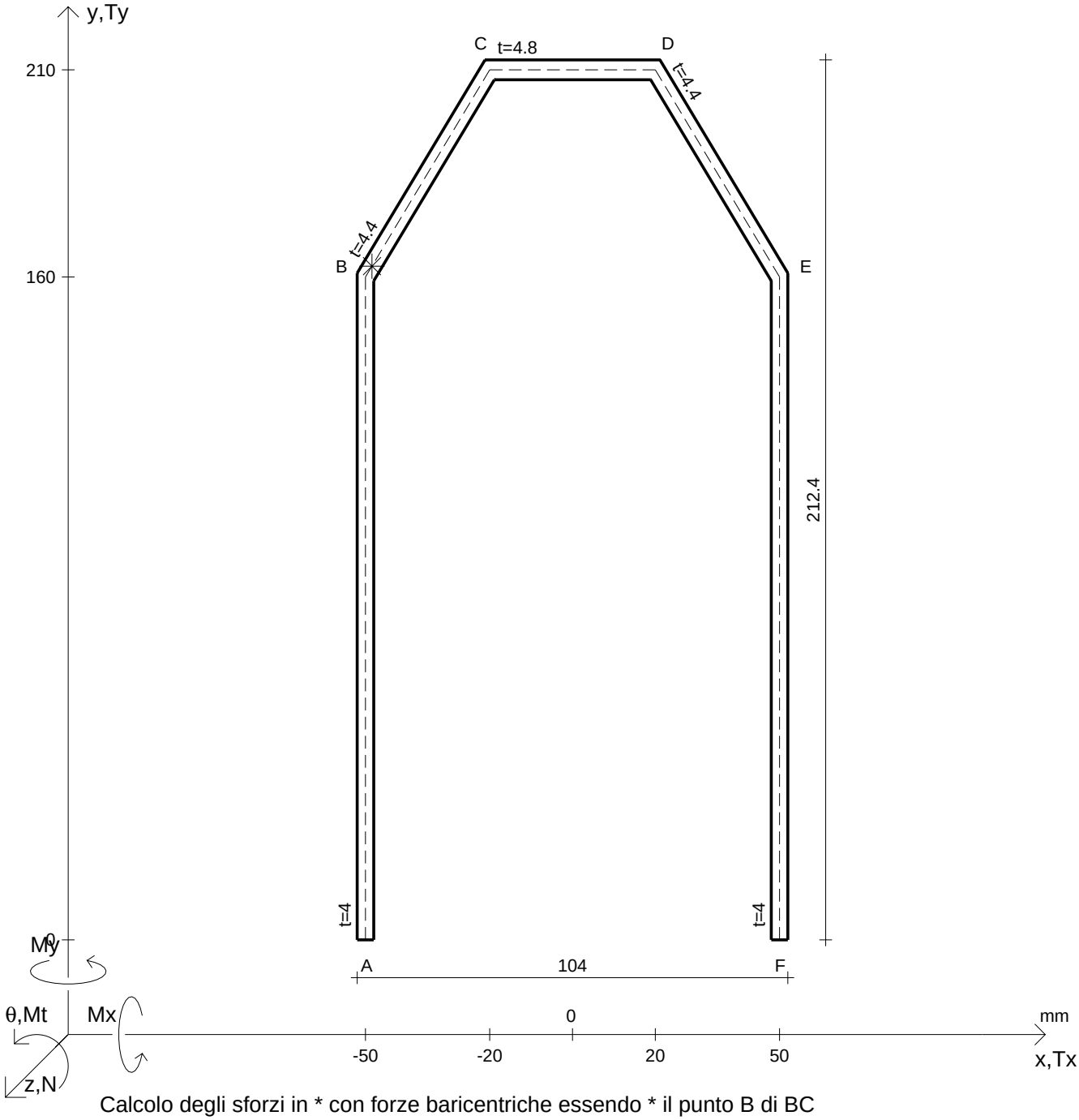


Calcolo degli sforzi in * con forze baricentriche essendo * il punto B di BC
Rappresentare sul foglio, in scala: G, assi u,v, ellisse d'inerzia, C.T.
Rappresentare i cerchi di Mohr
Operare le conclusioni sulla verifica di resistenza in *
Facoltativo: rappresentare l'asse neutro e l'andamento delle tens. normali.
Facoltativo: rappresentare l'andamento delle tens. tangenziali.

| | | | | | | | |
|---|---|---|---|---|---|---|---|
| N | = 104000 N | $M_t$ | = 144000 Nmm | $\sigma_a$ | = 220 N/mm$^2$ | G | = 73000 N/mm$^2$ |
| $T_y$ | = 93400 N | $M_x$ | = 5480000 Nmm | E | = 200000 N/mm$^2$ | | |
| $y_G$ | = | $J_t$ | = | $\sigma$ | = | $\sigma_{mises}$ | = |
| $u_o$ | = | $\sigma(N)$ | = | $\tau_s$ | = | $\sigma_{st.ven}$ | = |
| $v_o$ | = | $\sigma(M_x)$ | = | $\tau_d$ | = | $\theta_t$ | = |
| $A_*$ | = | $\tau(M_t)_d$ | = | $\sigma_{Is}$ | = | $r_u$ | = |
| $S_u^*$ | = | $\tau(T_{yc})$ | = | $\sigma_{IIs}$ | = | $r_v$ | = |
| $C_w$ | = | $\tau(T_{yb})_d$ | = | $\sigma_{Id}$ | = | $r_o$ | = |
| $J_u$ | = | $\tau(T_y)_s$ | = | $\sigma_{IId}$ | = | $J_p$ | = |
| $J_v$ | = | $\tau(T_y)_d$ | = | $\sigma_{tresca}$ | = | | |

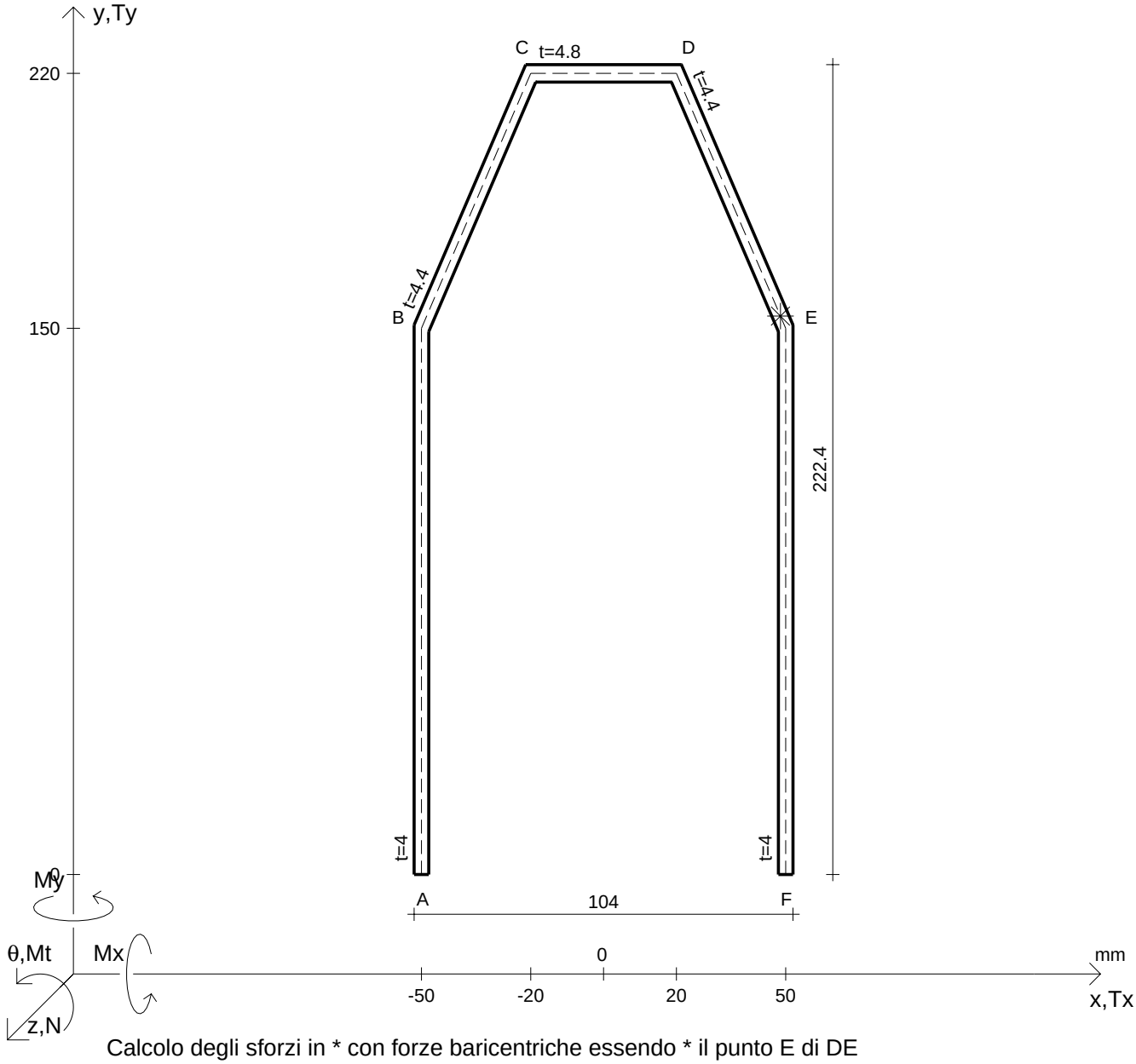


Calcolo degli sforzi in * con forze baricentriche essendo * il punto E di DE
Rappresentare sul foglio, in scala: G, assi u,v, ellisse d'inerzia, C.T.
Rappresentare i cerchi di Mohr
Operare le conclusioni sulla verifica di resistenza in *
Facoltativo: rappresentare l'asse neutro e l'andamento delle tens. normali.
Facoltativo: rappresentare l'andamento delle tens. tangenziali.

| | | | | | |
|---|---|---|---|---|---|
| $N$ | = 120000 N | $M_x$ | = 6650000 Nmm | $G$ | = 73000 N/mm$^2$ |
| $T_y$ | = 67900 N | $\sigma_a$ | = 220 N/mm$^2$ | | |
| $M_t$ | = 172000 Nmm | $E$ | = 200000 N/mm$^2$ | | |
| $y_G$ | = | $\tau(M_t)_d$ | = | $\sigma_{IId}$ | = |
| $u_o$ | = | $\tau(T_{yc})$ | = | $\sigma_{tresca}$ | = |
| $v_o$ | = | $\tau(T_{yb})_d$ | = | $\sigma_{mises}$ | = |
| $A$ | = | $\tau(T_y)_s$ | = | $\sigma_{st.ven}$ | = |
| $S_u^*$ | = | $\tau(T_y)_d$ | = | $\theta_t$ | = |
| $C_w$ | = | $\sigma$ | = | $r_u$ | = |
| $J_u$ | = | $\tau_s$ | = | $r_v$ | = |
| $J_v$ | = | $\tau_d$ | = | $r_o$ | = |
| $J_t$ | = | $\sigma_{Is}$ | = | $J_p$ | = |
| $\sigma(N)$ | = | $\sigma_{IIs}$ | = | | |
| $\sigma(M_x)$ | = | $\sigma_{Id}$ | = | | |

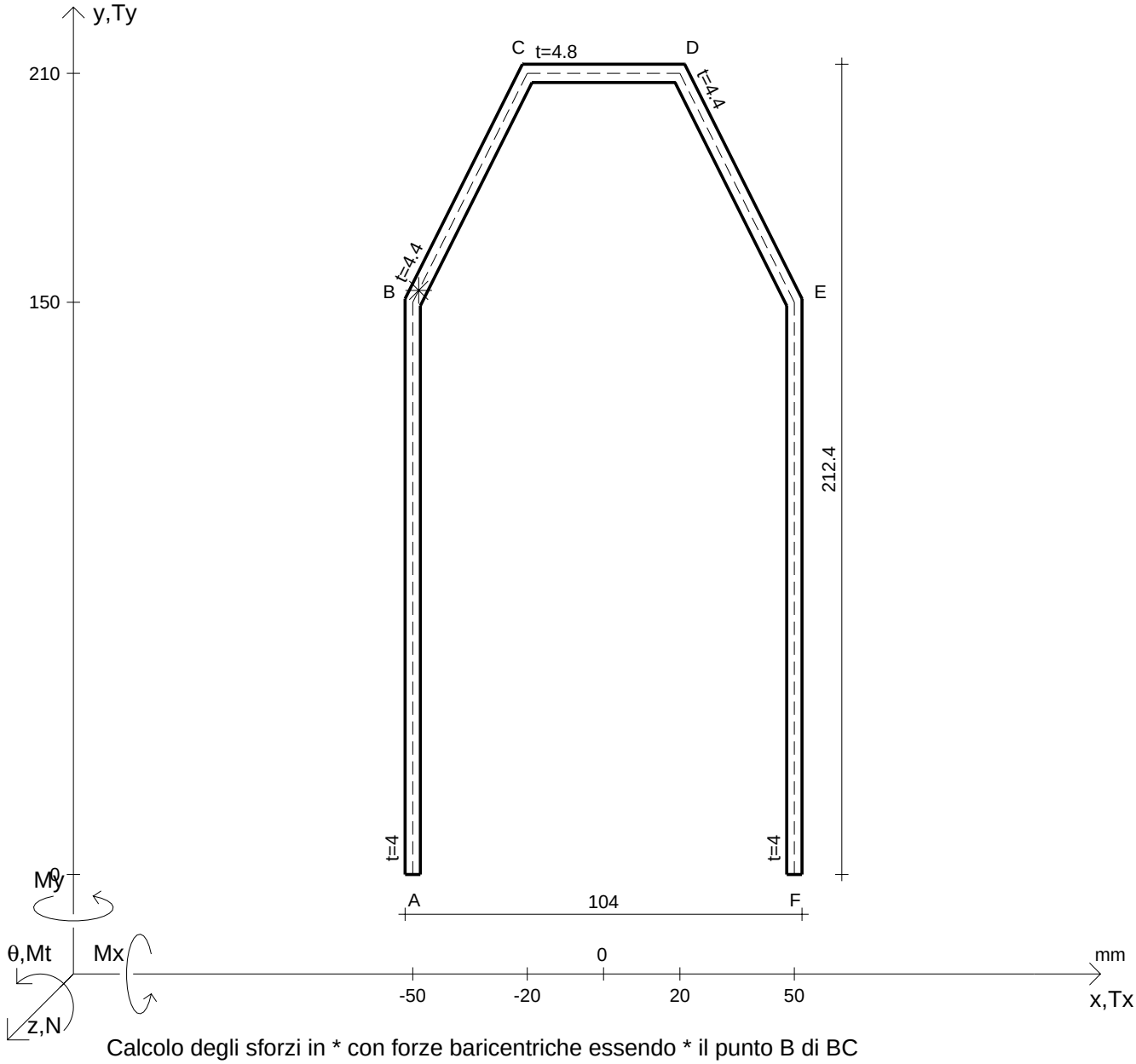


Calcolo degli sforzi in * con forze baricentriche essendo * il punto B di BC
Rappresentare sul foglio, in scala: G, assi u,v, ellisse d'inerzia, C.T.
Rappresentare i cerchi di Mohr
Operare le conclusioni sulla verifica di resistenza in *
Facoltativo: rappresentare l'asse neutro e l'andamento delle tens. normali.
Facoltativo: rappresentare l'andamento delle tens. tangenziali.

| | | | | | |
|---|---|---|---|---|---|
| N | = 85200 N | $M_x$ | = 6650000 Nmm | G | = 73000 N/mm$^2$ |
| $T_y$ | = 74000 N | $\sigma_a$ | = 220 N/mm$^2$ | | |
| $M_t$ | = 181000 Nmm | E | = 200000 N/mm$^2$ | | |
| $y_G$ | = | $\tau(M_t)_d$ | = | $\sigma_{IId}$ | = |
| $u_o$ | = | $\tau(T_{yc})$ | = | $\sigma_{tresca}$ | = |
| $v_o$ | = | $\tau(T_{yb})_d$ | = | $\sigma_{mises}$ | = |
| A | = | $\tau(T_y)_s$ | = | $\sigma_{st.ven}$ | = |
| $S_u^*$ | = | $\tau(T_y)_d$ | = | $\theta_t$ | = |
| $C_w$ | = | $\sigma$ | = | $r_u$ | = |
| $J_u$ | = | $\tau_s$ | = | $r_v$ | = |
| $J_v$ | = | $\tau_d$ | = | $r_o$ | = |
| $J_t$ | = | $\sigma_{Is}$ | = | $J_p$ | = |
| $\sigma(N)$ | = | $\sigma_{IIs}$ | = | | |
| $\sigma(M_x)$ | = | $\sigma_{Id}$ | = | | |

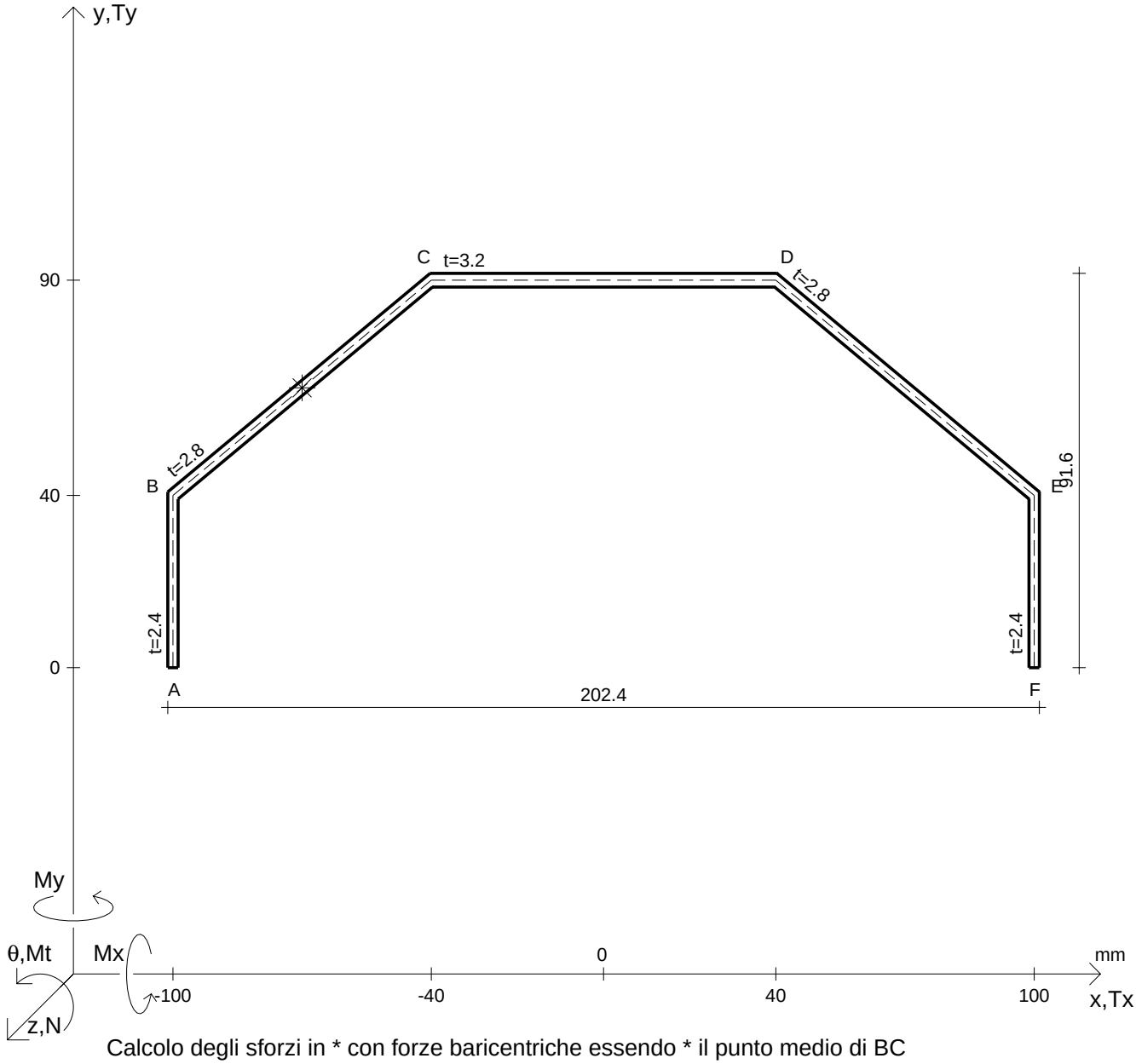


Calcolo degli sforzi in * con forze baricentriche essendo * il punto medio di BC
Rappresentare sul foglio, in scala: G, assi u,v, ellisse d'inerzia, C.T.
Rappresentare i cerchi di Mohr
Operare le conclusioni sulla verifica di resistenza in *
Facoltativo: rappresentare l'asse neutro e l'andamento delle tens. normali.
Facoltativo: rappresentare l'andamento delle tens. tangenziali.

| | | | | | |
|---|---|---|---|---|---|
| $N$ | = 42700 N | $M_x$ | = 729000 Nmm | $G$ | = 73000 N/mm$^2$ |
| $T_y$ | = 22800 N | $\sigma_a$ | = 220 N/mm$^2$ | | |
| $M_t$ | = 60900 Nmm | $E$ | = 200000 N/mm$^2$ | | |
| $y_G$ | = | $\tau(M_t)_d$ | = | $\sigma_{IId}$ | = |
| $u_o$ | = | $\tau(T_{yc})$ | = | $\sigma_{tresca}$ | = |
| $v_o$ | = | $\tau(T_{yb})_d$ | = | $\sigma_{mises}$ | = |
| $A$ | = | $\tau(T_y)_s$ | = | $\sigma_{st.ven}$ | = |
| $S_u^*$ | = | $\tau(T_y)_d$ | = | $\theta_t$ | = |
| $C_w$ | = | $\sigma$ | = | $r_u$ | = |
| $J_u$ | = | $\tau_s$ | = | $r_v$ | = |
| $J_v$ | = | $\tau_d$ | = | $r_o$ | = |
| $J_t$ | = | $\sigma_{Is}$ | = | $J_p$ | = |
| $\sigma(N)$ | = | $\sigma_{IIs}$ | = | | |
| $\sigma(M_x)$ | = | $\sigma_{Id}$ | = | | |

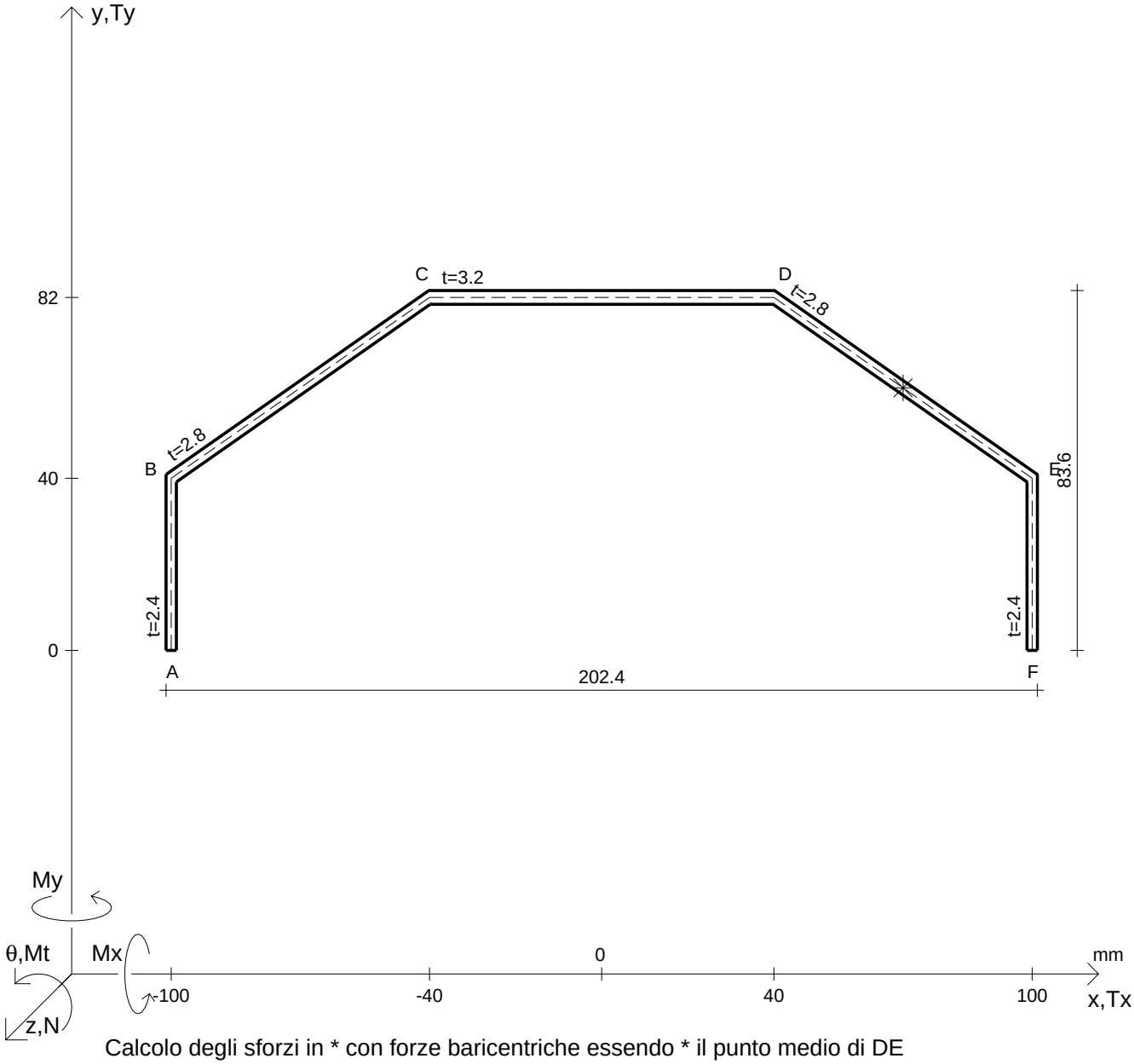


Calcolo degli sforzi in * con forze baricentriche essendo * il punto medio di DE
Rappresentare sul foglio, in scala: G, assi u,v, ellisse d'inerzia, C.T.
Rappresentare i cerchi di Mohr
Operare le conclusioni sulla verifica di resistenza in *
Facoltativo: rappresentare l'asse neutro e l'andamento delle tens. normali.
Facoltativo: rappresentare l'andamento delle tens. tangenziali.

| | | | | | |
|---|---|---|---|---|---|
| $N$ | = 45700 N | $M_x$ | = 682000 Nmm | $G$ | = 73000 N/mm$^2$ |
| $T_y$ | = 22700 N | $\sigma_a$ | = 220 N/mm$^2$ | | |
| $M_t$ | = 43600 Nmm | $E$ | = 200000 N/mm$^2$ | | |
| $y_G$ | = | $\tau(M_t)_d$ | = | $\sigma_{IId}$ | = |
| $u_o$ | = | $\tau(T_{yc})$ | = | $\sigma_{tresca}$ | = |
| $v_o$ | = | $\tau(T_{yb})_d$ | = | $\sigma_{mises}$ | = |
| $A$ | = | $\tau(T_y)_s$ | = | $\sigma_{st.ven}$ | = |
| $S_u^*$ | = | $\tau(T_y)_d$ | = | $\theta_t$ | = |
| $C_w$ | = | $\sigma$ | = | $r_u$ | = |
| $J_u$ | = | $\tau_s$ | = | $r_v$ | = |
| $J_v$ | = | $\tau_d$ | = | $r_o$ | = |
| $J_t$ | = | $\sigma_{Is}$ | = | $J_p$ | = |
| $\sigma(N)$ | = | $\sigma_{IIs}$ | = | | |
| $\sigma(M_x)$ | = | $\sigma_{Id}$ | = | | |

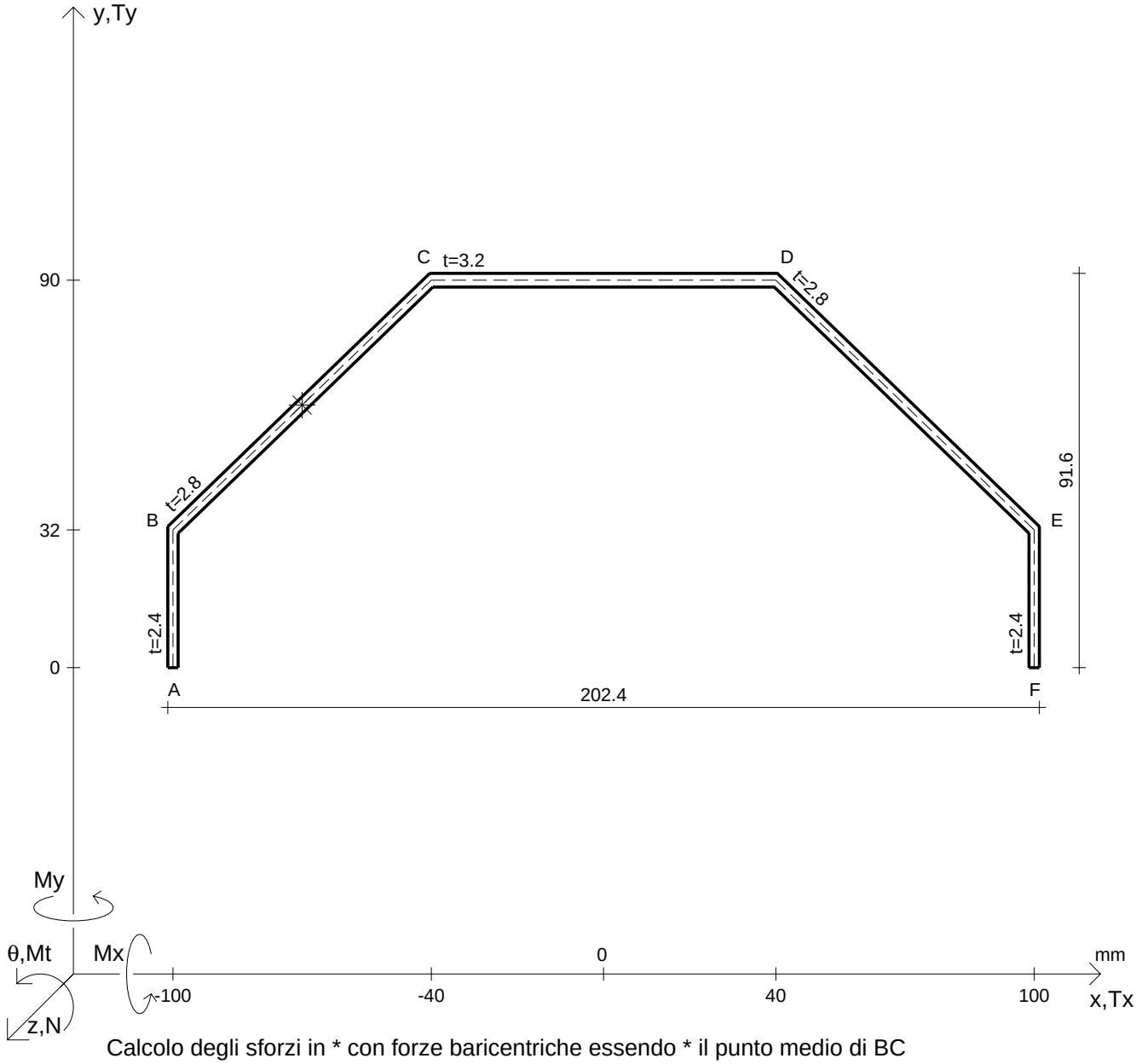


Calcolo degli sforzi in * con forze baricentriche essendo * il punto medio di BC
Rappresentare sul foglio, in scala: G, assi u,v, ellisse d'inerzia, C.T.
Rappresentare i cerchi di Mohr
Operare le conclusioni sulla verifica di resistenza in *
Facoltativo: rappresentare l'asse neutro e l'andamento delle tens. normali.
Facoltativo: rappresentare l'andamento delle tens. tangenziali.

| | | | | | |
|---|---|---|---|---|---|
| $N$ | = 51300 N | $M_x$ | = -930000 Nmm | $G$ | = 73000 N/mm$^2$ |
| $T_y$ | = 18500 N | $\sigma_a$ | = 220 N/mm$^2$ | | |
| $M_t$ | = 50500 Nmm | $E$ | = 200000 N/mm$^2$ | | |
| $y_G$ | = | $\tau(M_t)_d$ | = | $\sigma_{IId}$ | = |
| $u_o$ | = | $\tau(T_{yc})$ | = | $\sigma_{tresca}$ | = |
| $v_o$ | = | $\tau(T_{yb})_d$ | = | $\sigma_{mises}$ | = |
| $A$ | = | $\tau(T_y)_s$ | = | $\sigma_{st.ven}$ | = |
| $S_u^*$ | = | $\tau(T_y)_d$ | = | $\theta_t$ | = |
| $C_w$ | = | $\sigma$ | = | $r_u$ | = |
| $J_u$ | = | $\tau_s$ | = | $r_v$ | = |
| $J_v$ | = | $\tau_d$ | = | $r_o$ | = |
| $J_t$ | = | $\sigma_{Is}$ | = | $J_p$ | = |
| $\sigma(N)$ | = | $\sigma_{IIs}$ | = | | |
| $\sigma(M_x)$ | = | $\sigma_{Id}$ | = | | |

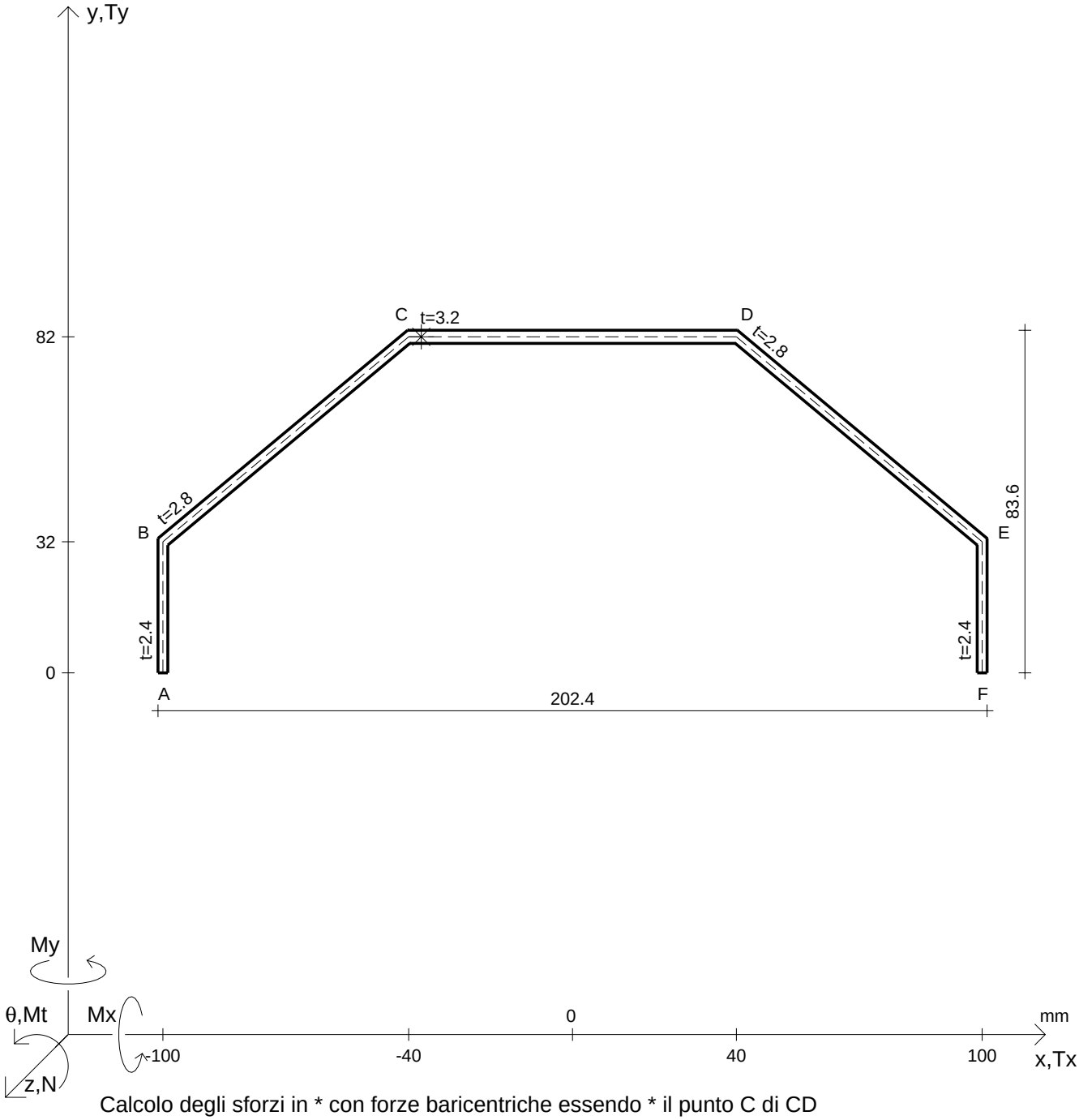


Calcolo degli sforzi in * con forze baricentriche essendo * il punto C di CD
Rappresentare sul foglio, in scala: G, assi u,v, ellisse d'inerzia, C.T.
Rappresentare i cerchi di Mohr
Operare le conclusioni sulla verifica di resistenza in *
Facoltativo: rappresentare l'asse neutro e l'andamento delle tens. normali.
Facoltativo: rappresentare l'andamento delle tens. tangenziali.

| | | | | | | | |
|---|---|---|---|---|---|---|---|
| N | = 38900 N | $M_t$ | = 57300 Nmm | $\sigma_a$ | = 220 N/mm$^2$ | G | = 73000 N/mm$^2$ |
| $T_y$ | = 19800 N | $M_x$ | = 909000 Nmm | E | = 200000 N/mm$^2$ | | |
| $y_G$ | = | $J_t$ | = | $\sigma$ | = | $\sigma_{mises}$ | = |
| $u_o$ | = | $\sigma(N)$ | = | $\tau_s$ | = | $\sigma_{st.ven}$ | = |
| $v_o$ | = | $\sigma(M_x)$ | = | $\tau_d$ | = | $\theta_t$ | = |
| $A^*$ | = | $\tau(M_t)_d$ | = | $\sigma_{Is}$ | = | $r_u$ | = |
| $S_u^*$ | = | $\tau(T_{yc})$ | = | $\sigma_{IIs}$ | = | $r_v$ | = |
| $C_w$ | = | $\tau(T_{yb})_d$ | = | $\sigma_{Id}$ | = | $r_o$ | = |
| $J_u$ | = | $\tau(T_y)_s$ | = | $\sigma_{IId}$ | = | $J_p$ | = |
| $J_v$ | = | $\tau(T_y)_d$ | = | $\sigma_{tresca}$ | = | | |

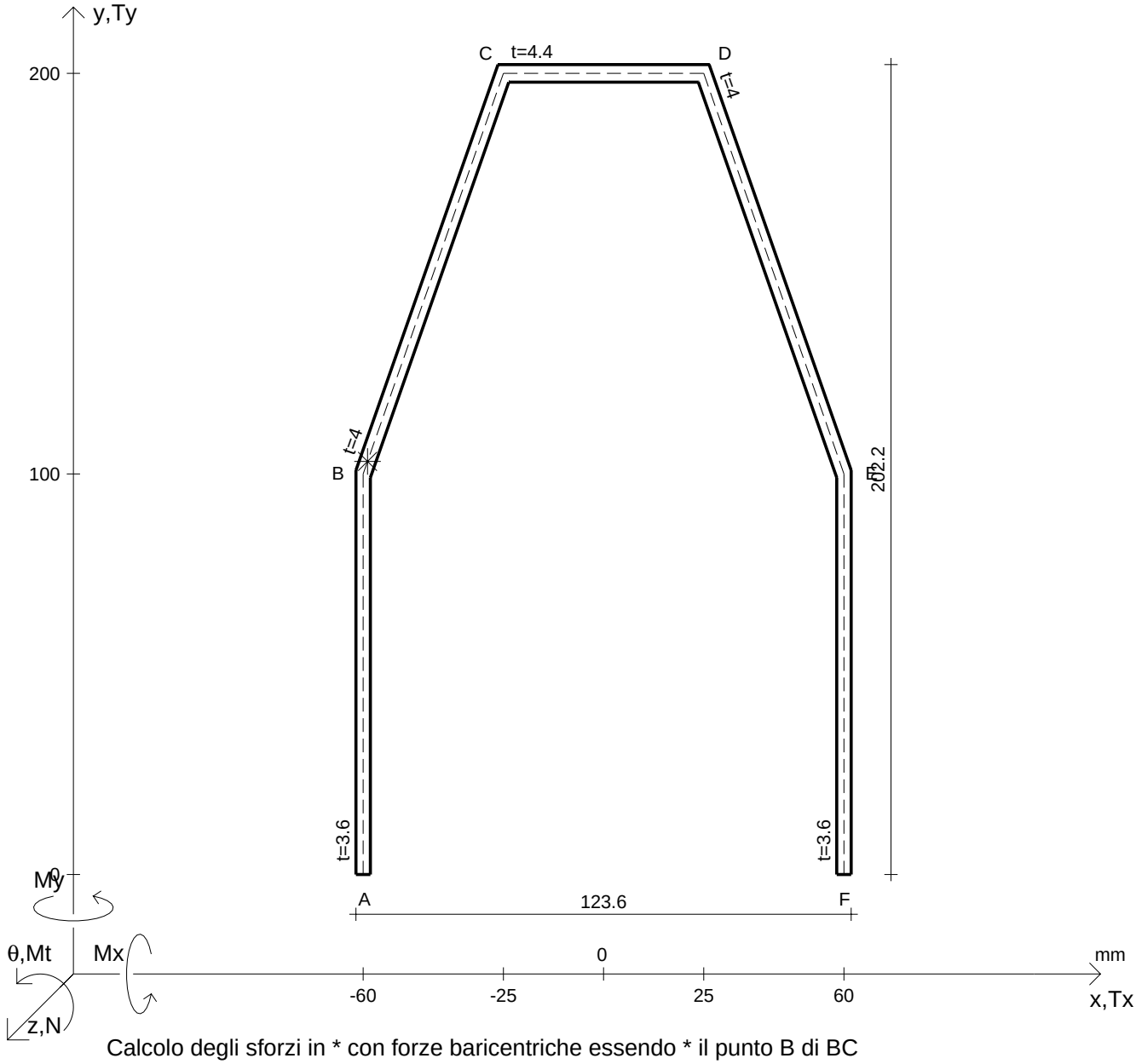


Calcolo degli sforzi in * con forze baricentriche essendo * il punto B di BC
Rappresentare sul foglio, in scala: G, assi u,v, ellisse d'inerzia, C.T.
Rappresentare i cerchi di Mohr
Operare le conclusioni sulla verifica di resistenza in *
Facoltativo: rappresentare l'asse neutro e l'andamento delle tens. normali.
Facoltativo: rappresentare l'andamento delle tens. tangenziali.

| | | | | | |
|---|---|---|---|---|---|
| N | = 87800 N | $M_x$ | = -4230000 Nmm | G | = 73000 N/mm$^2$ |
| $T_y$ | = 68900 N | $\sigma_a$ | = 220 N/mm$^2$ | | |
| $M_t$ | = 171000 Nmm | E | = 200000 N/mm$^2$ | | |
| $y_G$ | = | $\tau(M_t)_d$ | = | $\sigma_{IId}$ | = |
| $u_o$ | = | $\tau(T_{yc})$ | = | $\sigma_{tresca}$ | = |
| $v_o$ | = | $\tau(T_{yb})_d$ | = | $\sigma_{mises}$ | = |
| A | = | $\tau(T_y)_s$ | = | $\sigma_{st.ven}$ | = |
| $S_u^*$ | = | $\tau(T_y)_d$ | = | $\theta_t$ | = |
| $C_w$ | = | $\sigma$ | = | $r_u$ | = |
| $J_u$ | = | $\tau_s$ | = | $r_v$ | = |
| $J_v$ | = | $\tau_d$ | = | $r_o$ | = |
| $J_t$ | = | $\sigma_{Is}$ | = | $J_p$ | = |
| $\sigma(N)$ | = | $\sigma_{IIs}$ | = | | |
| $\sigma(M_x)$ | = | $\sigma_{Id}$ | = | | |

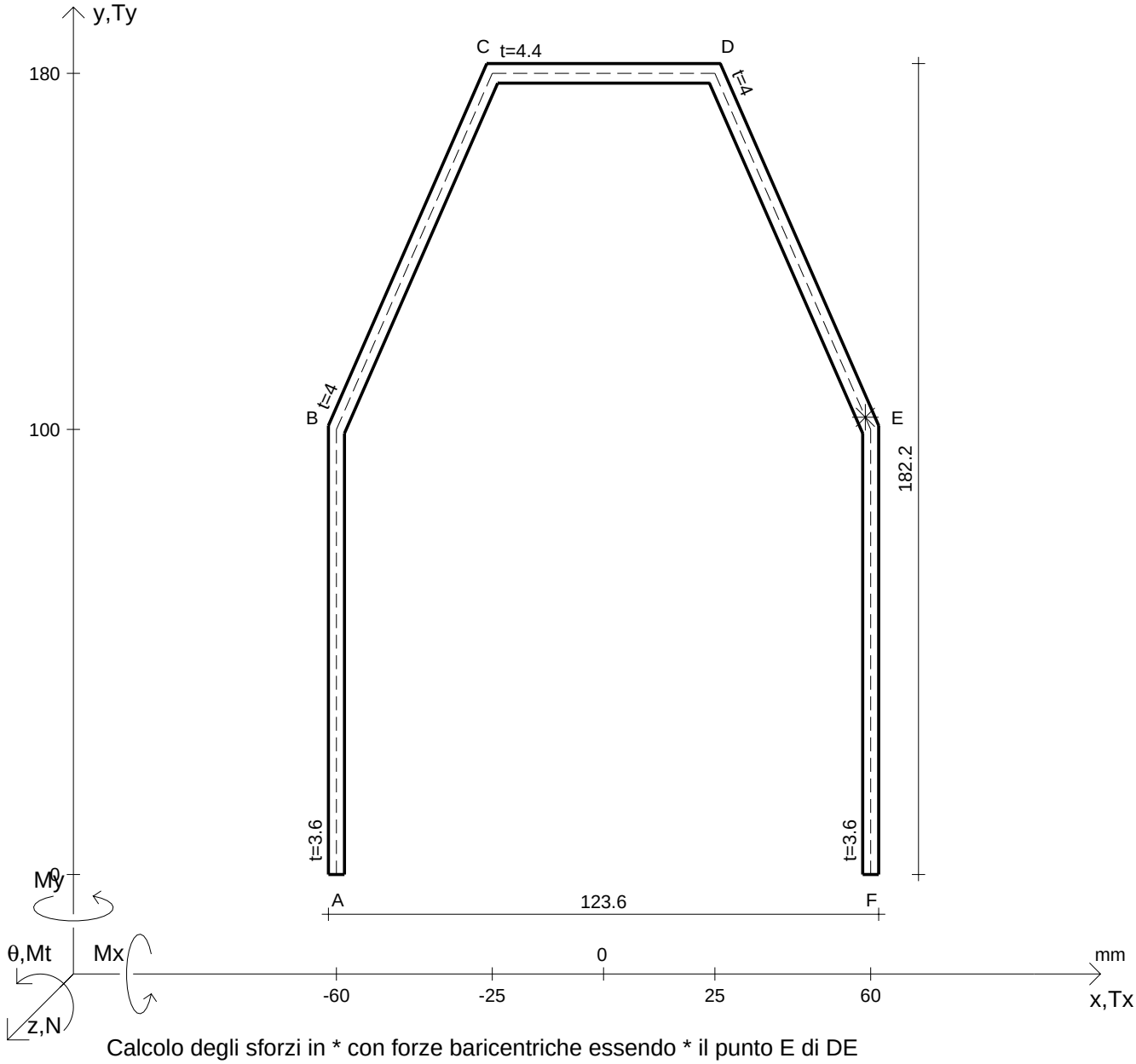


Calcolo degli sforzi in * con forze baricentriche essendo * il punto E di DE
Rappresentare sul foglio, in scala: G, assi u,v, ellisse d'inerzia, C.T.
Rappresentare i cerchi di Mohr
Operare le conclusioni sulla verifica di resistenza in *
Facoltativo: rappresentare l'asse neutro e l'andamento delle tens. normali.
Facoltativo: rappresentare l'andamento delle tens. tangenziali.

| | | | | | |
|---|---|---|---|---|---|
| N | = 89700 N | $M_x$ | = -3920000 Nmm | G | = 73000 N/mm$^2$ |
| $T_y$ | = 67600 N | $\sigma_a$ | = 220 N/mm$^2$ | | |
| $M_t$ | = 116000 Nmm | E | = 200000 N/mm$^2$ | | |
| $y_G$ | = | $\tau(M_t)_d$ | = | $\sigma_{IId}$ | = |
| $u_o$ | = | $\tau(T_{yc})$ | = | $\sigma_{tresca}$ | = |
| $v_o$ | = | $\tau(T_{yb})_d$ | = | $\sigma_{mises}$ | = |
| A | = | $\tau(T_y)_s$ | = | $\sigma_{st.ven}$ | = |
| $S_u^*$ | = | $\tau(T_y)_d$ | = | $\theta_t$ | = |
| $C_w$ | = | $\sigma$ | = | $r_u$ | = |
| $J_u$ | = | $\tau_s$ | = | $r_v$ | = |
| $J_v$ | = | $\tau_d$ | = | $r_o$ | = |
| $J_t$ | = | $\sigma_{Is}$ | = | $J_p$ | = |
| $\sigma(N)$ | = | $\sigma_{IIs}$ | = | | |
| $\sigma(M_x)$ | = | $\sigma_{Id}$ | = | | |

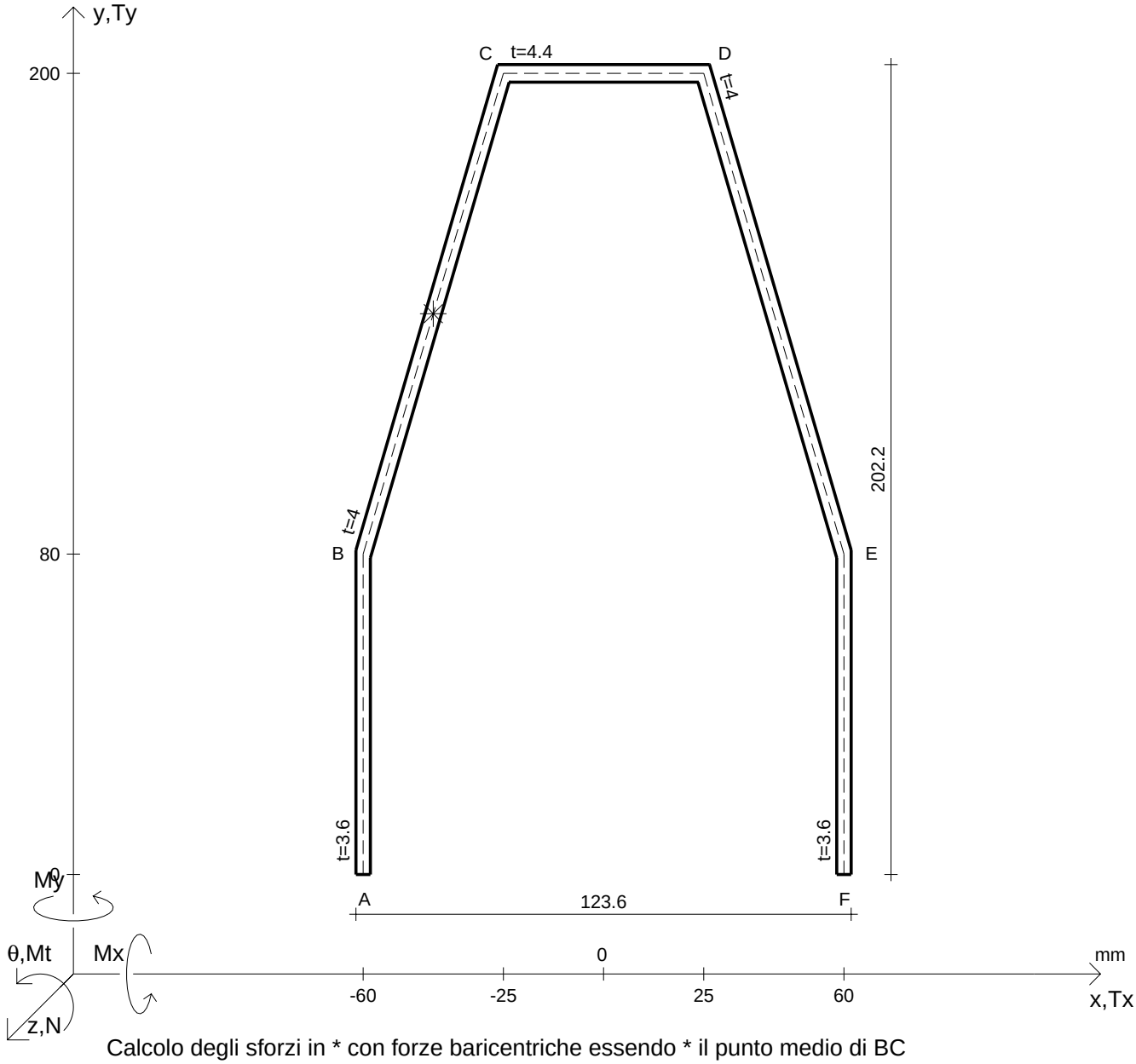


Calcolo degli sforzi in * con forze baricentriche essendo * il punto medio di BC
Rappresentare sul foglio, in scala: G, assi u,v, ellisse d'inerzia, C.T.
Rappresentare i cerchi di Mohr
Operare le conclusioni sulla verifica di resistenza in *
Facoltativo: rappresentare l'asse neutro e l'andamento delle tens. normali.
Facoltativo: rappresentare l'andamento delle tens. tangenziali.

| | | | | | |
|---|---|---|---|---|---|
| $N$ | = 103000 N | $M_x$ | = 5070000 Nmm | $G$ | = 73000 N/mm$^2$ |
| $T_y$ | = 58900 N | $\sigma_a$ | = 220 N/mm$^2$ | | |
| $M_t$ | = 139000 Nmm | $E$ | = 200000 N/mm$^2$ | | |
| $y_G$ | = | $\tau(M_t)_d$ | = | $\sigma_{IId}$ | = |
| $u_o$ | = | $\tau(T_{yc})$ | = | $\sigma_{tresca}$ | = |
| $v_o$ | = | $\tau(T_{yb})_d$ | = | $\sigma_{mises}$ | = |
| $A$ | = | $\tau(T_y)_s$ | = | $\sigma_{st.ven}$ | = |
| $S_u^*$ | = | $\tau(T_y)_d$ | = | $\theta_t$ | = |
| $C_w$ | = | $\sigma$ | = | $r_u$ | = |
| $J_u$ | = | $\tau_s$ | = | $r_v$ | = |
| $J_v$ | = | $\tau_d$ | = | $r_o$ | = |
| $J_t$ | = | $\sigma_{Is}$ | = | $J_p$ | = |
| $\sigma(N)$ | = | $\sigma_{IIs}$ | = | | |
| $\sigma(M_x)$ | = | $\sigma_{Id}$ | = | | |

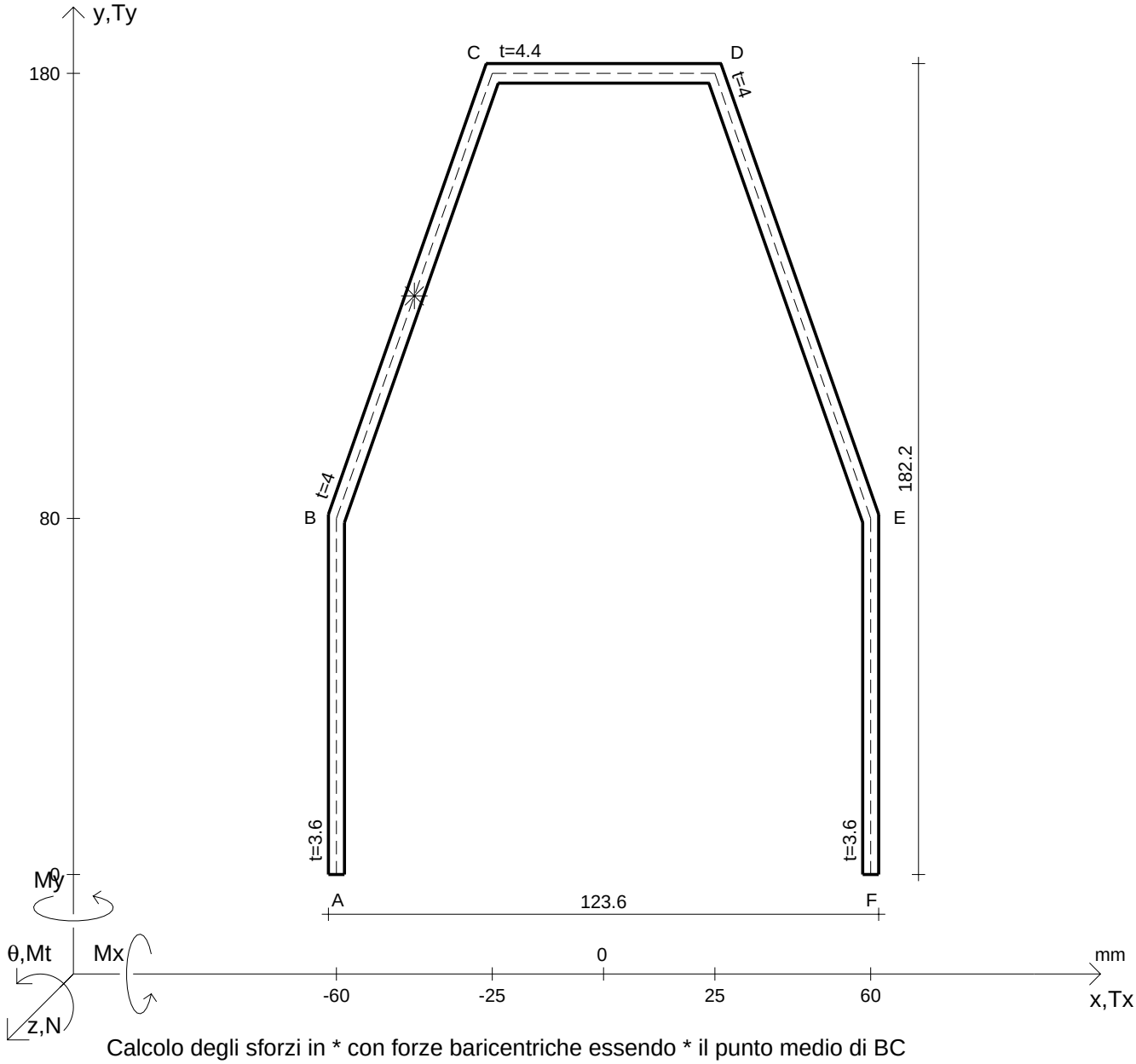


Calcolo degli sforzi in * con forze baricentriche essendo * il punto medio di BC
Rappresentare sul foglio, in scala: G, assi u,v, ellisse d'inerzia, C.T.
Rappresentare i cerchi di Mohr
Operare le conclusioni sulla verifica di resistenza in *
Facoltativo: rappresentare l'asse neutro e l'andamento delle tens. normali.
Facoltativo: rappresentare l'andamento delle tens. tangenziali.

| | | | | | |
|---|---|---|---|---|---|
| N | = 71300 N | $M_x$ | = 4660000 Nmm | G | = 73000 N/mm$^2$ |
| $T_y$ | = 58200 N | $\sigma_a$ | = 220 N/mm$^2$ | | |
| $M_t$ | = 143000 Nmm | E | = 200000 N/mm$^2$ | | |
| $y_G$ | = | $\tau(M_t)_d$ | = | $\sigma_{IId}$ | = |
| $u_o$ | = | $\tau(T_{yc})$ | = | $\sigma_{tresca}$ | = |
| $v_o$ | = | $\tau(T_{yb})_d$ | = | $\sigma_{mises}$ | = |
| A | = | $\tau(T_y)_s$ | = | $\sigma_{st.ven}$ | = |
| $S_u^*$ | = | $\tau(T_y)_d$ | = | $\theta_t$ | = |
| $C_w$ | = | $\sigma$ | = | $r_u$ | = |
| $J_u$ | = | $\tau_s$ | = | $r_v$ | = |
| $J_v$ | = | $\tau_d$ | = | $r_o$ | = |
| $J_t$ | = | $\sigma_{Is}$ | = | $J_p$ | = |
| $\sigma(N)$ | = | $\sigma_{IIs}$ | = | | |
| $\sigma(M_x)$ | = | $\sigma_{Id}$ | = | | |

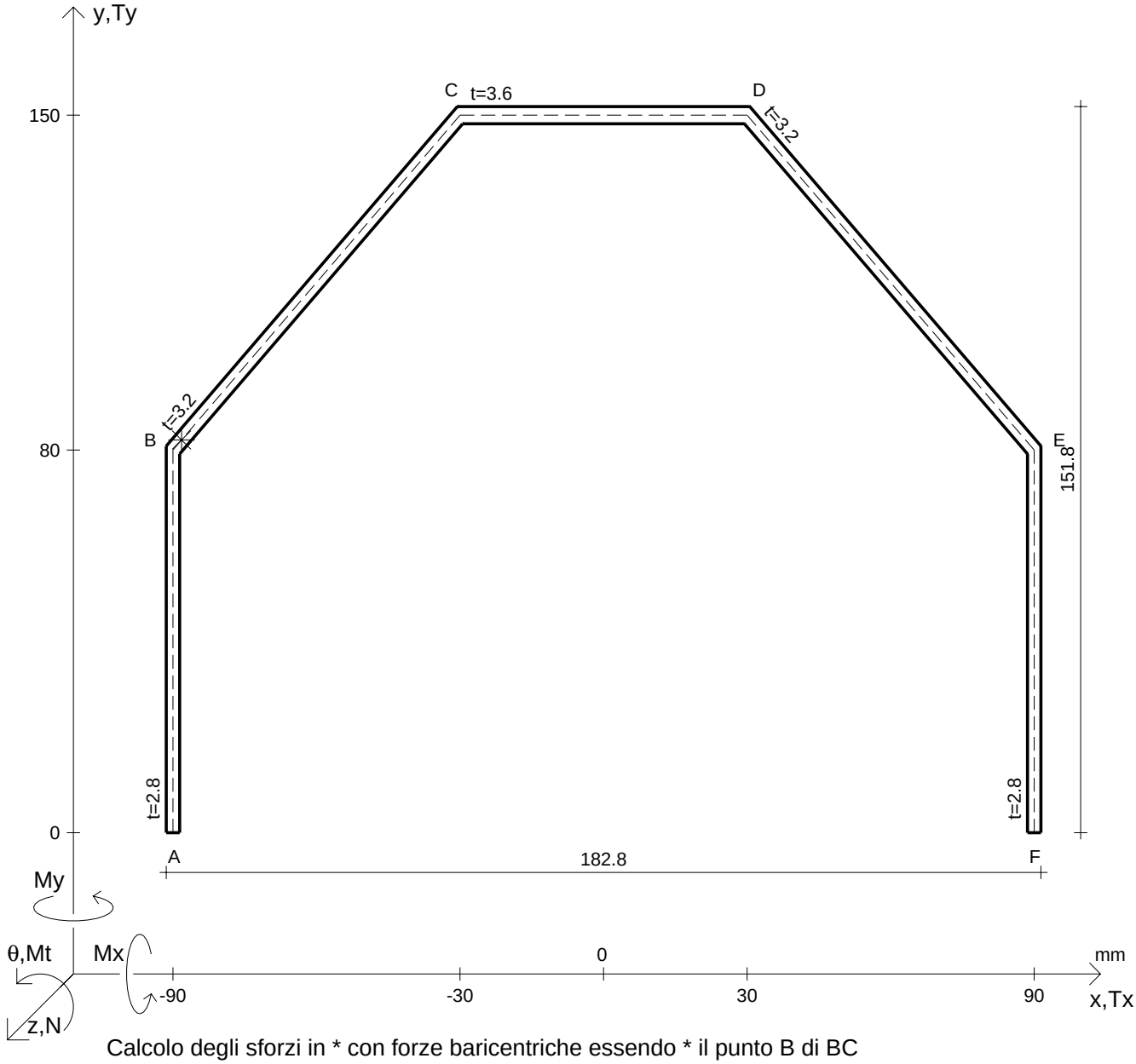


Calcolo degli sforzi in * con forze baricentriche essendo * il punto B di BC
Rappresentare sul foglio, in scala: G, assi u,v, ellisse d'inerzia, C.T.
Rappresentare i cerchi di Mohr
Operare le conclusioni sulla verifica di resistenza in *
Facoltativo: rappresentare l'asse neutro e l'andamento delle tens. normali.
Facoltativo: rappresentare l'andamento delle tens. tangenziali.

| | | | | | |
|---|---|---|---|---|---|
| $N$ | = 62900 N | $M_x$ | = -2070000 Nmm | $G$ | = 73000 N/mm$^2$ |
| $T_y$ | = 41700 N | $\sigma_a$ | = 220 N/mm$^2$ | | |
| $M_t$ | = 97300 Nmm | $E$ | = 200000 N/mm$^2$ | | |
| $y_G$ | = | $\tau(M_t)_d$ | = | $\sigma_{IId}$ | = |
| $u_o$ | = | $\tau(T_{yc})$ | = | $\sigma_{tresca}$ | = |
| $v_o$ | = | $\tau(T_{yb})_d$ | = | $\sigma_{mises}$ | = |
| $A$ | = | $\tau(T_y)_s$ | = | $\sigma_{st.ven}$ | = |
| $S_u^*$ | = | $\tau(T_y)_d$ | = | $\theta_t$ | = |
| $C_w$ | = | $\sigma$ | = | $r_u$ | = |
| $J_u$ | = | $\tau_s$ | = | $r_v$ | = |
| $J_v$ | = | $\tau_d$ | = | $r_o$ | = |
| $J_t$ | = | $\sigma_{Is}$ | = | $J_p$ | = |
| $\sigma(N)$ | = | $\sigma_{IIs}$ | = | | |
| $\sigma(M_x)$ | = | $\sigma_{Id}$ | = | | |

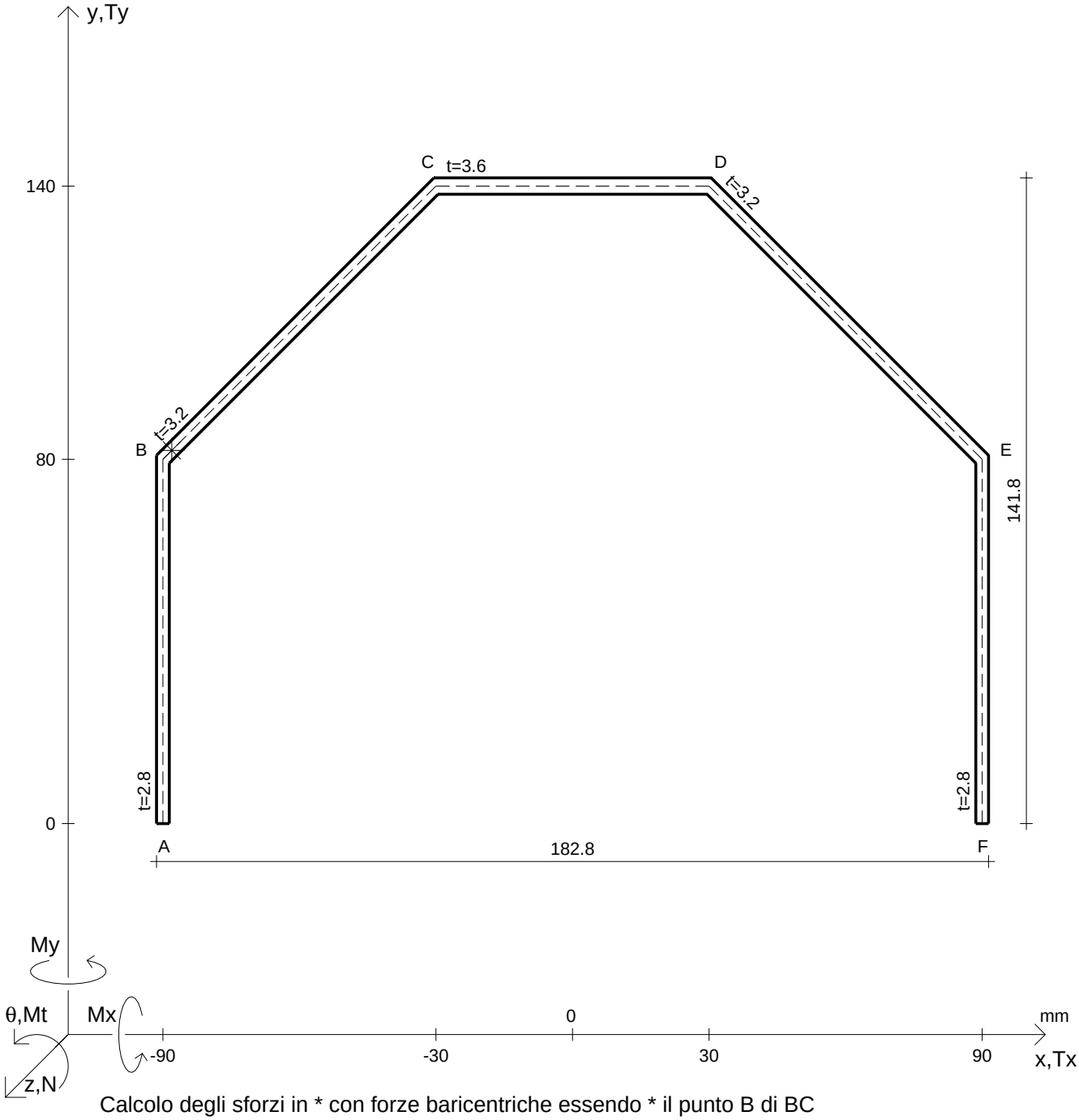


Calcolo degli sforzi in * con forze baricentriche essendo * il punto B di BC
Rappresentare sul foglio, in scala: G, assi u,v, ellisse d'inerzia, C.T.
Rappresentare i cerchi di Mohr
Operare le conclusioni sulla verifica di resistenza in *
Facoltativo: rappresentare l'asse neutro e l'andamento delle tens. normali.
Facoltativo: rappresentare l'andamento delle tens. tangenziali.

| | | | | | | | |
|---|---|---|---|---|---|---|---|
| N | = 67300 N | $M_t$ | = 69400 Nmm | $\sigma_a$ | = 220 N/mm$^2$ | G | = 73000 N/mm$^2$ |
| $T_y$ | = 42200 N | $M_x$ | = -2050000 Nmm | E | = 200000 N/mm$^2$ | | |
| $y_G$ | = | $J_t$ | = | $\sigma$ | = | $\sigma_{mises}$ | = |
| $u_o$ | = | $\sigma(N)$ | = | $\tau_s$ | = | $\sigma_{st.ven}$ | = |
| $v_o$ | = | $\sigma(M_x)$ | = | $\tau_d$ | = | $\theta_t$ | = |
| $A^*$ | = | $\tau(M_t)_d$ | = | $\sigma_{Is}$ | = | $r_u$ | = |
| $S_u^*$ | = | $\tau(T_{yc})$ | = | $\sigma_{IIs}$ | = | $r_v$ | = |
| $C_w$ | = | $\tau(T_{yb})_d$ | = | $\sigma_{Id}$ | = | $r_o$ | = |
| $J_u$ | = | $\tau(T_y)_s$ | = | $\sigma_{IId}$ | = | $J_p$ | = |
| $J_v$ | = | $\tau(T_y)_d$ | = | $\sigma_{tresca}$ | = | | |

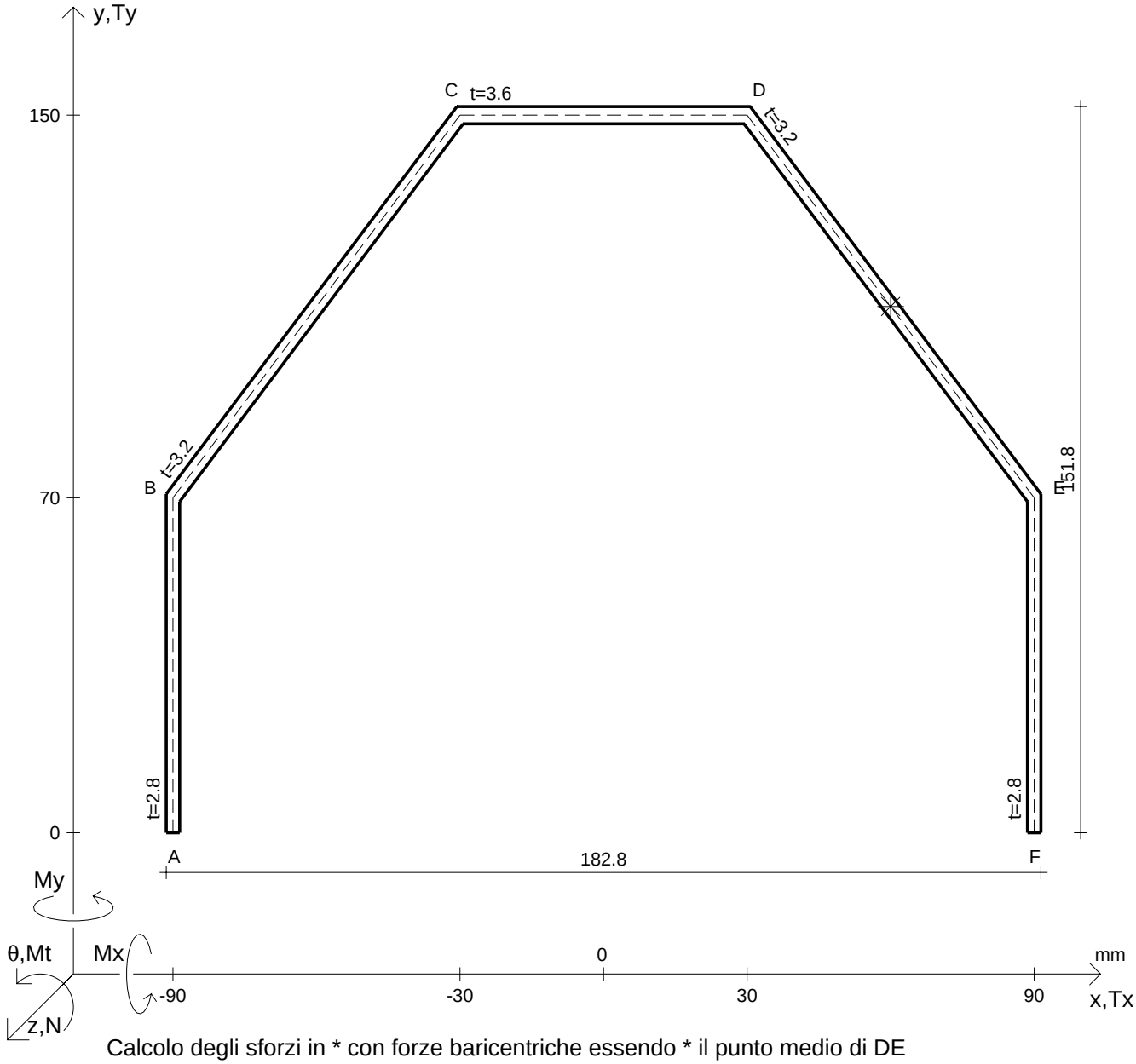


Calcolo degli sforzi in * con forze baricentriche essendo * il punto medio di DE
Rappresentare sul foglio, in scala: G, assi u,v, ellisse d'inerzia, C.T.
Rappresentare i cerchi di Mohr
Operare le conclusioni sulla verifica di resistenza in *
Facoltativo: rappresentare l'asse neutro e l'andamento delle tens. normali.
Facoltativo: rappresentare l'andamento delle tens. tangenziali.

| | | | | | |
|---|---|---|---|---|---|
| $N$ | = 74100 N | $M_x$ | = 2510000 Nmm | $G$ | = 73000 N/mm$^2$ |
| $T_y$ | = 34900 N | $\sigma_a$ | = 220 N/mm$^2$ | | |
| $M_t$ | = 79000 Nmm | $E$ | = 200000 N/mm$^2$ | | |
| $y_G$ | = | $\tau(M_t)_d$ | = | $\sigma_{IId}$ | = |
| $u_o$ | = | $\tau(T_{yc})$ | = | $\sigma_{tresca}$ | = |
| $v_o$ | = | $\tau(T_{yb})_d$ | = | $\sigma_{mises}$ | = |
| $A$ | = | $\tau(T_y)_s$ | = | $\sigma_{st.ven}$ | = |
| $S_u^*$ | = | $\tau(T_y)_d$ | = | $\theta_t$ | = |
| $C_w$ | = | $\sigma$ | = | $r_u$ | = |
| $J_u$ | = | $\tau_s$ | = | $r_v$ | = |
| $J_v$ | = | $\tau_d$ | = | $r_o$ | = |
| $J_t$ | = | $\sigma_{Is}$ | = | $J_p$ | = |
| $\sigma(N)$ | = | $\sigma_{IIs}$ | = | | |
| $\sigma(M_x)$ | = | $\sigma_{Id}$ | = | | |

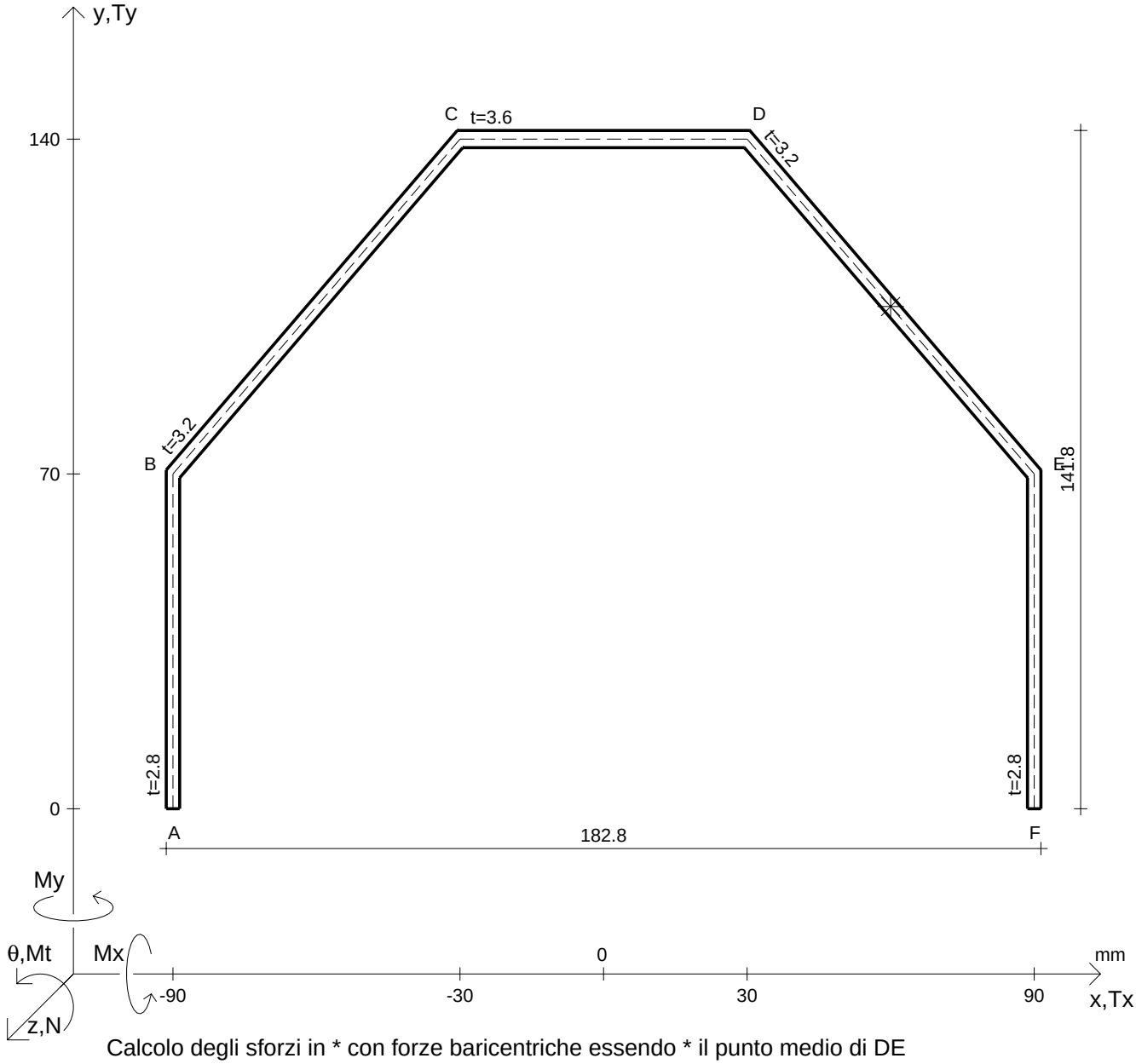


Calcolo degli sforzi in * con forze baricentriche essendo * il punto medio di DE
Rappresentare sul foglio, in scala: G, assi u,v, ellisse d'inerzia, C.T.
Rappresentare i cerchi di Mohr
Operare le conclusioni sulla verifica di resistenza in *
Facoltativo: rappresentare l'asse neutro e l'andamento delle tens. normali.
Facoltativo: rappresentare l'andamento delle tens. tangenziali.

| | | | | | |
|---|---|---|---|---|---|
| N | = 53200 N | $M_x$ | = 2450000 Nmm | G | = 73000 N/mm$^2$ |
| $T_y$ | = 36000 N | $\sigma_a$ | = 220 N/mm$^2$ | | |
| $M_t$ | = 84800 Nmm | E | = 200000 N/mm$^2$ | | |
| $y_G$ | = | $\tau(M_t)_d$ | = | $\sigma_{IId}$ | = |
| $u_o$ | = | $\tau(T_{yc})$ | = | $\sigma_{tresca}$ | = |
| $v_o$ | = | $\tau(T_{yb})_d$ | = | $\sigma_{mises}$ | = |
| A | = | $\tau(T_y)_s$ | = | $\sigma_{st.ven}$ | = |
| $S_u^*$ | = | $\tau(T_y)_d$ | = | $\theta_t$ | = |
| $C_w$ | = | $\sigma$ | = | $r_u$ | = |
| $J_u$ | = | $\tau_s$ | = | $r_v$ | = |
| $J_v$ | = | $\tau_d$ | = | $r_o$ | = |
| $J_t$ | = | $\sigma_{Is}$ | = | $J_p$ | = |
| $\sigma(N)$ | = | $\sigma_{IIs}$ | = | | |
| $\sigma(M_x)$ | = | $\sigma_{Id}$ | = | | |

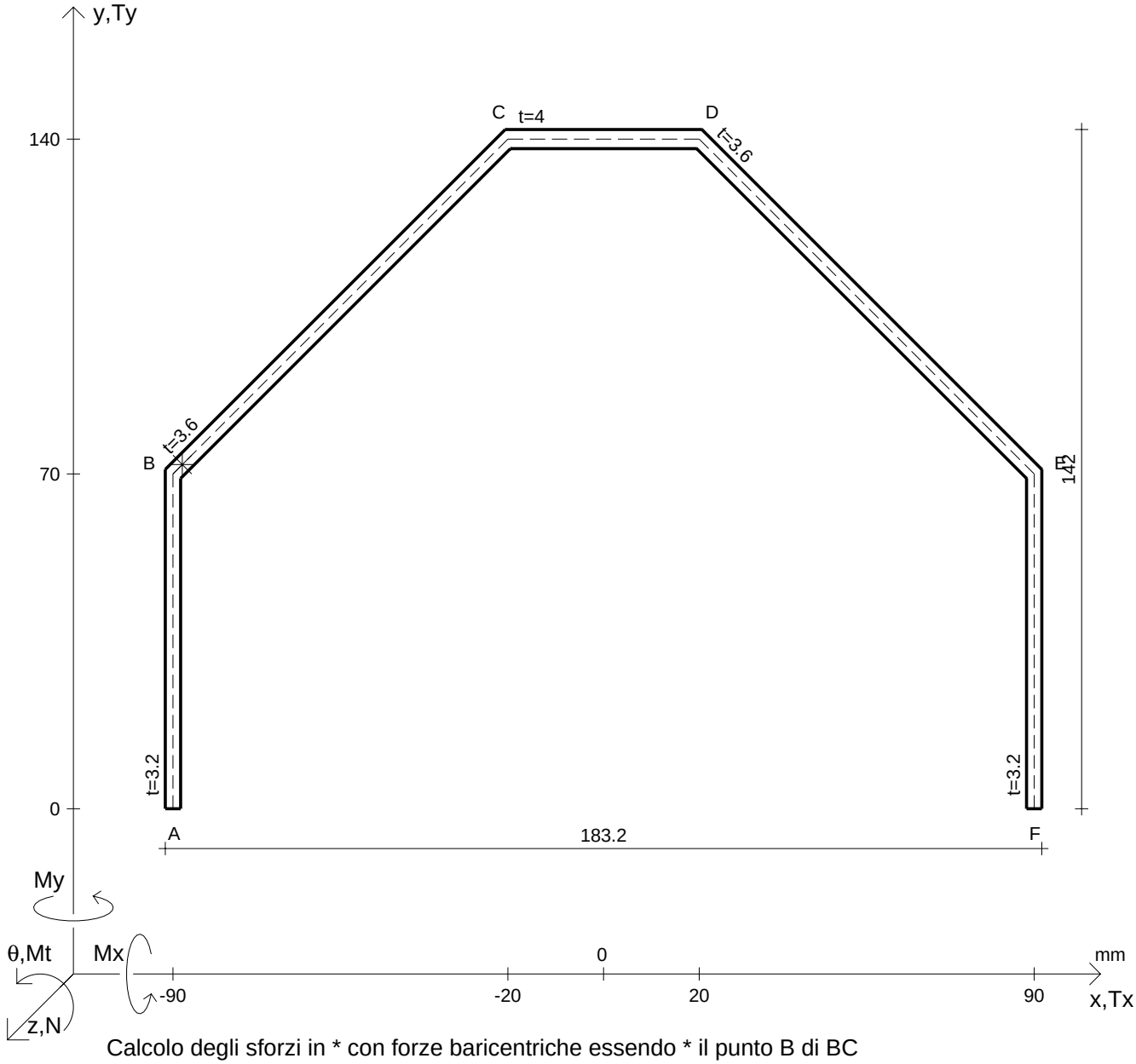


Calcolo degli sforzi in * con forze baricentriche essendo * il punto B di BC
Rappresentare sul foglio, in scala: G, assi u,v, ellisse d'inerzia, C.T.
Rappresentare i cerchi di Mohr
Operare le conclusioni sulla verifica di resistenza in *
Facoltativo: rappresentare l'asse neutro e l'andamento delle tens. normali.
Facoltativo: rappresentare l'andamento delle tens. tangenziali.

| | | | | | |
|---|---|---|---|---|---|
| N | = 65200 N | $M_x$ | = -1950000 Nmm | G | = 73000 N/mm$^2$ |
| $T_y$ | = 43700 N | $\sigma_a$ | = 220 N/mm$^2$ | | |
| $M_t$ | = 114000 Nmm | E | = 200000 N/mm$^2$ | | |
| $y_G$ | = | $\tau(M_t)_d$ | = | $\sigma_{IId}$ | = |
| $u_o$ | = | $\tau(T_{yc})$ | = | $\sigma_{tresca}$ | = |
| $v_o$ | = | $\tau(T_{yb})_d$ | = | $\sigma_{mises}$ | = |
| A | = | $\tau(T_y)_s$ | = | $\sigma_{st.ven}$ | = |
| $S_u^*$ | = | $\tau(T_y)_d$ | = | $\theta_t$ | = |
| $C_w$ | = | $\sigma$ | = | $r_u$ | = |
| $J_u$ | = | $\tau_s$ | = | $r_v$ | = |
| $J_v$ | = | $\tau_d$ | = | $r_o$ | = |
| $J_t$ | = | $\sigma_{Is}$ | = | $J_p$ | = |
| $\sigma(N)$ | = | $\sigma_{IIs}$ | = | | |
| $\sigma(M_x)$ | = | $\sigma_{Id}$ | = | | |

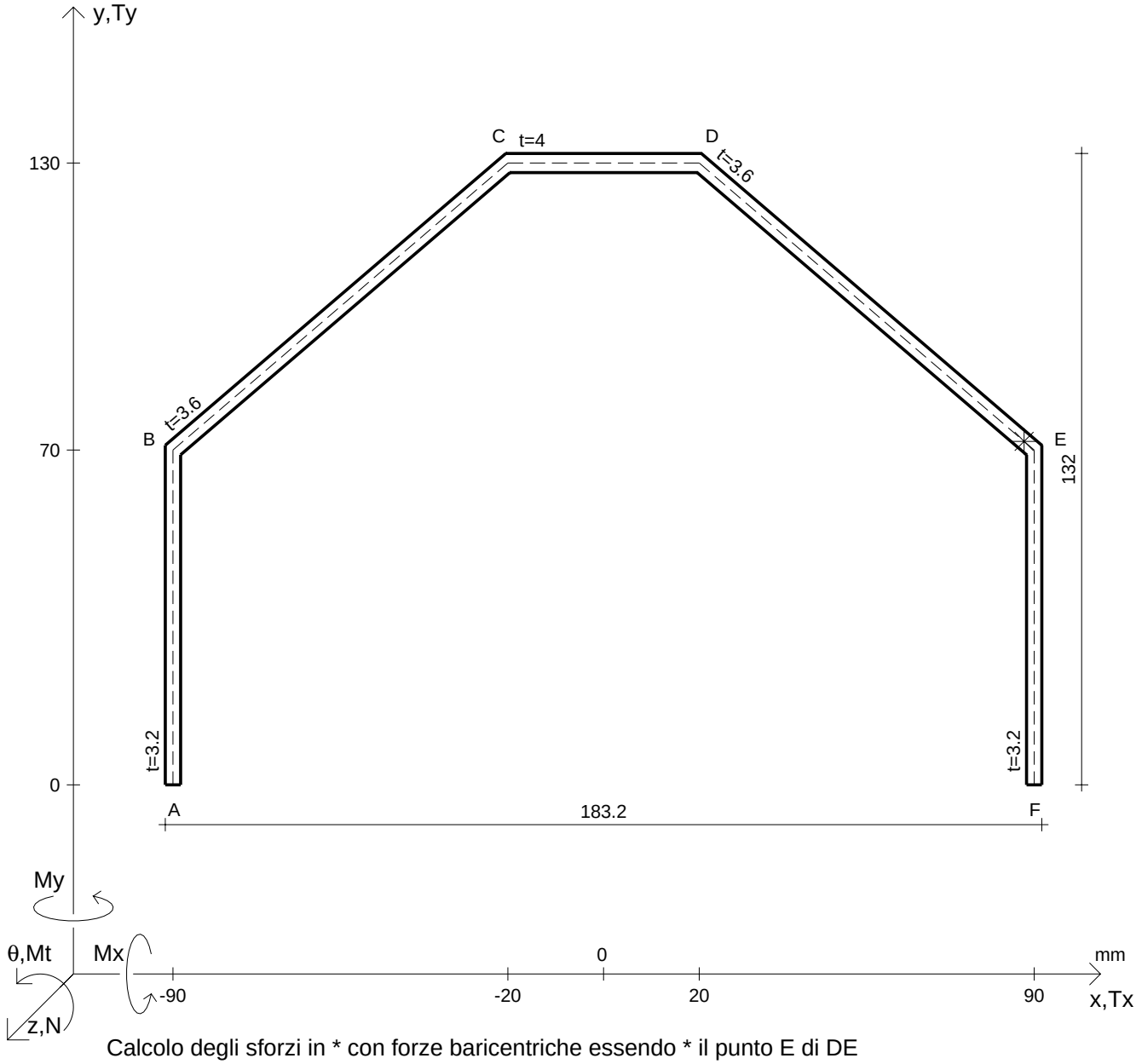


Calcolo degli sforzi in * con forze baricentriche essendo * il punto E di DE
Rappresentare sul foglio, in scala: G, assi u,v, ellisse d'inerzia, C.T.
Rappresentare i cerchi di Mohr
Operare le conclusioni sulla verifica di resistenza in *
Facoltativo: rappresentare l'asse neutro e l'andamento delle tens. normali.
Facoltativo: rappresentare l'andamento delle tens. tangenziali.

| | | | | | |
|---|---|---|---|---|---|
| $N$ | = 69700 N | $M_x$ | = -1910000 Nmm | $G$ | = 73000 N/mm$^2$ |
| $T_y$ | = 43800 N | $\sigma_a$ | = 220 N/mm$^2$ | | |
| $M_t$ | = 81600 Nmm | $E$ | = 200000 N/mm$^2$ | | |
| $y_G$ | = | $\tau(M_t)_d$ | = | $\sigma_{IId}$ | = |
| $u_o$ | = | $\tau(T_{yc})$ | = | $\sigma_{tresca}$ | = |
| $v_o$ | = | $\tau(T_{yb})_d$ | = | $\sigma_{mises}$ | = |
| $A$ | = | $\tau(T_y)_s$ | = | $\sigma_{st.ven}$ | = |
| $S_u^*$ | = | $\tau(T_y)_d$ | = | $\theta_t$ | = |
| $C_w$ | = | $\sigma$ | = | $r_u$ | = |
| $J_u$ | = | $\tau_s$ | = | $r_v$ | = |
| $J_v$ | = | $\tau_d$ | = | $r_o$ | = |
| $J_t$ | = | $\sigma_{Is}$ | = | $J_p$ | = |
| $\sigma(N)$ | = | $\sigma_{IIs}$ | = | | |
| $\sigma(M_x)$ | = | $\sigma_{Id}$ | = | | |

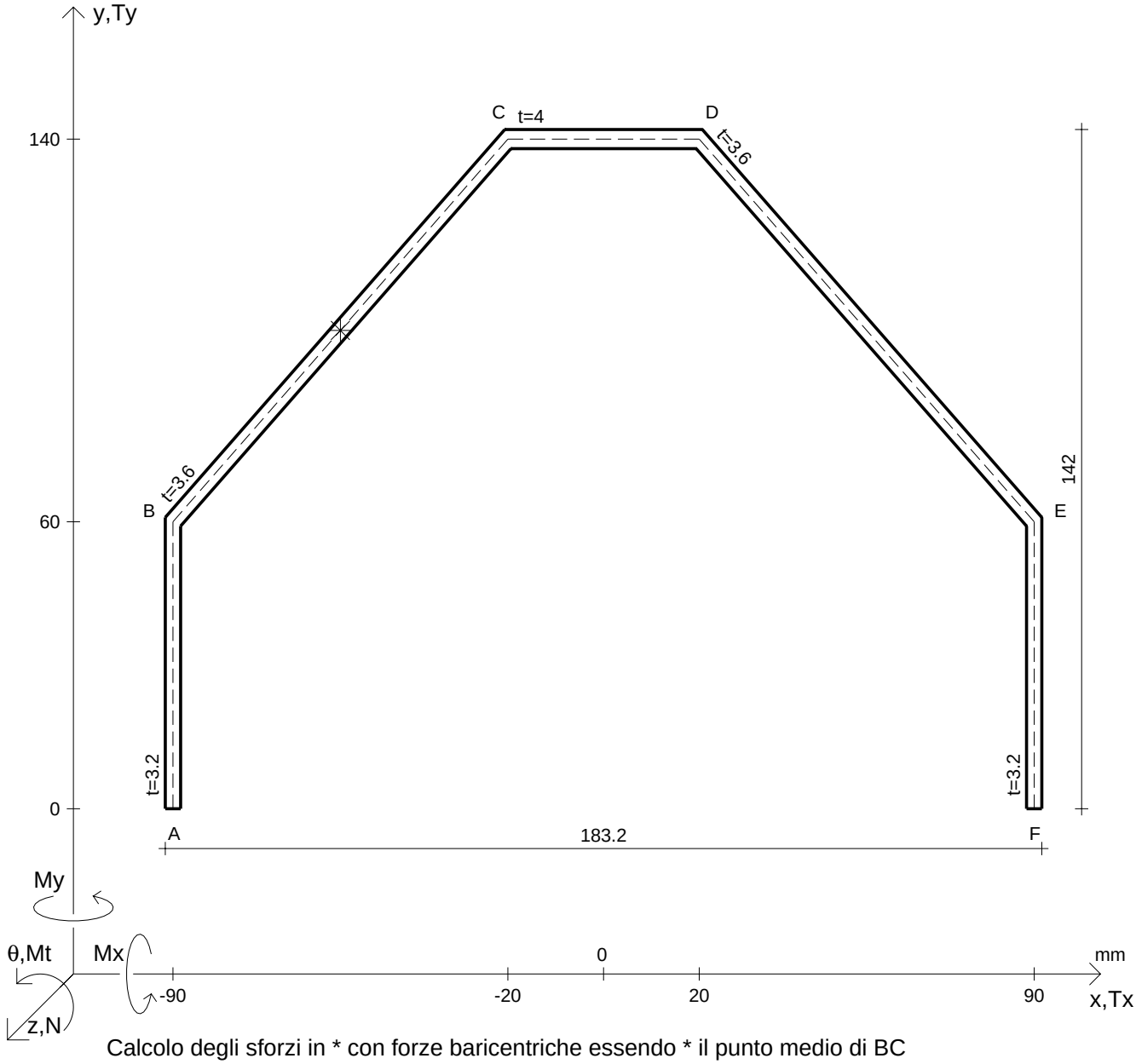


Calcolo degli sforzi in * con forze baricentriche essendo * il punto medio di BC
Rappresentare sul foglio, in scala: G, assi u,v, ellisse d'inerzia, C.T.
Rappresentare i cerchi di Mohr
Operare le conclusioni sulla verifica di resistenza in *
Facoltativo: rappresentare l'asse neutro e l'andamento delle tens. normali.
Facoltativo: rappresentare l'andamento delle tens. tangenziali.

| | | | | | |
|---|---|---|---|---|---|
| $N$ | = 75700 N | $M_x$ | = 2340000 Nmm | $G$ | = 73000 N/mm$^2$ |
| $T_y$ | = 36800 N | $\sigma_a$ | = 220 N/mm$^2$ | | |
| $M_t$ | = 91400 Nmm | $E$ | = 200000 N/mm$^2$ | | |
| $y_G$ | = | $\tau(M_t)_d$ | = | $\sigma_{IId}$ | = |
| $u_o$ | = | $\tau(T_{yc})$ | = | $\sigma_{tresca}$ | = |
| $v_o$ | = | $\tau(T_{yb})_d$ | = | $\sigma_{mises}$ | = |
| $A$ | = | $\tau(T_y)_s$ | = | $\sigma_{st.ven}$ | = |
| $S_u^*$ | = | $\tau(T_y)_d$ | = | $\theta_t$ | = |
| $C_w$ | = | $\sigma$ | = | $r_u$ | = |
| $J_u$ | = | $\tau_s$ | = | $r_v$ | = |
| $J_v$ | = | $\tau_d$ | = | $r_o$ | = |
| $J_t$ | = | $\sigma_{Is}$ | = | $J_p$ | = |
| $\sigma(N)$ | = | $\sigma_{IIs}$ | = | | |
| $\sigma(M_x)$ | = | $\sigma_{Id}$ | = | | |

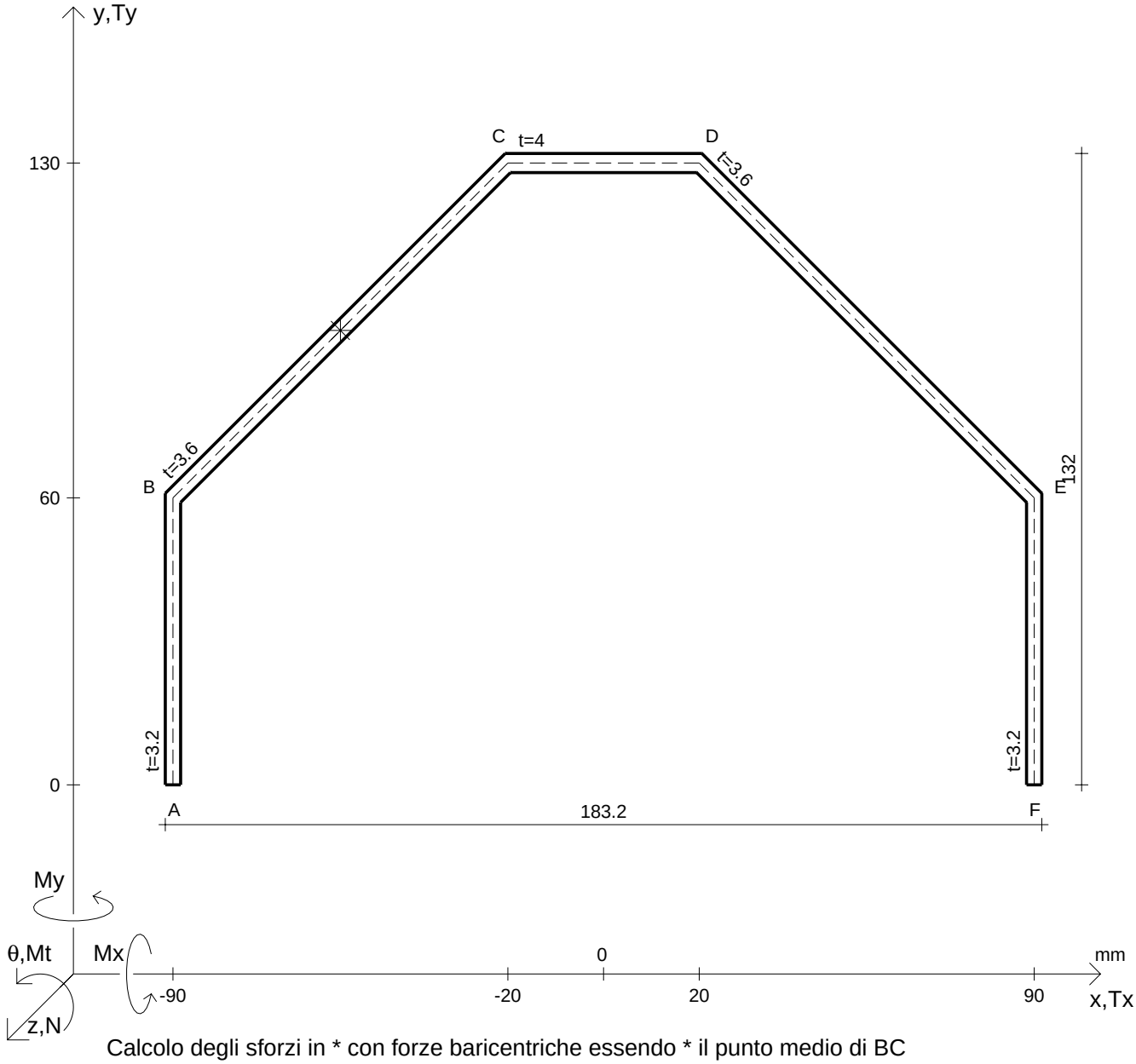


Calcolo degli sforzi in * con forze baricentriche essendo * il punto medio di BC
Rappresentare sul foglio, in scala: G, assi u,v, ellisse d'inerzia, C.T.
Rappresentare i cerchi di Mohr
Operare le conclusioni sulla verifica di resistenza in *
Facoltativo: rappresentare l'asse neutro e l'andamento delle tens. normali.
Facoltativo: rappresentare l'andamento delle tens. tangenziali.

| | | | | | |
|---|---|---|---|---|---|
| N | = 54500 N | $M_x$ | = 2270000 Nmm | G | = 73000 N/mm$^2$ |
| $T_y$ | = 37700 N | $\sigma_a$ | = 220 N/mm$^2$ | | |
| $M_t$ | = 98400 Nmm | E | = 200000 N/mm$^2$ | | |
| $y_G$ | = | $\tau(M_t)_d$ | = | $\sigma_{IId}$ | = |
| $u_o$ | = | $\tau(T_{yc})$ | = | $\sigma_{tresca}$ | = |
| $v_o$ | = | $\tau(T_{yb})_d$ | = | $\sigma_{mises}$ | = |
| A | = | $\tau(T_y)_s$ | = | $\sigma_{st.ven}$ | = |
| $S_u^*$ | = | $\tau(T_y)_d$ | = | $\theta_t$ | = |
| $C_w$ | = | $\sigma$ | = | $r_u$ | = |
| $J_u$ | = | $\tau_s$ | = | $r_v$ | = |
| $J_v$ | = | $\tau_d$ | = | $r_o$ | = |
| $J_t$ | = | $\sigma_{Is}$ | = | $J_p$ | = |
| $\sigma(N)$ | = | $\sigma_{IIs}$ | = | | |
| $\sigma(M_x)$ | = | $\sigma_{Id}$ | = | | |

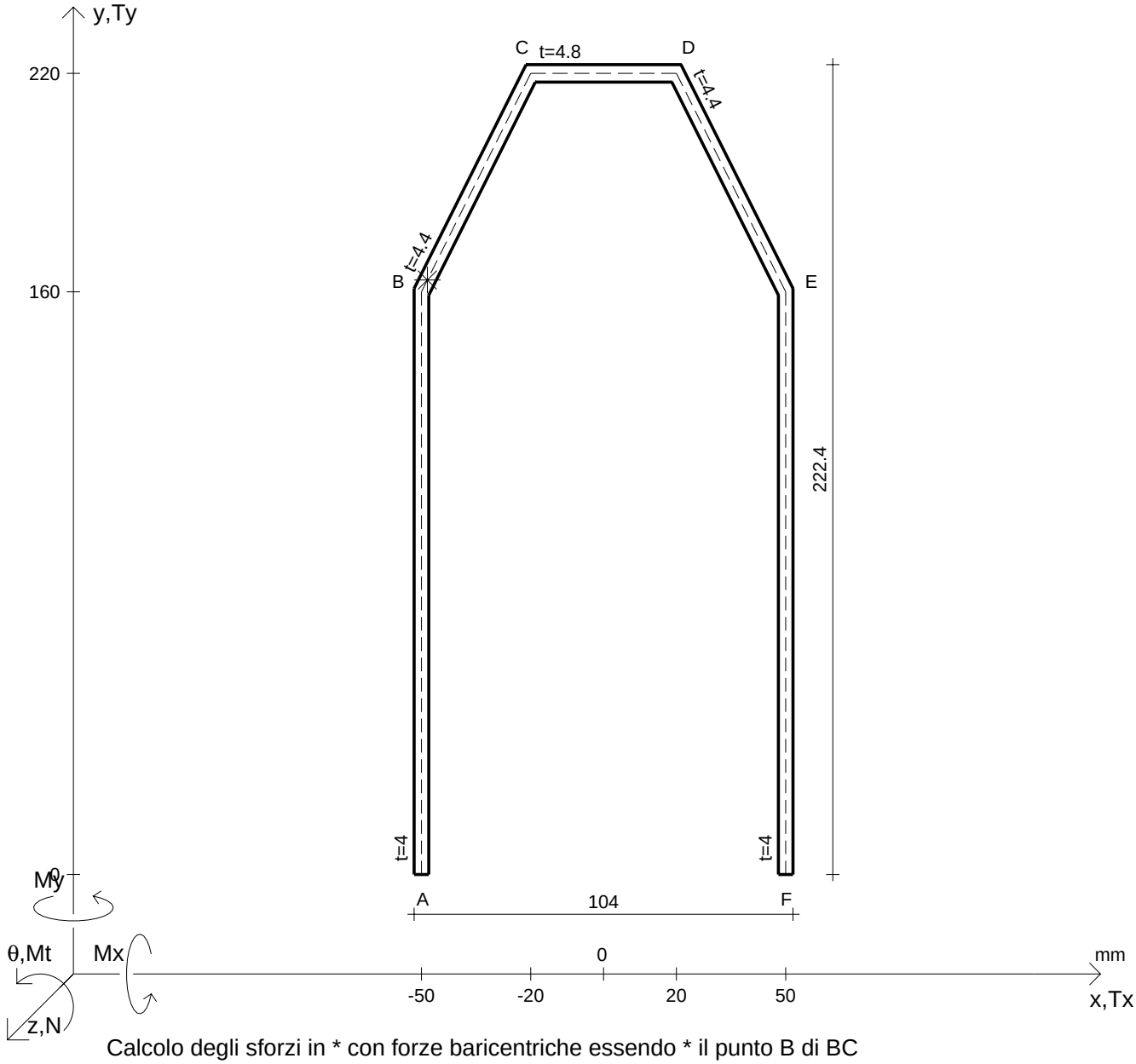


Calcolo degli sforzi in * con forze baricentriche essendo * il punto B di BC
Rappresentare sul foglio, in scala: G, assi u,v, ellisse d'inerzia, C.T.
Rappresentare i cerchi di Mohr
Operare le conclusioni sulla verifica di resistenza in *
Facoltativo: rappresentare l'asse neutro e l'andamento delle tens. normali.
Facoltativo: rappresentare l'andamento delle tens. tangenziali.

| | | | | | |
|---|---|---|---|---|---|
| $N$ | = 98800 N | $M_x$ | = 5350000 Nmm | $G$ | = 73000 N/mm$^2$ |
| $T_y$ | = 86700 N | $\sigma_a$ | = 220 N/mm$^2$ | | |
| $M_t$ | = 204000 Nmm | $E$ | = 200000 N/mm$^2$ | | |
| $y_G$ | = | $\tau(M_t)_d$ | = | $\sigma_{IId}$ | = |
| $u_o$ | = | $\tau(T_{yc})$ | = | $\sigma_{tresca}$ | = |
| $v_o$ | = | $\tau(T_{yb})_d$ | = | $\sigma_{mises}$ | = |
| $A$ | = | $\tau(T_y)_s$ | = | $\sigma_{st.ven}$ | = |
| $S_u^*$ | = | $\tau(T_y)_d$ | = | $\theta_t$ | = |
| $C_w$ | = | $\sigma$ | = | $r_u$ | = |
| $J_u$ | = | $\tau_s$ | = | $r_v$ | = |
| $J_v$ | = | $\tau_d$ | = | $r_o$ | = |
| $J_t$ | = | $\sigma_{Is}$ | = | $J_p$ | = |
| $\sigma(N)$ | = | $\sigma_{IIs}$ | = | | |
| $\sigma(M_x)$ | = | $\sigma_{Id}$ | = | | |

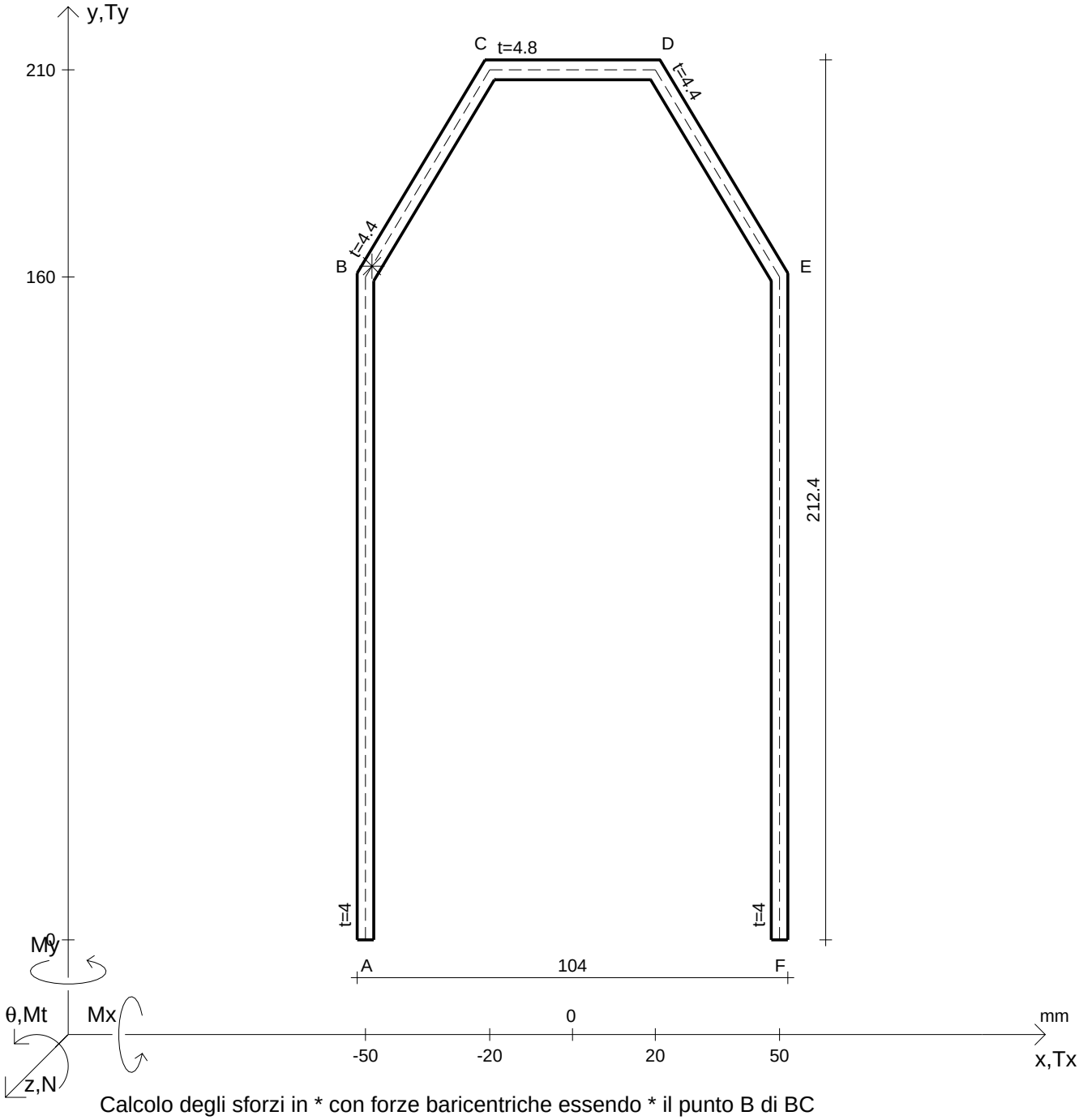


Calcolo degli sforzi in * con forze baricentriche essendo * il punto B di BC
Rappresentare sul foglio, in scala: G, assi u,v, ellisse d'inerzia, C.T.
Rappresentare i cerchi di Mohr
Operare le conclusioni sulla verifica di resistenza in *
Facoltativo: rappresentare l'asse neutro e l'andamento delle tens. normali.
Facoltativo: rappresentare l'andamento delle tens. tangenziali.

| | | | | | | | |
|---|---|---|---|---|---|---|---|
| N | = 104000 N | $M_t$ | = 144000 Nmm | $\sigma_a$ | = 220 N/mm$^2$ | G | = 73000 N/mm$^2$ |
| $T_y$ | = 93400 N | $M_x$ | = 5480000 Nmm | E | = 200000 N/mm$^2$ | | |
| $y_G$ | = | $J_t$ | = | $\sigma$ | = | $\sigma_{mises}$ | = |
| $u_o$ | = | $\sigma(N)$ | = | $\tau_s$ | = | $\sigma_{st.ven}$ | = |
| $v_o$ | = | $\sigma(M_x)$ | = | $\tau_d$ | = | $\theta_t$ | = |
| $A_*$ | = | $\tau(M_t)_d$ | = | $\sigma_{ls}$ | = | $r_u$ | = |
| $S_u^*$ | = | $\tau(T_{yc})$ | = | $\sigma_{lls}$ | = | $r_v$ | = |
| $C_w$ | = | $\tau(T_{yb})_d$ | = | $\sigma_{ld}$ | = | $r_o$ | = |
| $J_u$ | = | $\tau(T_y)_s$ | = | $\sigma_{lld}$ | = | $J_p$ | = |
| $J_v$ | = | $\tau(T_y)_d$ | = | $\sigma_{tresca}$ | = | | |

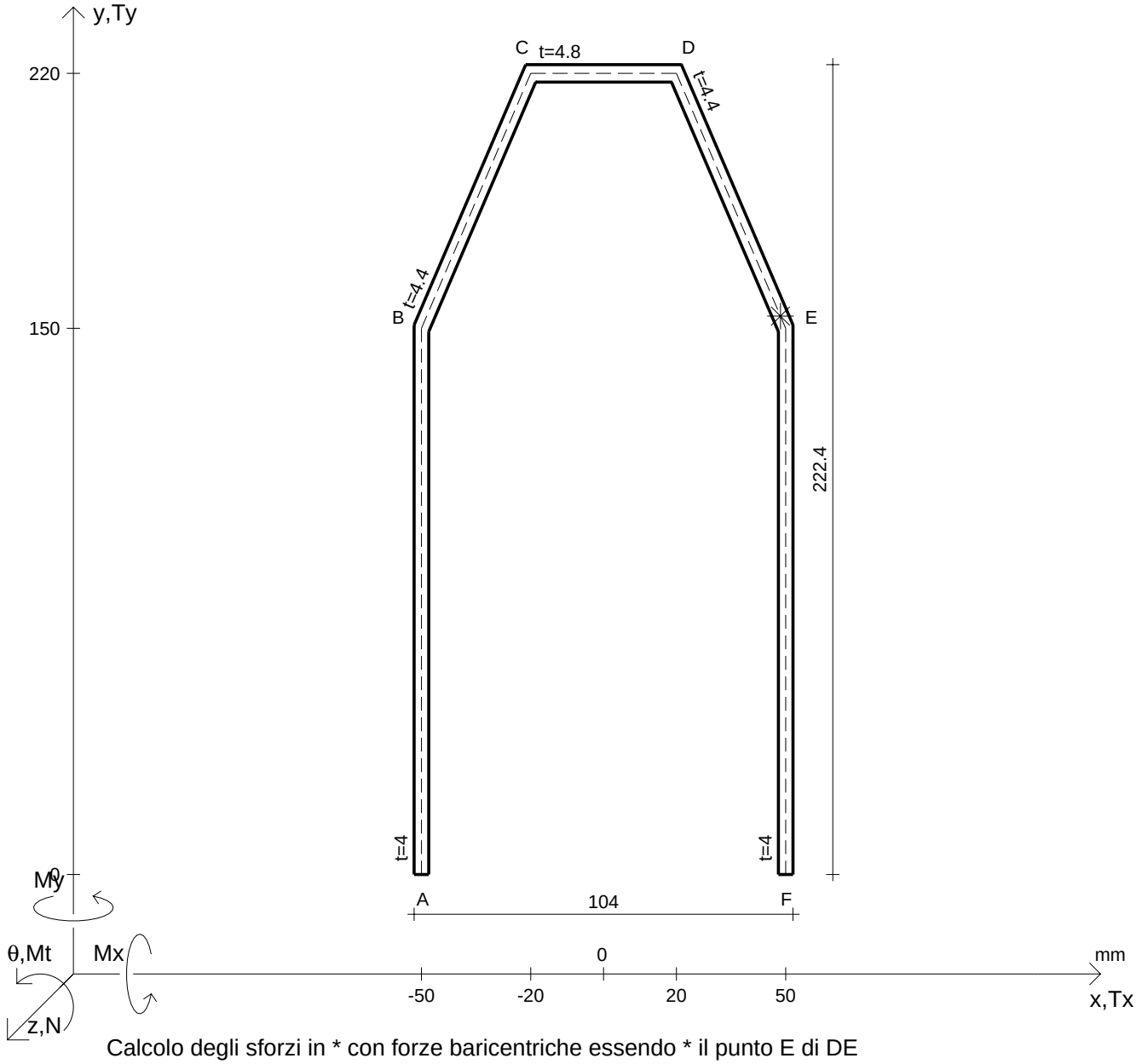


Calcolo degli sforzi in * con forze baricentriche essendo * il punto E di DE
Rappresentare sul foglio, in scala: G, assi u,v, ellisse d'inerzia, C.T.
Rappresentare i cerchi di Mohr
Operare le conclusioni sulla verifica di resistenza in *
Facoltativo: rappresentare l'asse neutro e l'andamento delle tens. normali.
Facoltativo: rappresentare l'andamento delle tens. tangenziali.

| | | | | | |
|---|---|---|---|---|---|
| $N$ | = 120000 N | $M_x$ | = 6650000 Nmm | $G$ | = 73000 N/mm$^2$ |
| $T_y$ | = 67900 N | $\sigma_a$ | = 220 N/mm$^2$ | | |
| $M_t$ | = 172000 Nmm | $E$ | = 200000 N/mm$^2$ | | |
| $y_G$ | = | $\tau(M_t)_d$ | = | $\sigma_{IId}$ | = |
| $u_o$ | = | $\tau(T_{yc})$ | = | $\sigma_{tresca}$ | = |
| $v_o$ | = | $\tau(T_{yb})_d$ | = | $\sigma_{mises}$ | = |
| $A$ | = | $\tau(T_y)_s$ | = | $\sigma_{st.ven}$ | = |
| $S_u^*$ | = | $\tau(T_y)_d$ | = | $\theta_t$ | = |
| $C_w$ | = | $\sigma$ | = | $r_u$ | = |
| $J_u$ | = | $\tau_s$ | = | $r_v$ | = |
| $J_v$ | = | $\tau_d$ | = | $r_o$ | = |
| $J_t$ | = | $\sigma_{Is}$ | = | $J_p$ | = |
| $\sigma(N)$ | = | $\sigma_{IIs}$ | = | | |
| $\sigma(M_x)$ | = | $\sigma_{Id}$ | = | | |

 25.05.15

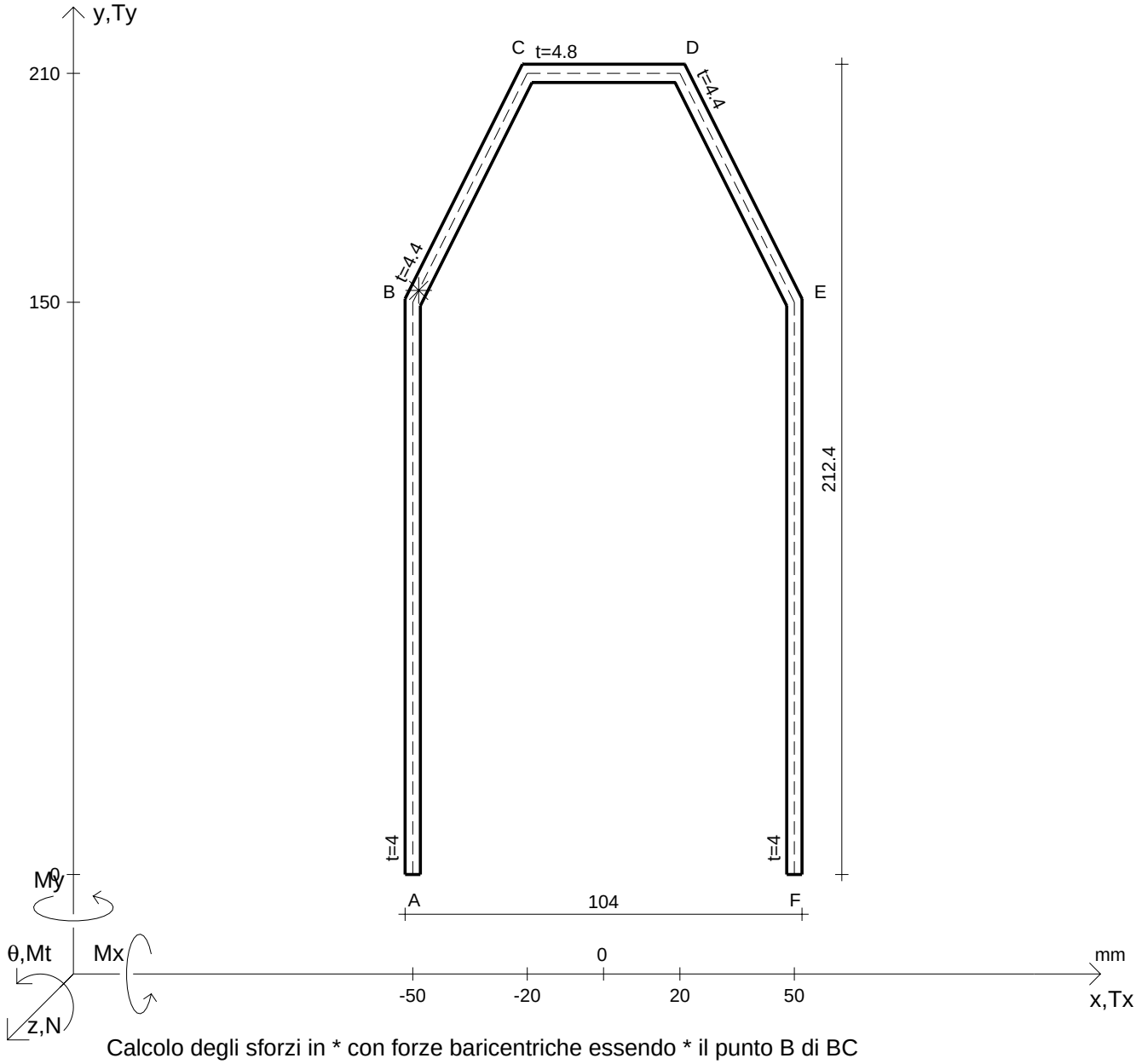


Calcolo degli sforzi in * con forze baricentriche essendo * il punto B di BC
Rappresentare sul foglio, in scala: G, assi u,v, ellisse d'inerzia, C.T.
Rappresentare i cerchi di Mohr
Operare le conclusioni sulla verifica di resistenza in *
Facoltativo: rappresentare l'asse neutro e l'andamento delle tens. normali.
Facoltativo: rappresentare l'andamento delle tens. tangenziali.

| | | | | | |
|---|---|---|---|---|---|
| N | = 85200 N | $M_x$ | = 6650000 Nmm | G | = 73000 N/mm$^2$ |
| $T_y$ | = 74000 N | $\sigma_a$ | = 220 N/mm$^2$ | | |
| $M_t$ | = 181000 Nmm | E | = 200000 N/mm$^2$ | | |
| $y_G$ | = | $\tau(M_t)_d$ | = | $\sigma_{IId}$ | = |
| $u_o$ | = | $\tau(T_{yc})$ | = | $\sigma_{tresca}$ | = |
| $v_o$ | = | $\tau(T_{yb})_d$ | = | $\sigma_{mises}$ | = |
| A | = | $\tau(T_y)_s$ | = | $\sigma_{st.ven}$ | = |
| $S_u^*$ | = | $\tau(T_y)_d$ | = | $\theta_t$ | = |
| $C_w$ | = | $\sigma$ | = | $r_u$ | = |
| $J_u$ | = | $\tau_s$ | = | $r_v$ | = |
| $J_v$ | = | $\tau_d$ | = | $r_o$ | = |
| $J_t$ | = | $\sigma_{Is}$ | = | $J_p$ | = |
| $\sigma(N)$ | = | $\sigma_{IIs}$ | = | | |
| $\sigma(M_x)$ | = | $\sigma_{Id}$ | = | | |

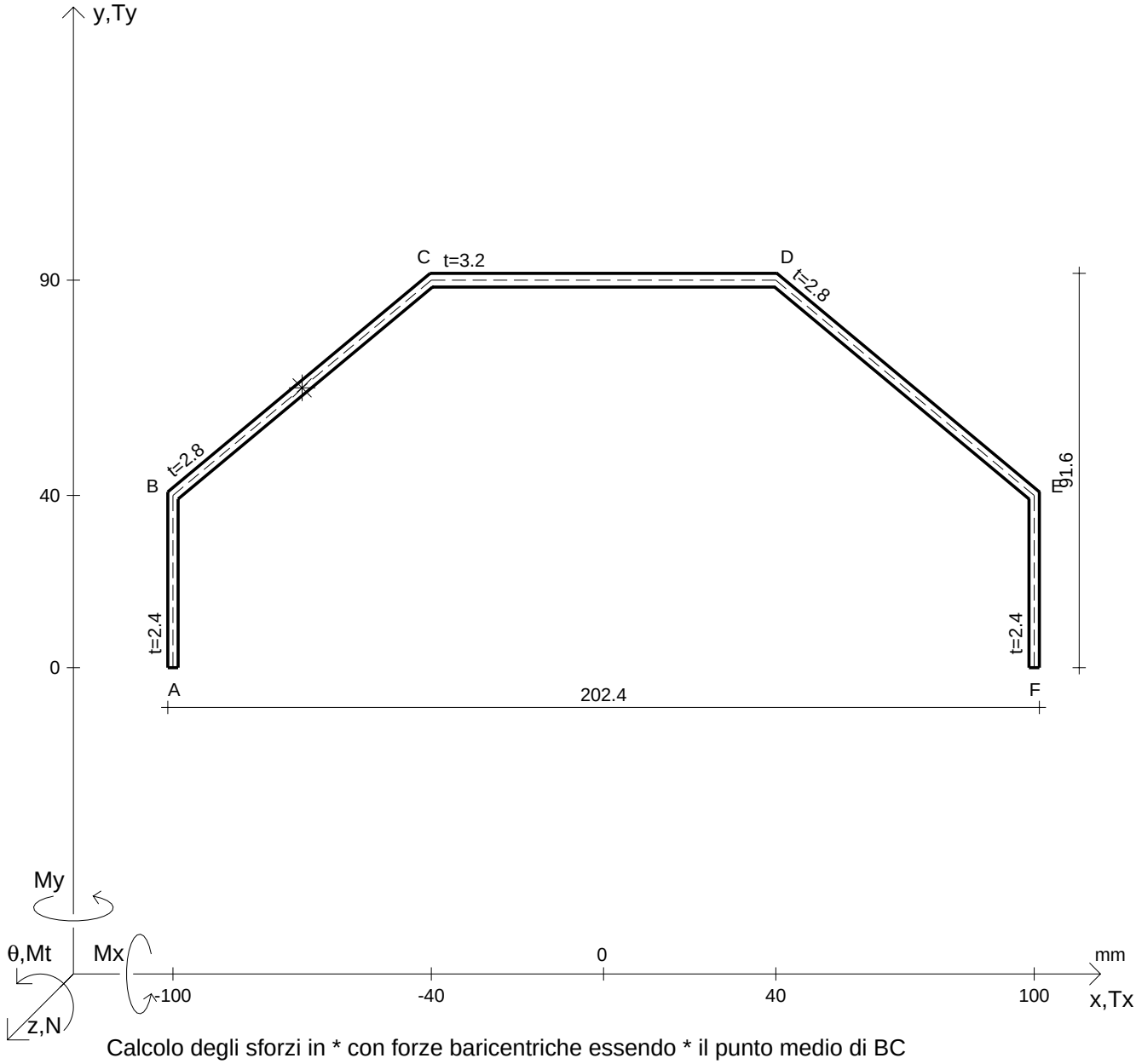


Calcolo degli sforzi in * con forze baricentriche essendo * il punto medio di BC
Rappresentare sul foglio, in scala: G, assi u,v, ellisse d'inerzia, C.T.
Rappresentare i cerchi di Mohr
Operare le conclusioni sulla verifica di resistenza in *
Facoltativo: rappresentare l'asse neutro e l'andamento delle tens. normali.
Facoltativo: rappresentare l'andamento delle tens. tangenziali.

| | | | | | |
|---|---|---|---|---|---|
| $N$ | = 42700 N | $M_x$ | = 729000 Nmm | $G$ | = 73000 N/mm$^2$ |
| $T_y$ | = 22800 N | $\sigma_a$ | = 220 N/mm$^2$ | | |
| $M_t$ | = 60900 Nmm | $E$ | = 200000 N/mm$^2$ | | |
| $y_G$ | = | $\tau(M_t)_d$ | = | $\sigma_{IId}$ | = |
| $u_o$ | = | $\tau(T_{yc})$ | = | $\sigma_{tresca}$ | = |
| $v_o$ | = | $\tau(T_{yb})_d$ | = | $\sigma_{mises}$ | = |
| $A$ | = | $\tau(T_y)_s$ | = | $\sigma_{st.ven}$ | = |
| $S_u^*$ | = | $\tau(T_y)_d$ | = | $\theta_t$ | = |
| $C_w$ | = | $\sigma$ | = | $r_u$ | = |
| $J_u$ | = | $\tau_s$ | = | $r_v$ | = |
| $J_v$ | = | $\tau_d$ | = | $r_o$ | = |
| $J_t$ | = | $\sigma_{Is}$ | = | $J_p$ | = |
| $\sigma(N)$ | = | $\sigma_{IIs}$ | = | | |
| $\sigma(M_x)$ | = | $\sigma_{Id}$ | = | | |

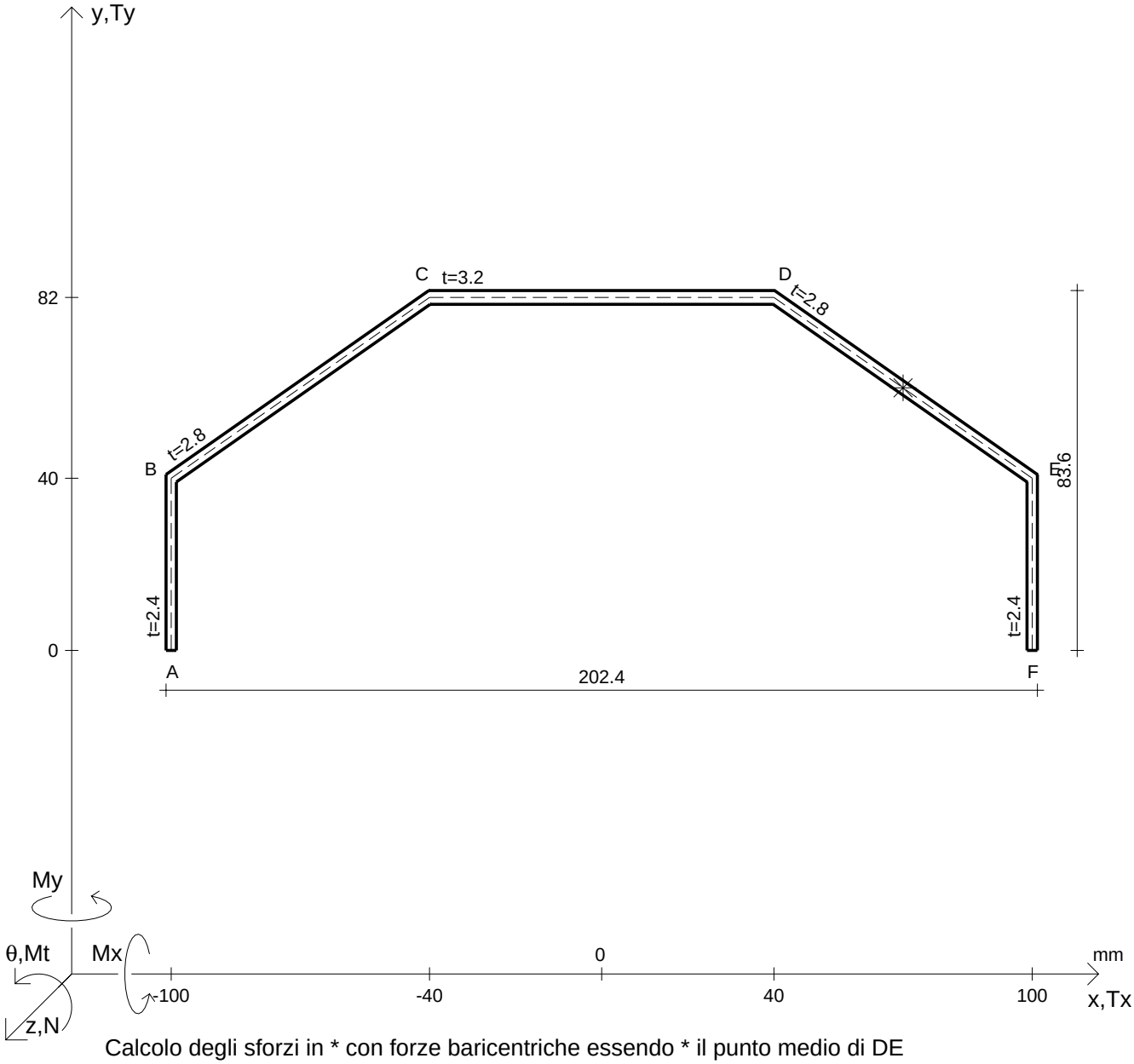


Calcolo degli sforzi in * con forze baricentriche essendo * il punto medio di DE
Rappresentare sul foglio, in scala: G, assi u,v, ellisse d'inerzia, C.T.
Rappresentare i cerchi di Mohr
Operare le conclusioni sulla verifica di resistenza in *
Facoltativo: rappresentare l'asse neutro e l'andamento delle tens. normali.
Facoltativo: rappresentare l'andamento delle tens. tangenziali.

| | | | | | |
|---|---|---|---|---|---|
| $N$ | = 45700 N | $M_x$ | = 682000 Nmm | $G$ | = 73000 N/mm$^2$ |
| $T_y$ | = 22700 N | $\sigma_a$ | = 220 N/mm$^2$ | | |
| $M_t$ | = 43600 Nmm | $E$ | = 200000 N/mm$^2$ | | |
| $y_G$ | = | $\tau(M_t)_d$ | = | $\sigma_{IId}$ | = |
| $u_o$ | = | $\tau(T_{yc})$ | = | $\sigma_{tresca}$ | = |
| $v_o$ | = | $\tau(T_{yb})_d$ | = | $\sigma_{mises}$ | = |
| $A$ | = | $\tau(T_y)_s$ | = | $\sigma_{st.ven}$ | = |
| $S_u^*$ | = | $\tau(T_y)_d$ | = | $\theta_t$ | = |
| $C_w$ | = | $\sigma$ | = | $r_u$ | = |
| $J_u$ | = | $\tau_s$ | = | $r_v$ | = |
| $J_v$ | = | $\tau_d$ | = | $r_o$ | = |
| $J_t$ | = | $\sigma_{Is}$ | = | $J_p$ | = |
| $\sigma(N)$ | = | $\sigma_{IIs}$ | = | | |
| $\sigma(M_x)$ | = | $\sigma_{Id}$ | = | | |